

**1639/5**

**YILDIZ ÜNİVERSİTESİ  
FEN-EDEBİYAT FAKÜLTESİ FİZİK BÖLÜMÜ**

**HACIMLI HALKOJENÜR CAMLARININ  
ELEKTRİKSEL İLETİM ÖZELLİKLERİ**

**(Doktora Tezi)**

**I s a E S M E**

**Sözlü Savunma Tarihi : 28-1-1983**

**Tez Yöneticisi : Doç. Dr. Etem KİŞİOĞLU**

**Jüri Üyeleri : Prof. A. Fahri USER**

**: Doç. Dr. Yani SKARLATOS**

**İSTANBUL 1983**

## TEŞEKKÜR

Bu çalışmaya başlamamı sağlayan ve çalışma boyunca hazırladığım periyodik raporları inceleyerek çalışmamı yakından izleyen Sayın Prof. Bedi Ilgın'a şükranlarımı sunarım.

Tez yöneticiliğini üstlenerek bana çalışma fırsatı veren Sayın Doç. Dr. Etem Kişioglu'na, çalışmanın başından beri periyodik bir seminer programı uygulayarak gereklili kuramsal bilgileri veren, denel işlemlerde karşılaştığım her türlü problemede yardımalarını esirgemeyen ve bana bilimsel bir çalışma disiplini kazandıran Sayın Doç. Dr. Yani Skarlatos ile Sayın Doç. Dr. Turgay Atalay'a, her fırsatta bilgisinden ve eleştirilerinden yararlandığım Sayın Dr. Naci Balkan'a teşekkürlerimi bir borç bilirim.

Örneklerle elekrot yapılmasıyla laboratuvarlarının dan yararlandığım Ankara Nükleer Araştırma ve Eğitim Merkezi Müdürlüğü'ne ve örneklerin X-işini toz kırının desenlerinin alınmasındaki yardımları nedeniyle M.T.A Genel Direktörlüğü X-ray Laboratuvarı yetkililerine teşekkür ederim.

## ÖZET

Bu çalışmada hacimli halkojenür camlarındaki elektriksel iletim incelenmiştir.  $As_2Te_3$ ,  $As_{20}Se_{40}Te_{40}$  ve  $(As_2Se_3)_{80}Sb_{20}$  örneklerine  $10^2 - 10^3 V/cm$  basamağında elektrik alanları uygulanmış ve farklı sıcaklıklarda örneklerin d.c iletkenlikleri ölçülmüştür. Genel olarak, iletkenlik  $\sigma = C \exp(-E/kT)$  tipinde üstel bir sıcaklık bağımlılığı göstermektedir. Sonuçların, Davis - Mott tarafından bulunan yukarıdaki bağıntıya göre değerlendirilmesi; oda sıcaklığı üzerinde yaygın durum iletiminin baskın olduğunu gösterir.  $As_{20}Se_{40}Te_{40}$  camında ise  $-40^\circ C$  dolayında hoplama iletimine geçiş gözlenmiştir.

Bazı örneklerin farklı sıcaklıklarda,  $10^2 Hz$  ve  $10^5 Hz$  arasındaki frekans aralığında a.c iletkenliği ölçülmüştür. Bulunan sonuçlar iletkenliğin; biri frekansa bağlı olmayan, diğeri uygulanan alanın frekansı ile  $\omega^s$  ( $s \sim 0.9$ ) şeklinde değişen iki bileşene sahip olduğunu göstermektedir. Deney sonuçları; d.c ve a.c iletkenliklerinin farklı mekanizmalara dayandığını kabul eden CBH ( Classical Barrier Hopping) iletkenlik modeli ile uyum halindedir.

Son olarak  $As_{20}Se_{40}Te_{40}$  örneklerinin ardışık tavlama eğrileri bulunmuştur. Bu eğrilere göre tavlama işlemi, tavlama süre ve sıcaklığına bağlı olarak, alçak sıcaklıklardaki iletkenlik davranışının değişmesine neden olmaktadır.

## SUMMARY

We have studied electrical conduction in bulk chalcogenide glasses.  $\text{As}_2\text{Te}_3$ ,  $\text{As}_{20}\text{Se}_{40}\text{Te}_{40}$  and  $(\text{As}_2\text{Se}_3)_{80}\text{Sb}_{20}$  samples have been subjected to electric fields of the order of  $10^2$ - $10^3$  V/cm and their d.c conductivities were measured at different temperatures. Generally, the conductivity shows an exponential relation to the temperature of type  $\sigma = C \exp(-E/kT)$ . An application of the results to the above relation derived by Davis-Mott indicates a dominance of extended state conduction above room temperature, while a transition to hopping conduction is observed at about  $-40^\circ\text{C}$  in  $\text{As}_{20}\text{Se}_{40}\text{Te}_{40}$ .

A.C conductivity of the same samples were measured at various temperatures, in the frequencies range between  $10^2$  Hz and  $10^5$  Hz. The results suggest that the conductivity was two components, one being independent of frequency and the other varying as  $\omega^s$  ( $s \sim 0.9$ ) with the frequency of the applied field. The experimental results are in agreement with the Classical Barrier Hopping conductivity model assuming different mechanisms for the d.c and a.c conductivities.

Finally successive annealing of the  $\text{As}_{20}\text{Se}_{40}\text{Te}_{40}$  samples show a change in the conductivity behavior at low temperatures depending on annealing duration and temperature.

## İÇİNDEKİLER

	Sayfa
BÖLÜM 1. GİRİŞ	1
BÖLÜM 2. GENEL BİLGİLER	3
2.1. Amorf yarıiletkenlerin hazırlanması ve yapıları	3
2.2. Halkojenür camları	9
2.3. Kristal ve amorf yarıiletkenlerin band yapıları	11
2.4. D.C İletkenliği	19
2.5. A.C İletkenliği	27
2.5.1. QMT Modeli	27
2.5.2. CBH Modeli	31
BÖLÜM 3. DENEL ÇALIŞMA	37
3.1. Çalışma malzemesinin seçimi	37
3.2. Camların hazırlanması	37
3.3. Hacimli örneklerin yapılması	38
3.4. Elektrot yapılması	39
3.5. Kriyostat	42
BÖLÜM 4. D.C İLETKENLİĞİ	45
4.1. D.C İletkenliğinin ölçülmesi	45
4.2. Akım-gerilim karakteristikleri	48
4.3. D.C İletkenliğinin sıcaklıkla değişmesi	52
4.3.1. Denel bulgular	52
4.3.2. Sonuçların değerlendirilmesi	60
BÖLÜM 5. A.C İLETKENLİĞİ	63
5.1. A.C İletkenliğinin ölçülmesi	63
5.2. İletkenliğin frekansa bağımlılığı	66
5.3. Sonuçların değerlendirilmesi	72

BÖLÜM 6.	TAVLAMA İŞLEMİNİN İLETKENLİK ÖZELLİKLERİNE ETKİSİ	75
6.1.	Giriş	75
6.2.	Denel işlem	75
6.3.	Denel bulgular	76
6.4.	Sonuçların değerlendirilmesi	84
BÖLÜM 7.	SONUÇ	92
KAYNAKLAR		94
ÖZGEÇMİŞ		97

## 1. GİRİŞ

Amorf yarıiletkenler, 1960'lı yıllarda beri, üzerinde en çok çalışma yapılan konulardan biri olmuştur. Özellikle 1968 lerde Ovshinsky'nin halkojenür camlarında anahtarlanma (switchink) ve bellek(memory) olaylarını gözlemesi, amorf yarıiletkenlere olan ilgiyi arttırmıştır. Üzerinde yapılan bu yoğun çalışmaların ürünü olarak, amorf yarıiletkenler teknolojide bir çok uygulama alanı bulmuştur. Elektrofotografi, optiksel kütle bellekleri ve elektrostatik baskı bu uygulama alanlarından bazilarıdır. Son yıllarda amorf katılar güneş pili yapımında da denenmeye başlamıştır.

Amorf katılar, kristallerde bulunan uzun erimli periodik yapıya sahip değildir. Bu özellikleri nedeniyle daha kolay ve ekonomik olarak hazırlanabilmektedirler. Gerek bu ekonomik avantajları gerekse şimdiden bir çok kullanılma alanlarının olması, araştırmacılar için bu çalışma dalını çekici hale getirmektedir.

Amorf yarıiletkenlerin yeni uygulama alanlarına girmesi bunların fiziksel davranışlarının iyi bilinmesini gerektirir. Üzerinde, 20 yılı aşan süreden beri çalışma yapılması sonucunda amorf yarıiletkenlerin bazı temel fiziksel özelliklerinin anlaşılmasında önemli adımlar atılmıştır. Fakat henüz araştırmacıların üzerinde anlaştığı kesin kuramlar elde edilememiştir. Örneğin iletkenlik mekanizması kesin olarak çözülememiştir.

Bu çalışmada, bir çok kullanılma alanı bulması ve en temel fiziksel özelliklerinin bile henüz kesin olarak çözülememiş olması dikkate alınarak, amorf yarıiletkenlerin bir grubu olan halkojenür camlarının elektrik iletkenliklerinin incelenmesi amaçlanmıştır. Çalışmada, sistemimizin duyarlığını test etmek amacıyla  $As_2Te_3$  camı referans malzemesi olarak kullanılmıştır.  $As_2Te_3$  camının yanında, kendi olanak-

larımızla elde ettiğimiz ve ilk kez bu çalışmada kullanılan  $As_{20}Se_{40}Te_{40}$  ve  $(As_2Se_3)_{80}Sb_{20}$  üçlü halkojenür camlarının doğru akım ve alternatif akım iletkenliği ile tavlama işleminin iletkenlik mekanizmaları üzerindeki etkileri incelenmiştir.

Tezin 2. Bölümünde amorf yarıiletkenlerin hazırlanması, yapıları ve iletkenlik mekanizmaları hakkında genel bilgiler verilmiştir. 3. Bölümde, çalışmada kullanılan hacimli(bulk) halkojenür camlarının hazırlanışı açıklanmış ve ölçü sistemi tanıtılmıştır. 4 ve 5. Bölümlerde ise incelenen camların sırasıyla doğru akım ve alternatif akım iletkenliği ile ilgili bulgular verilmiştir. 6. Bölümde ısıl tavlama işleminin elektriksel iletkenlik üzerindeki etkileri tartışılmıştır. 4,5 ve 6. Bölümlerde bulunan sonuçların genel bir değerlendirilmesi de 7. Bölümde sunulmuştur.

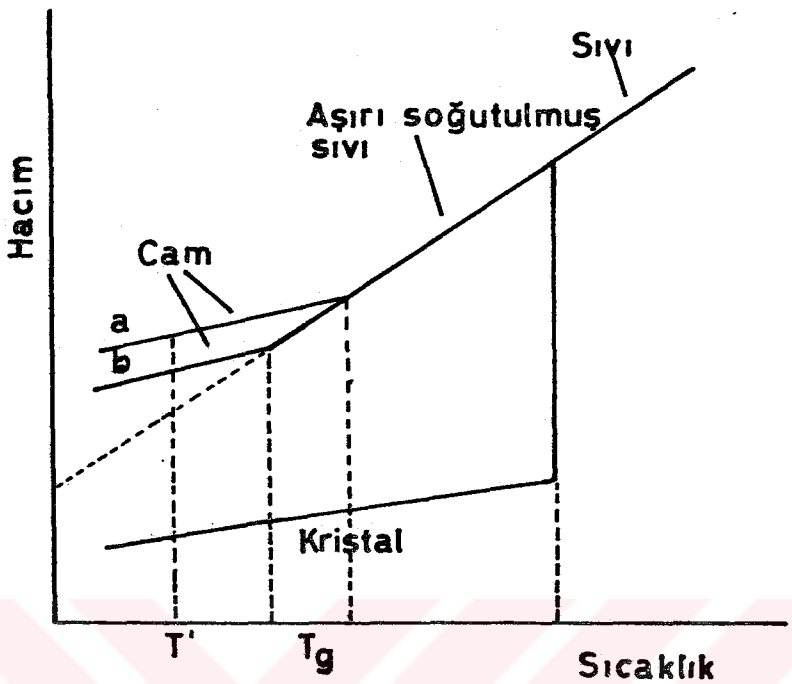
## 2. GENEL BİLGİLER

### 2.1 Amorf Yarıiletken Örneklerin Hazırlanması ve Yapıları

Amorf yarıiletkenler, vakumda buhar haline getirilen malzemenin soğuk bir taban üzerinde yoğunlaştırılması veya ergitilen malzemenin hızlı bir soğutma işlemine ugratılması ile elde edilir. İlk yöntem ince film, ikinci yöntem hacimli (bulk) örnek yapmada kullanılır. Bu çalışmada hacimli örnek kullanıldığı için ince film örneklerinin hazırlanışından söz edilmeyecektir (ayrıntılı bilgi için kaynak 2'ye bakınız).

Ergimiş halden soğutularak elde edilen amorf katılaraya cam adı verilir. Cam elde edilmesinde, yapıda bulunan elementler, kimyasal oranlarına uygun olarak tartılıp bir kuvartz tüpe yerleştirilir. Malzemeyi içinde bulunduran tüp havası boşaltılıp kapatıldıktan sonra bir döner fırında pişirilir. Pişirilme sıcaklığı elementlerin ergime sıcaklıkları dik kate alınarak tespit edilir. Pişirilme işleminden sonra tüpe hızlı bir soğutma işlemi uygulanarak cam elde edilir.

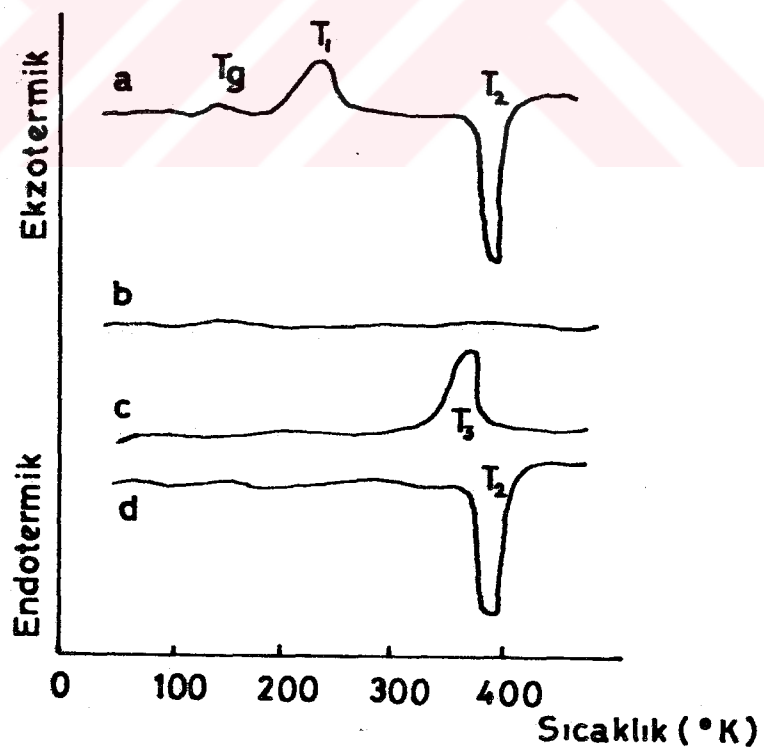
Camların fiziksel özellikleri soğutma hızına çok bağlıdır. Şek. 2.1.1'de camlaşan bir maddenin hacminin sıcaklıkla değişimi gösterilmiştir. Şekilden görüldüğü gibi hacim sıcaklığı doğrusal bir değişme göstermektedir. Fakat aşırı soğutulmuş sıvı halden cam hale geçişin olduğu  $T_g$  sıcaklığında eğimde bir değişme olmaktadır. Bu durum, belirtilen sıcaklıkta ısıl genleşme katsayısunın değişmesinden ileri gelir.<sup>2</sup>  $T_g$  sıcaklığına cam geçiş sıcaklığı denir. Bu sıcaklık bir malzeme için kesin bir parametre değildir. Şekilden kolayca görülebileceği gibi, cam geçiş sıcaklığı soğutma hızı ile değişmektedir. Ayrıca bu sıcaklık malzemenin ısıl geçmişine de bağlıdır. Aynı şekilde görülebileceği gibi oluşan camın hacmi soğutma hızına bağlıdır.  $T_g$  sıcaklığının altındaki bir  $T'$  sıcaklığında, hızlı soğutma ile hazırlanan camın hacmi, yavaş soğutma ile hazırlanan camın hacminden; her iki camın hacmi da aşırı soğutulmuş sıvının aynı sıcaklığa ekstrapole edil-



Şek. 2.1.1 Camlaşan bir malzemenin hacminin sıcaklıkla değişmesi<sup>2</sup>. (a) Hızlı soğutma. (b) Yavaş soğutma.

miş hacminden daha büyüktür. Bu durum camın termodinamik yönünden kararsız ve kararsızlık derecesinin soğutma hızına bağlı olduğunu gösterir. Cam  $T'$  sıcaklığında bekletilirse kararlı-ya-piya dönme eğilimi gösterir. Kararlı yapıya dönüş süresi camın bulunduğu sıcaklığın, cam geçiş sıcaklığına uzaklığına bağlıdır. Örneğin silikat camı oda sıcaklığında yüzlerce yıl sonra, cam geçiş sıcaklığında ( $500-700^{\circ}\text{C}$ ) ise bir kaç dakikada kararlı yapıya donebilir<sup>2</sup>. Camlardaki kararsızlık derecesi malzemenin cinsine de bağlıdır. Genel olarak çok bileşenli bir sistemde, kimyasal oranı camlaşma bölgesinin sınırlarında olan camlar, camlaşma bölgesinin ortalarında olurlara göre daha kararsız bir yapı gösterirler.  $\text{As}_2\text{Te}_3$  camında olduğu gibi kararsızlık derecesi büyük olan camları hazırlamak için soğutma hızının çok yüksek olması gereklidir,  $\text{As}_2\text{Se}_3$  gibi kararsızlık derecesi küçük olan camlar yavaş bir soğutma ile hazırlanabilmektedir.<sup>1</sup>

DTA ( Diferansiyal Termal Analiz ) yöntemi ile, farklı soğutma ve ısıtma hızının malzemeye etkisi açıklanabilir. Bu yöntemde, incelenen malzeme ile ısı sığası standart olan ikinci bir malzeme aynı hızda ısıtılarak sıcaklık farkındaki değişimler izlenir. Böylece örnekte meydana gelebilecek endotermik ve ekzotermik reaksiyonlar gözlenebilir. Şek. 2.1.2'de ardışık ısıtma ve soğutma işlemlerine uğratılan bir amorf yarıiletkenin DTA desenleri görülmektedir. (a) Deseni amorf halin ısıtilması sırasında elde edilmiştir. Görüldüğü gibi  $T_g$  cam geçiş sıcaklığı ile kristal yapının bozulduğu  $T_1$  sıcaklığında aşağı çıkan ısı nedeniyle ekzotermik birer tepe,  $T_2$  ergime sıcaklığında ise ergime gizli ısısı nedeniyle endotermik bir çukur oluşmaktadır. Üteki iki desen ( b ve c ) sırası ile sıvı halin hızlı ve yavaş soğutulması sırasında elde edilmiştir. (b) Deseninden görülebileceği gibi ergimiş maddenin hızlı soğutulması hiç bir ısı alış verişine neden olmamaktadır. O halde malzeme ergimiş haldeki düzensiz yapısını koruyacaktır.



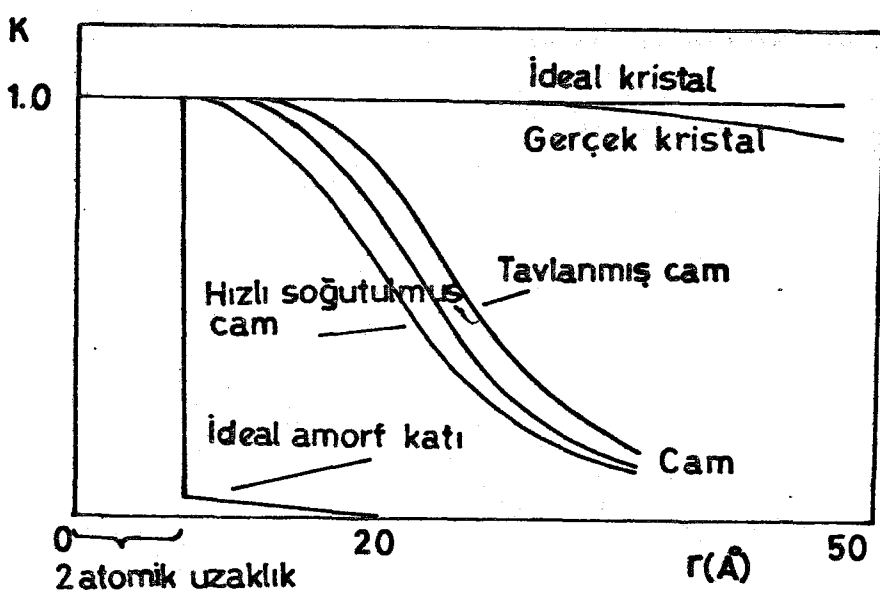
Şek.2.1.2  $\text{Ge}_{12}\text{Te}_{82}\text{Sb}_2$  camının DTA desenleri.<sup>3</sup>

yarak katılmıştır.Yavaş soğutma deseninde ise  $T_3$  sıcaklığında katılma ısısı nedeniyle ekzotermik bir tepe oluşmaktadır ve kristal bir yapı elde edilmektedir. (d) Deseni bu kristalin ısıtılması ile elde edilmiştir. (a), (d) Desenleri karşılaştırıldığında; amorf malzemenin kristale göre daha fazla iç enerji bulundurduğu, dolayısıyla kararsız olduğu görülebilir.

Bir amorf katının özelliklerinin tam olarak açıklanabilmesi için onun yapısının iyi bilinmesi gereklidir.Yapı tayininde çeşitli yöntemler kullanılmaktadır.Elektron, X-ışını ve nötron kırınımı bunlardan bazalarıdır.Kırınım desenleri ile amorf ve kristal yapı kolayca tanımlanabilmektedir.Bölüm 6 da sunulacak denel sonuçlarımızda bu karşılaştırma yapılacaktır.Kırınım desenleri ile amorf katıların atomlar arasındaki komşu düzeni ( komşu sayısı ve komşu uzaklığı ) hakkında sonuç alınamaz.Bu amaç için kırınım desenlerinden yararlanılarak radyal dağılım fonksiyonu ( RDF ) hesaplanabilir.Bu yöntemi kullanarak Temkin ve arkadaşları a.Ge, Moss ve Gracayk a.Si' un yapılarını incelemiştir.Her iki çalışmanın denel bulgularına göre kristal halden amorf hale geçişte birinci en yakın komşu düzeni aynen, ikinci komşu düzeni kısmen korunmakta üçüncü ve daha uzak komşu düzenleri tamamen kaybolmaktadır.Böylece kristal yapıdaki uzak mesafe düzeninin yerini amorf yapıda kısa mesafe düzeni almıştır.

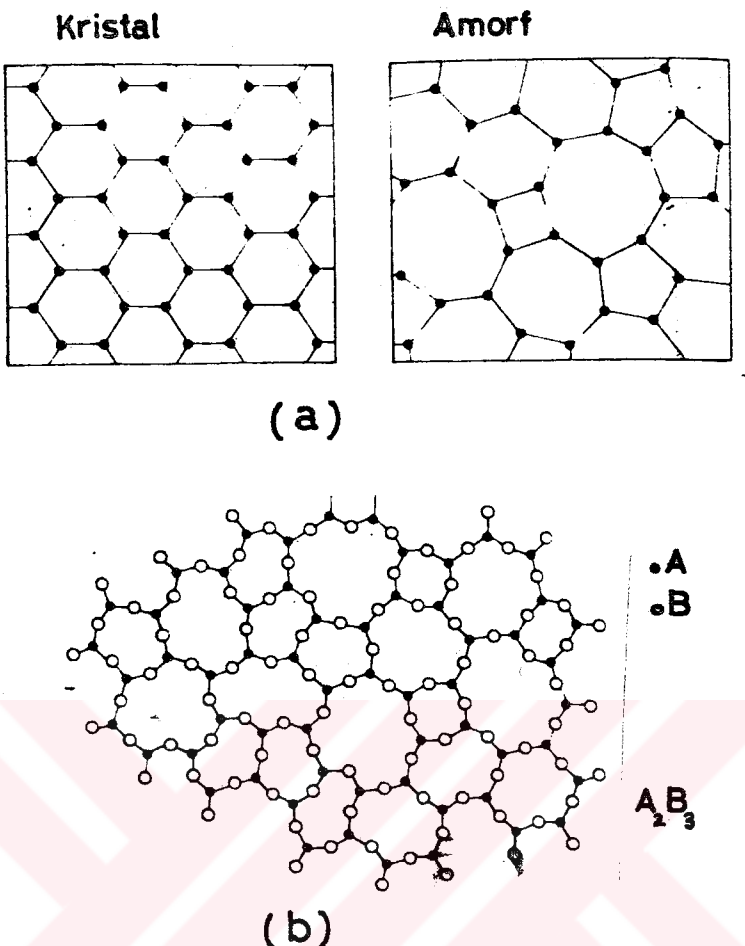
Kristal yapı ile amorf yapıyı karşılaştırmak üzere Şek. 2.1.3'de K ile r arasındaki değişim gösterilmiştir.Burada K periyodiklik katsayısı olup ideal periyodik yapıda 1 dir.r Herhangibir merkezi atomdan itibaren  $A^0$  cinsinden uzaklıktır.Şekilden görüldüğü gibi ideal bir kristalde periyodiklik uzaklığa değişmemekte fakat gerçek bir kristalde biraz azalmaktadır.Ideal bir amorf katıda ise 2 atomik uzaklıktan sonra periyodiklik birdenbire bozulmaktadır.Hızlı soğutma ile hazırlanan camlar ve tavlanmış camlarda periyodiklikten sapma tedrici olmaktadır.

Yapı tayininden elde edilen denel bulgulara göre kovalent bağ yapılı ideal bir amorf katı için çeşitli yapı



Şek.2.1.3 Kristal ve amorf larda periyodiklik kat-  
sayısının uzaklıkla değişmesi<sup>2</sup>.

modelleri önerilmiştir.<sup>4</sup> Bu modellerden en çok benimsenenin sürekli düzensiz ağ modelidir. Bu modele göre kovalent bağ yapılı amorf katı en küçük yapı birimlerinin düzensiz olarak biraraya gelmesiyle oluşur. Şek.2.1.4 a 'da bir çeşit atomlu kuramsal bir katının kristal ve amorf yapılarında atomların dizilişi iki boyutta şematik olarak gösterilmiştir. Görüldüğü gibi kristal yapıda her atom özdeş üç bağla en yakın komşu atomlara bağlanarak düzgün altigen çevrimler oluşturmaktadır. Malzemenin amorf karşılığında üçlü bağ düzeni yerel olarak korunmakta ve bağ uzunlukları kristaldeki gibi olmaktadır. Fakat kristaldeki düzgün altigenlerin yerini düzgün olmayan çeşitli çokgenler almaktadır. Bu düzensizliğe bağlı olarak bağ açılarında %20 civarında düzensiz değişimlerin olduğu öne sürülmektedir.<sup>5,6</sup> Amorf katı bir cins atom yerine iki veya daha fazla türde atomu yapısında bulunduruyorsa düzensizliğin daha büyük olduğu bulunmuştur<sup>5</sup>. Şek. 2.1.4b ; A<sub>2</sub>B şeklinde ifade edilebilen bu tür kuramsal bir amorf yapıyı göstermektedir.



**Şek.2.1.4 a.** Yapısında bir tür atom bulunan bir katının kristal ve amorf halinde atomların dizilişi.

**b.** Yapısında iki çeşit atom bulunan bir katının amorf halinde atomların dizilişi.<sup>5</sup>

Gerçek amorf larda, yapısal düzensizliğe ek olarak elektron mikroskopu ile incelenebilen mikroboşluklar bulunmaktadır. Bu nedenle bir malzemenin amorf haldeki yoğunluğu kristal haldekinden daha küçüktür. Bir çok araştırmacı tarafından mikroboşlukların iç yüzeylerinde kopuk bağlar bulunduğu kabul edilmektedir.<sup>167</sup> Bundan sonraki bölümlerde göreceğimiz gibi uzun mesafe düzeninin olmaması ve yapı içinde kopuk bağların bulunması, amorf larda, kristal hale göre farklı elektronik özelliklere neden olur. Mikroboşluk ve kopuk bağ sayısı, malzemenin hazırlanış yöntemine bağlıdır. Amorf yarıiletkenlerin elektronik özelliklerinin hazırlanış yöntemine bağlılığı bu nedenden ileri gelmektedir.<sup>1</sup>

## 2.2 Halkojenür Camları

Halkojen grubu elementleri olarak bilinen Se, S, Te elementlerinden bir veya birden fazlasını yapısında bulunan amorf yarıiletkenlere halkojenürler adı verilir. Halkojen elementleri ile As, Ge, Si, Tl, Pb, Sb ve Bi gibi elementlerden biri veya daha çoğu ile farklı oranlarda cam yapılabılır<sup>8</sup>.

Halkojenür camlarının ilk örnekleri olarak bilinen  $As_2Se_3$  ve  $As_2S_3$  ikili camları ile geniş çalışma yapılmıştır<sup>9</sup>.  $As_2Se_3$ -  $As_2Te_3$  ve  $As_2Se_3$ -  $As_2Te_3$ -  $Tl_2Se$  gibi karışık sistemleri ise halen çalışılan camlardandır.

İkili, üçlü ve  $As_{30}Te_{48}Si_{12}Ge_{10}$  gibi çok bileşenli camların çeşitliliğinin fazla oluşu nedeniyle, amorf yarıiletkenlerin bir grubunu oluşturan halkojenürleri sınıflandırmak zordur. Sınıflandırma işlemi bazı araştıracılar tarafından örgü yapısına göre yapılmaktadır<sup>10</sup>. Bunun yerine, yasak aralık(B) değerleri de sınıflandırmada bir ölçü olarak kullanılabilmektedir<sup>10</sup>. Genel olarak yasak aralığı 1 eV'dan büyük olanlara geniş, 1 eV'dan küçük olanlara dar aralıklı halkojenürler denir. Yasak aralığının bu iki grubu için elektronik mekanizma oldukça farklılık gösterir.

Halkojen elementleri ile her ne kadar çok çeşitli cam yapılabilsse de, keyfi oranlarda ikili, üçlü veya çoklu cam yapmak mümkün değildir. Bu elementler için sınırlı camlaşma bölgeleri vardır. Ayrıca bir elementin diğerİ ile camlaşma eğilimi farklıdır. Çizelge 2.2.1, ABC şeklinde gösterilen üçlü sistemlerde çeşitli periyodik grplarda bulunan elementlerin camlaşma derecelerini göstermektedir.

Çizelge 2.2.1 A B C şeklindeki üçlü halkojenür sistemlerinde camlaşma dereceleri.<sup>8</sup>

A	B	C																		
		GR Ia	GR IIa	GR IIIa	GR IVa	GR Va	GR VIa	GR VIIa	Cl	Br	I	Cl	Br							
Cu	Ag	Au	Zn	Cd	Hg	B	Ga	In	Tl	Sn	Pb	P	As	Sb	Bi	Se	Te	Cl	Br	I
S	+	+	+	+	+	+	+	+	0	+	+	+	●	●	●	●	+	●	●	●
Se	O	O	+	O	O	O	O	+	+	O	O	O	+	●	●	●	●	●	●	●
Te										●							●	●	●	●
S										+	O	+	●	●	●	●	●	●	●	●
Ge	Se									+	●	+	●	●	●	●	●	●	●	●
Te											+	●	●	●	●	●	●	●	●	●
Si	Se											○	○	○	○	○	○	○	○	○
	Te																			

● büyük

○ küçük

● orta

+ çok küçük

## 2.3. Kristal ve Amorf Yarıiletkenlerin Band Yapıları

Amorf yarıiletkenler geniş bir sıcaklık aralığında kristal haldeki yarıiletkenlerinkine yakın bir iletkenlik davranışını göstermektedir.<sup>11,12</sup> Dolayısıyla kristal yapısından amorf yapıya geçildiğinde band yapısının temel özellikleri bakımından korunması beklenir. Bu nedenle biz önce kristal bir yapıdaki elektron hareketini ve band yapısını gözden geçireceğiz.

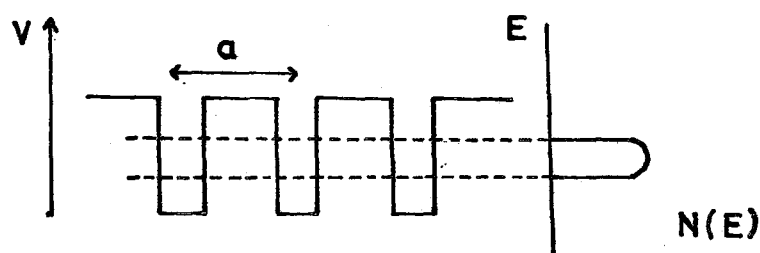
İdeal bir kristal yapıda, atomlar arasında periyodik bir düzen olduğundan aynı periyodik yapıda potansiyel kuyuları bulunur (Şek. 2.3.1). Kristal içindeki bir elektron bu potansiyel kuyularının etkisinde bulunacağı için serbest elektron gibi hareket edemez. Böylece elektronun ideal bir kristaldeki hareketi

$$\psi(x) = U(x)\exp(ikx) \quad (2.3.1)$$

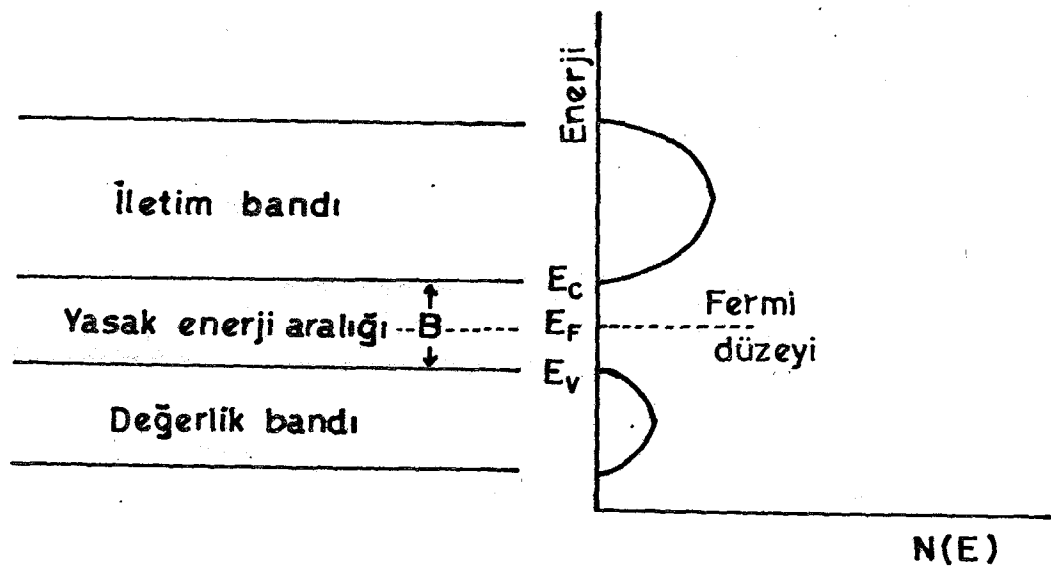
denklemi ile gösterilen Bloch fonksiyonu ile tanımlanabilir.<sup>13</sup> Burada üstel faktör serbest elektronun dalga fonksiyonunu gösterir. Bu faktördeki  $k (= 2\pi/\lambda)$  elektronun dalga vektörüdür.  $U(x)$  fonksiyonu ise  $\alpha$  örgü sabiti olmak üzere,

$$U(x) = U(x+a)$$

şeklinde ifade edilen, örgü periyodikliğine sahip bir fonksiyondur.



Şek. 2.3.1 İdeal kristal yapıda potansiyel kuyuları ve durum yoğunluğu.<sup>1</sup>

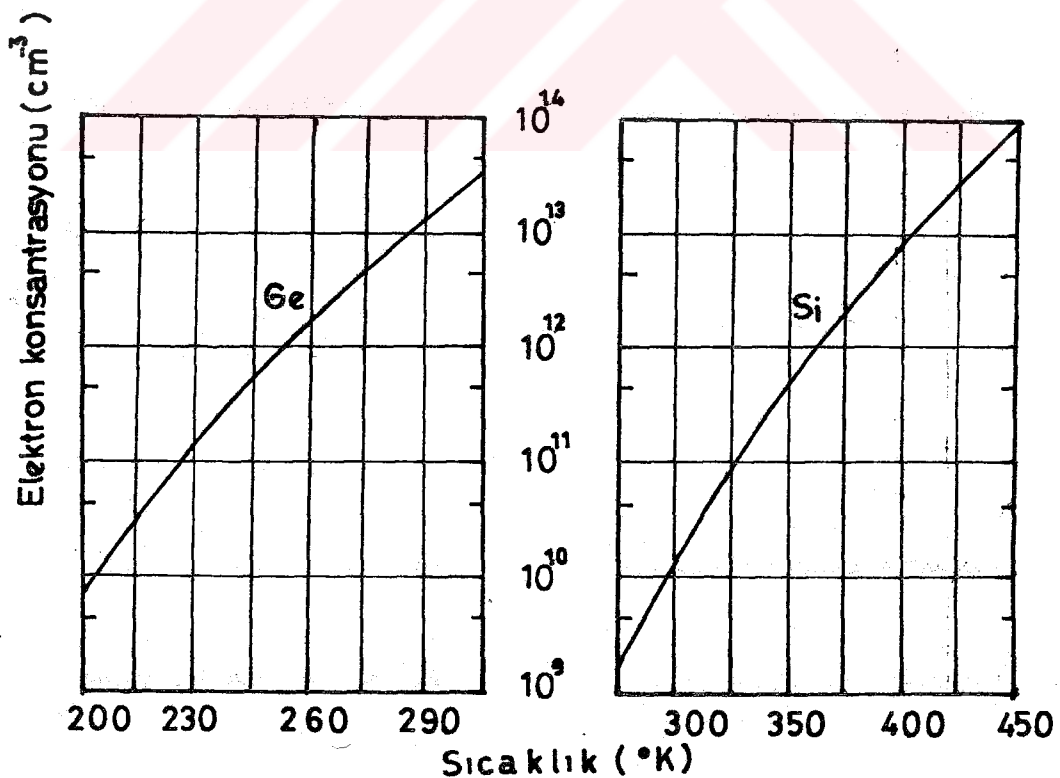


Şek.2.3.2 Bir asal yarıiletkenin band yapısı.<sup>6,13</sup>

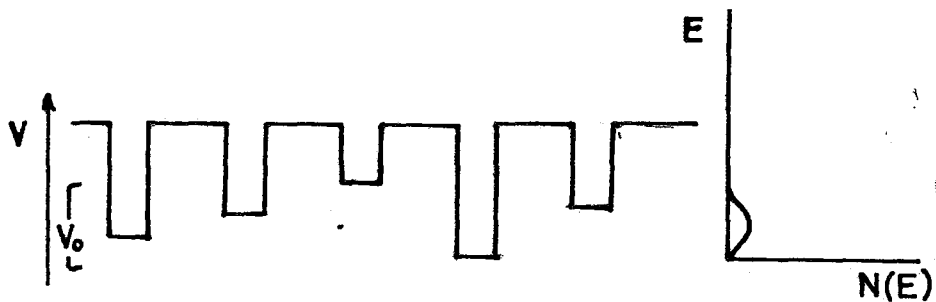
Dalga fonksiyonu 2.3.1 denklemi ile verilen elektronların enerjileri  $\mathbf{k}$  dalga vektörüne göre incelendiğinde serbest elektronunki gibi sürekli bir değişme yerine kesikli bir değişme gösterir. Başka bir anlatımla elektronlar ancak belirli enerji değerlerini alabilirler. Bu yaklaşım bizi kristallerin band yapısına götürür. Şek.2.3.2'de bir asal yarıiletkenin band yapısı şematik olarak gösterilmiştir. Mutlak sıfırda iletim bandı boş olup, bu sıcaklıkta dolu olan değerlik bandından bir enerji aralığı ile ayrılır.  $E_C$  ve  $E_V$  enerjilerine sırasıyla iletim ve değerlik bandı kenarları denir.  $B = E_C - E_V$  yasak enerji aralığı (band gap), değerlik bandındaki elektronların ısıl olarak uyarılması ile azabilecekleri büyülüktedir. Bu yüzden sıcaklık arttırıldığı zaman değerlik bandındaki elektronlardan bir kısmı yerlerinde boşluklar (hole) bırakarak iletim bandına geçerler. Bu davranış yarıiletkenleri iletken ve yalıtkanlardan ayıran en ilginç özellikleridir. Şek.2.3.3'de kristal Ge ve Si için sıcaklığa bağlı olarak iletim bandına geçen elektron konsantrasyonları verilmiştir. Görüldüğü gibi iletim bandına uyarılan elektron miktarı sıcaklığa üstel bağımlılık gösterir. Ayrıca Ge'un

yasak enerji aralığı( $0.67 \text{ eV}$ ), Si'unkinden ( $1.14 \text{ eV}$ ) dar olduğu için verilen bir sıcaklıktaki elektron konsantrasyonu Ge için daha büyüktür. Böylece kristal yarıiletkenlerde  $B/kT$  ( $k$  Boltzman sabiti  $T^{\circ}\text{K}$  cinsinden sıcaklık) oranı ile kontrol edilebilen bir iletkenlik oluşur ki buna asal iletkenlik adı verilir.<sup>13</sup>

Kristal yapidan amorf yapıya geçildiğinde, Kesim 2.1'de belirtildiği gibi uzun mesafe düzeni bozulmaktadır. Bunun sonucu olarak, elektronların hareketini etkileyebilecek potansiyel kuyuları da periyodik olmayacağındır. Dolayısıyla amorf yapıda elektronun hareketi artık Bloch fonksiyonu ile belirlenemez. Anderson bu koşullardaki elektronun bulunduğu kuyudan uzaklaşma olasılığını araştırmıştır. Anderson'un kuramına göre  $V_0/B$  oranı kuyu derinliğindeki düzensizliği belirleyen bir parametre olarak alınabilir. Burada  $V_0$  kuyu derinliğindeki periyodiklikten sapma miktarı,  $B$  yasak aralıktır (Şek.2.3.3). Anderson,  $V_0$ 'ın artması ile - düzensizlik parametresinin kritik bir değere yaklaştığını,



Şek.2.3.3. Ge ve Si da asal elektron konsantrasyonu-  
nun sıcaklıkla değişimi.<sup>13</sup>

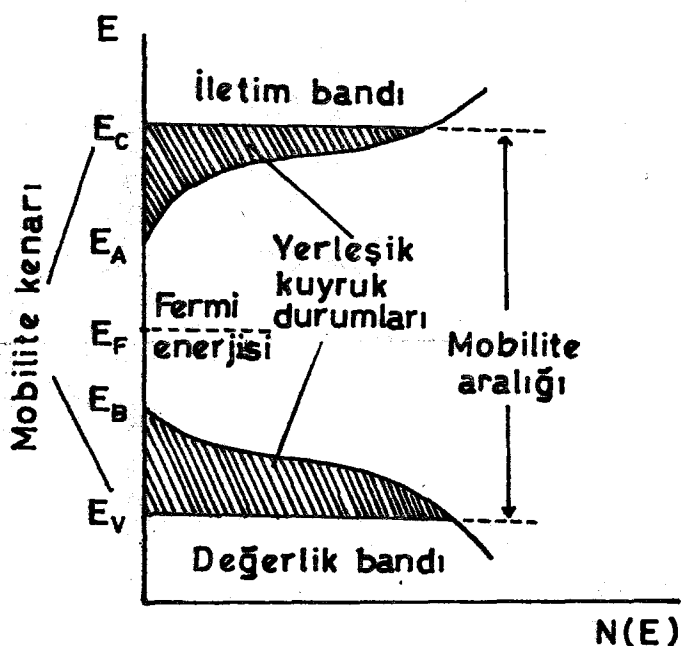


Şek.2.3.4 Amorf yapıda potansiyel kuyuları ve durum yoğunluğu dağılımı.

bu kritik değerden sonra bir kuyudaki elektronun mutlak sıfırda difüze olamayacağını ve yerleşik (localice) hale geleceğini göstermiştir.<sup>14</sup> Bu kritik değere  $E_C$  (iletim bandı kenarı) enerjisinde ulaşıldığı varsayılmıştır. Böylece  $E_C$  nin hemen üstündeki durumlar yaygın (extended), altındaki durumlar ise yerleşik olur.<sup>14</sup>

Yaygın ve yerleşik durumlardaki elektronik iletim mekanizması birbirinden farklıdır. Yaygın durumlarda elektron ısıl uyma olmadan hareket edebilir. Bu bölgede elektronun hareketi seyrek hoplamalarla band hareketi şeklinde olur.<sup>14</sup> Yerleşik durumlarda ise elektron bulunduğu kuyuda tuzaklanmış durumdadır. Dolayısıyla bulunduğu durumdan başka bir duruma ancak ısıl uyma (fonon yardımlaşması) ile geçebilir (Kesim 2.4 ).

Mott,<sup>14</sup> yerleşiklik kuramının, amorf katıların elektronik davranışının anlaşılmasıında tek seçenek olduğu kanısına varmış ve ideal bir amorf yarıiletken için Şek. 2.3.4 'de gösterilen band modelini önermiştir. Görüldüğü gibi, kristal yapı için yasak enerji aralığı olarak bilinen band kenarlarında yerleşik durumlar (kuyruk durumları) bulunmaktadır. Akımın, oda sıcaklığında yaygın durumlara uyarılan taşıyıcılarla sağlanığı amorf yarıiletkenlerde kuyruk

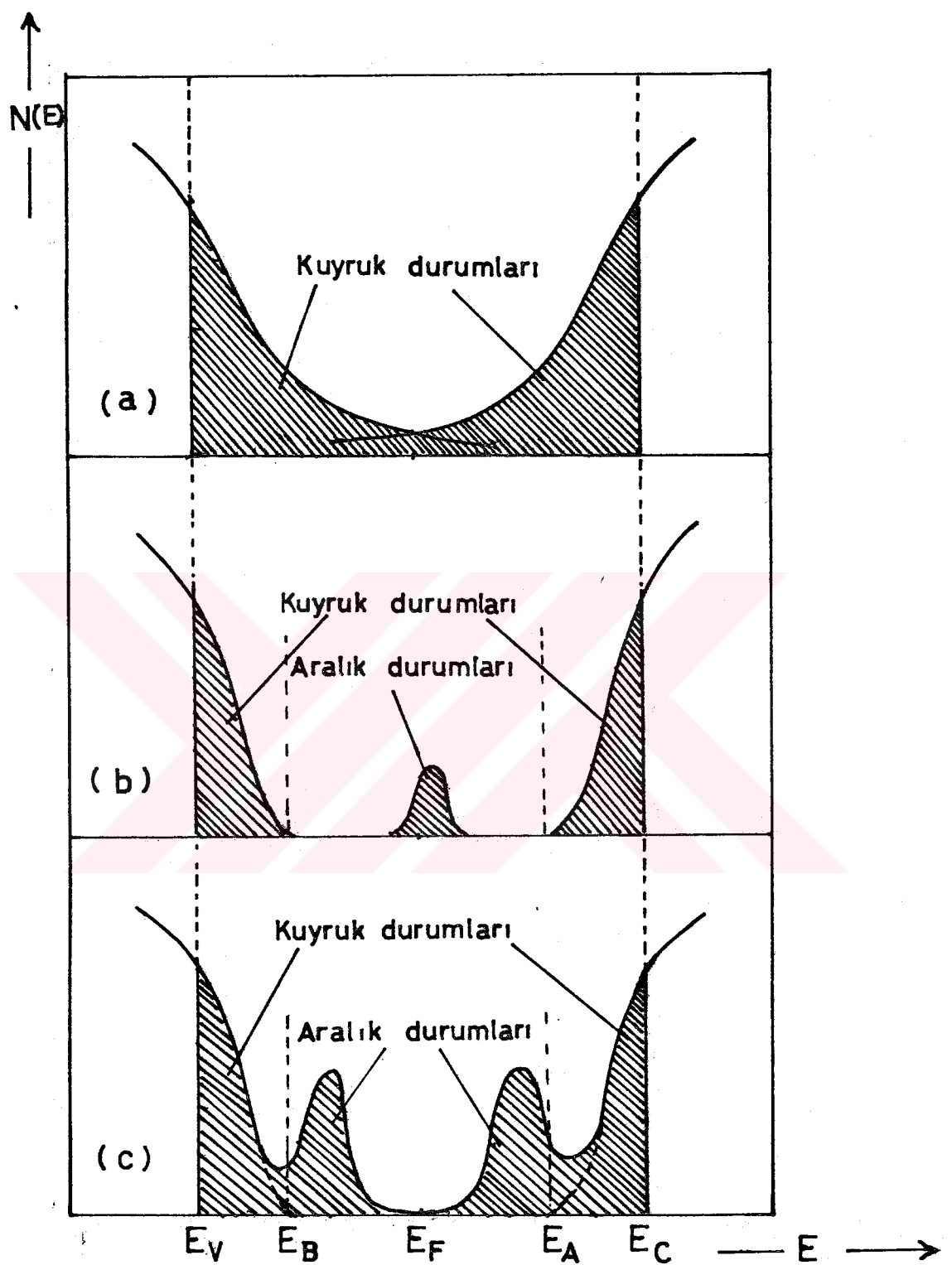


Şek.2.3.5 İdeal bir amorf yarıiletkende band yapısı<sup>8</sup>

durumları genişliğinin  $\sim 0.2$  eV basamağında olduğu bulunmuştur<sup>15</sup>.

Kuramsal olarak, yaygın durumlardaki mobilitenin yerleşik durumlardaki hoplama mobilitesinden en az  $10^2$  kat büyük olduğu hesaplanmıştır<sup>8</sup>. Böylece iletim ve değerlik bandı kenarları mobilitenin keskin değişim gösterdiği enerji değerleri olmaktadır. Bu nedenle  $E_C$  ve  $E_V$  enerjilerine mobilite kenarları, bu enerjiler arasındaki bölgeye de mobilite aralığı denir. Amorf yarıiletkenlerdeki mobilite aralığı, kristal yarıiletkenlerdeki yasak enerji aralığının karşılığıdır.

Şek.2.3.6.a'da, CFO modeli olarak bilinen ve Cohen, Fritzsche ve Ovshinsky tarafından önerilen band modeli gösterilmiştir. Görüldüğü gibi modelde değerlik ve iletim bandı kuyruklarının, Fermi enerjisinin mobilite aralığı ortasında sabitleştirecek şekilde üst üste bindiği varsayılmıştır. Kuruçuları bu modelin özellikle çok bileşenli ( $\text{Si}_{12} \text{Te}_{48} \text{Ge}_{10}$  Stag camı) amorf yarıiletkenler için önerildiğini belirtmiş-



Şek. 2.3.6 Amorf yarıiletkenlerin band modelleri.

(a) C F O modeli,<sup>16</sup> (b) Davis-Mott modeli,<sup>15</sup> (c) Marshall-Owen modeli.<sup>17</sup>

lerdir.<sup>16</sup> Bu tür kompleks amorflarda bir cins atomlu amorflara göre daha büyük bir düzensizlik beklenir. Çünkü yapıda çeşitli atomların bulunması nedeniyle, kovalent örgü bağları her merkezde; o merkezi dolduran atomun değerliğine göre düzensiz olarak değişir. RDF yöntemi ile bu aşırı düzensizlik gösterilebilmektedir.<sup>14</sup> Dolayısıyla hem yapısal hem de kompozisyonel düzensizliğin bulunması yüzünden, ideal amorf malzemeye göre yerlesik kuyruk durumlarının daha derin ve daha geniş olması beklenir.

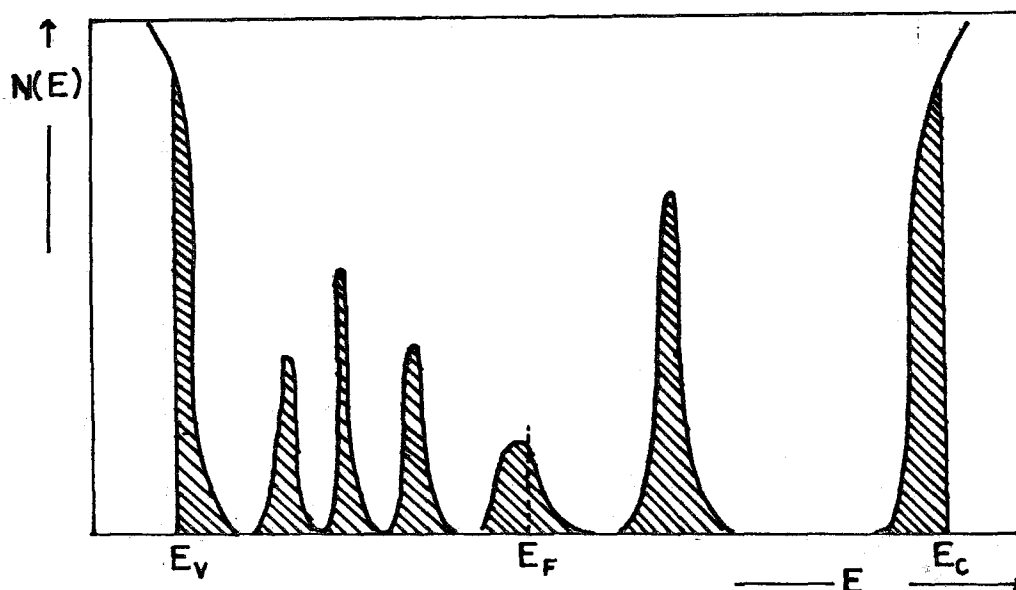
Davis ve Mott<sup>15</sup>, birçok halkojenür camında iletkenlik uyartılma (aktivasyon) enerjisi ile, alternatif akım (a.c) iletkenliği ölçülerinden bulunan Fermi enerjisindeki durum yoğunluğu değerlerini birlikte değerlendirecek bu iki parametrenin ilginç bir bağımlılık gösterdiğini bulmuşlardır. (Şek.5.3.1.). Dar aralıklı (gap) malzemedede durum yoğunluğunun daha büyük olduğunu gösteren bu ilişki, CFO modeli için bir destek olarak değerlendirilmiştir.

Gerçek bir amorf malzemenin yapısında, Kesim 2.1 de belirtildiği gibi, mikroboşluklar ve bu mikroboşlukların iç yüzeylerinde kopuk bağlar bulunmaktadır. Henüz kesin bir kuram olmamakla birlikte bu kusur merkezlerinin mobilite aralığında yerlesik durumların oluşmasına neden olduğu sanılmaktadır.<sup>16,17</sup> Gerek amorf yapıdaki düzensizlikten gerekse kusurlardan ileri gelen yerlesik durumların mobilite aralığındaki dağılımı son yıllarda denel yoldan incelenmektedir. Alan etki, optik soğurma, termogüç ve alçak sıcaklık d.c iletkenliği bu yöntemlerden bazalarıdır (kaynak 9 'a bakınız) Davis ve Mott,<sup>15</sup> a.c iletkenliği ve alçak sıcaklık d.c iletkenliği ölçümlerine göre kusurların neden olduğu yerlesik durumların, Fermi enerjisini sabitleştirecek şekilde mobilite aralığı ortalarında bir tepe oluşturduğunu önermişlerdir (Şek.2.3.6.b). Böylece  $E_C - E_V$  enerji aralığındaki yerlesik durumlar, oluşma nedeni yönünden ikiye ayrılabilir.  $E_C - E_A$  ve  $E_B - E_V$  kuyruk durumları, uzun mesafe döneminin bulunmayışından;  $E_F$  civarındaki yerlesik durum tepesi ise kusurlardan ileri gelir. Halkojenür camlarında alçak sıcaklığa kadar sa-

bit bir iletkenlik aktivasyon enerjisi gözlenebilmekte ve bu enerji, kuvvetli optik soğurmanın gözlediği foton enerjisinin yarısı civarında olmaktadır.<sup>9</sup> Bu sonuç Davis-Mott modeli ile uyuşmaktadır.

Owen ve Marshall,<sup>13</sup> halkojenür camları ile yaptıkları çalışmada alan etki yönteminden buldukları verileri yorumlayarak temelde Davis-Mott modeline benzeyen bir band modeli önermişlerdir. Şek.2.3.6.c'de gösterildiği gibi burada yerlesik durumlar Fermi enerjisini ortalayacak şekilde iki tepe oluşturmaktadır. Bu tepelerden biri donor, öteki akseptör gibi davranır. Modelin a.Si gibi elementel ve kompleks öteki amorf yarıiletkenlere uygulanabileceği belirtilmiştir. Aynı model Mott-Davis'in son yıllardaki çalışmalarında da desteklenmekte fakat iki modelin hangisinin daha gerçekçi olduğu konusunda kesin bir sonuca varılamamaktadır.<sup>1</sup>

Amorf yarıiletkenlerin band yapısını incelemeye kullanılan yöntemlerden biri olan fotoiletkenlik ölçüleri mobilite aralığındaki yerlesik durumların, yukarıdaki modellere göre daha kesikli bir dağılımda olduğunu gösterir.<sup>13,14</sup> Buna örnek olarak Owen ve Marshall'ın a.As<sub>2</sub>Se<sub>3</sub> de bu yöntemi kullanarak elde ettiği band yapısı gösterilebilir. (Şek. 2.3.7 ).



Şek.2.3.7 a.As<sub>2</sub>Se<sub>3</sub> de fotoiletkenlik ölçüleri ile bulunan band modeli.<sup>17</sup>

## 2.4 Doğru Akım (d.c) İletkenliği.

Kristal yarıiletkenlerde asal iletkenlik denilen bir tek iletim türü bulunmasına karşılık, amorf yarıiletkenlerde mobilite aralığında yerleşik durumların bulunması nedeniyle birden fazla iletim türü beklenir. Sek.2.3.6.b'deki band modeline göre bu iletim türleri aşağıdaki gibi sıralanabilir:

- Mobilite kenarları ( $E_C$  veya  $E_V$ ) dışındaki yaygın durumlara uyartılan taşıyıcıların band iletimi,
- Band kenarlarındaki yerleşik durumlara ( $E_A$  veya  $E_B$ ) uyartılan taşıyıcıların hoplama iletimi,
- Fermi enerjisi civarında enerjisi olan elektronların hoplama iletimi.

Aşağıda bu iletim türleri ayrı ayrı incelenecak ve her mekanizma için iletkenlik ifadeleri bulunacaktır. Hesaplamalar sırasında, kolaylık olması bakımından taşıyıcı olarak iletme katılan elektron ve boşluklardan, yalnız elektronların durumu dikkate alınacaktır.

(a).  $E_C$ 'nin üzerine uyartılan elektronların oluşturduğu band iletimi:

Bu iletim türü, yüksek sıcaklıklarda görülür. İletkenliğin tanımı olan,

$$\sigma = n \cdot e \cdot \mu \quad (2.4.1)$$

bağıntısından başlayarak bu mekanizmaya ait iletkenlik ifadesi bulunabilir. Burada  $n$  birim hacimdaki elektron sayısı,  $e$  elektronun yükü,  $\mu$  elektron mobilitesi olup iletim bandındaki değeri  $\mu_0$  ile gösterilecektir.

$E_C$ 'nin üzerine uyartılan elektron konsantrasyonu:

$$n = \int_{E_C}^{\infty} N(E_C) \exp\left(-\frac{E - E_F}{kT}\right) = N(E_C) kT \exp\left(-\frac{E_C - E_F}{kT}\right) \quad (2.4.2)$$

olarak hesaplanır.<sup>14</sup> Burada  $N(E_C)$ ,  $E_C$ 'nin üzerindeki ortalama durum yoğunluğu olup hesaplamada sabit olarak düşünülmüştür. Bu ifadenin 2.4.1' de yerine konulmasıyla

$$\sigma_0 = N(E_C) e k T \mu_0$$

olmak üzere

$$\sigma = \sigma_0 \exp \left( - \frac{E_C - E_F}{kT} \right) \quad (2.4.3)$$

bulunur.  $\sigma_0$  ön üstel katsayısı, minimum metalik iletkenlik olarak adlandırılır. Amorf yarıiletkenlerde bu katsayının genellikle  $100\text{--}600 \Omega^{-1}\text{cm}^{-1}$  civarında olduğu hesaplanmıştır.

$(E_C - E_F)$  enerjisi sıcaklıkla doğrusal bir değişim gösteriyorsa  $\ln \sigma - 1/T$  grafiği bir doğru çizgi verir. Bu durumda

$$E_C - E_F = E_0 - \gamma T \quad (2.4.4)$$

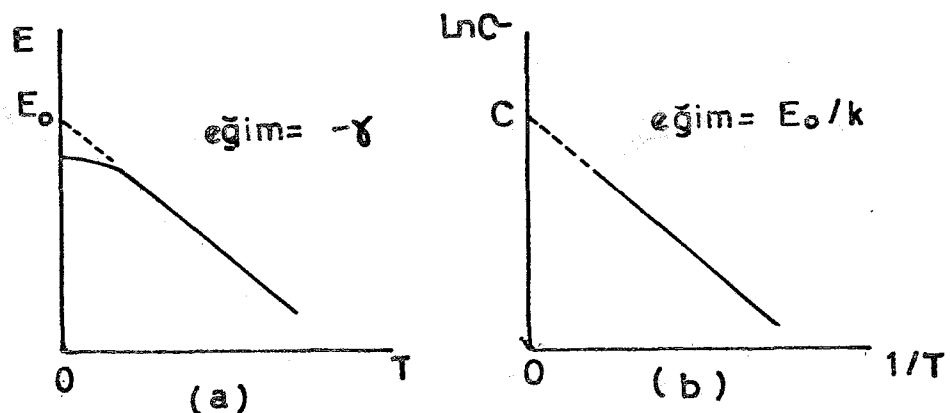
yazılabilir. Burada  $\gamma$  sıcaklık katsayısı;  $E_0$ ,  $(E_C - E_F)$ 'nin  $0^\circ\text{K}$  ye ekstrapole edilmiş değeridir. Son iki ifadenin birlikte değerlendirilmesiyle

$$\sigma = C \exp \left( - E / kT \right) \quad (2.4.5)$$

bulunur. Burada

$$C = \sigma_0 \exp \left( \gamma / k \right) \quad (2.4.6)$$

dır. Denklem 2.4.4 ve 2.4.5'e göre enerji ve iletkenliğin sıcaklığa bağımlılığı Sek.2.4.1' de gösterilmiştir. Aynı şekilde üzerinde  $\gamma$ ,  $E_0$  ve  $C$  parametrelerinin bulunusları da açıklanmıştır. Görülebileceği gibi  $(E_C - E_F)$ 'nin  $0^\circ\text{K}$  deki gerçek değeri  $E_0$ ' dan küçüktür.  $\gamma$  sıcaklık katsayısı enerjinin sıcaklıkla değişiminden bulunabileceği gibi daha çok bu iletim mekanizmasının gözlendiği sıcaklık aralığındaki termogüp ölçülerinden bulunur. Bu yöntemle halkojenür camlarında  $\gamma \sim 5\text{--}8 \cdot 10^{-4} \text{ eV/}^\circ\text{K}$  civarında bulunmuştur.<sup>15</sup>  $\sigma_0$  ve  $\gamma$  değerleri kullanılarak 2.4.6 denklemi ile  $C$  değeri hesaplandığında  $\sim 10^3 \Omega^{-1}\text{cm}^{-1}$  civarında bulunur. Bu değer, bu



Şek.2.4.1 (a) Enerjinin, (b) İletkenliğin sıcaklık bağımlılığı.<sup>8</sup>

kesimin sonunda verilecek denel C değerleri ile uyum halindedir.

(b).  $E_A$ 'daki yerleşik durumlara uyartılan elektronların hoplama iletimi:

Amorf yarıiletkenlerin sıcaklığı azaltılarak kritik bir sıcaklığa inildiğinde  $E_A$ 'ya uyartılan elektron sayısı,  $E_C$ 'ye uyartılanlardan daha fazla olur. Bu koşullar altında  $E_C - E_A$  yerleşik durum aralığında elektronların hoplama iletimi etkili olmaya başlar.

Kesim 2.3'de kısaca belirtildiği gibi, yerleşik durumlardaki iletim ısıl uyarmalı hoplama şeklinde olur. Bu mekanizmaya göre elektronun bulunduğu durumdan daha yüksek enerjili duruma geçmesi fonon soğurarak tünelleme ile olur. Daha alçak enerjili duruma geçişte ise fonon yayılır. İki yerleşik durum arasındaki uzaklık R ise, fonon soğuran elektronun bulunduğu durumdan ötekine tünelleme olasılığı,

$$v \exp(-2\alpha R - W_1 / kT) \quad (2.4.7)$$

bağıntısı ile verilir.<sup>14</sup> Burada  $W_1$  elektronun geçiş yaptığı iki durum arasındaki enerji farkı, v fonon frekansı ile il-

gili bir çarpan, birinci üstel terim dalga fonksiyonunun üst üste binmesini belirleyen bir faktör, ikinci üstel terim ise Boltzman faktörüdür. Bu terimdeki  $kT$  enerjisi (elektro-nun örgüden alacağı ıslıl enerjisi)  $W_1$  enerjisinden büyük ise elektron kendisine en yakın duruma geçiş yapar. En yakın komşu uzaklığı ( $R_0$ ) sabit olarak alınabilecegi için bu geçişe sabit erimli hoplama denir. En yakın komşuya hoplamada Boltzman faktörü elektronun tünelleme olasılığında etkili tek üstel terim olur.<sup>12</sup> Dolayısıyla band kuyruğundaki elektro-nun mobilitesi

$$\mu \propto \exp(-W_1/kT) \quad (2.4.8)$$

şeklinde yazılabilir. Öte yandan  $E_A$ 'ya uyartılan elektron konsantrasyonu

$$n = \int_{E_A}^{\infty} (N_E) \exp\left(-\frac{E - E_F}{kT}\right) dE \quad (2.4.9)$$

bağıntısı ile verilir.<sup>13</sup> Bulunan  $\mu$  ve  $n$  ifadeleri Denklem 2.4.1'de yerine konularak:

$$\sigma = \sigma_0 \exp\left(-\frac{E_A - E_F + W_1}{kT}\right) \quad (2.4.10)$$

bulunur. Burada  $\sigma_0$ ,  $\sigma_0$  dan  $10^3$  kat küçük olan bir katsayıdır. Bunun nedeni olarak yerlesik kuyruk durumlarındaki durum yoğunluğu ve mobilitenin,  $E_F$ 'nin üzerindeki yaygın durumlara göre daha küçük oluşu gösterilmektedir.

(c). Fermi enerjisi civarında enerjisi olan elektronların hoplama iletimi:

Sıcaklık biraz daha düşürüldüğünde  $E_A$ 'ya uyartılan elektron sayısı hızla azalır ve denklem 2.4.9 etkisini yitirir. Bu sıcaklık sınırının altında iletkenliğe esas katkı Fermi enerjisi civarında bulunan yerlesik durumlardaki hoplama iletiminden gelir. Fermi enerjisinin  $kT$  aralığındaki elektron yoğunluğu:

$$2 N(E_F) k T$$

kadar olup bundan önceki iki mekanizmada olduğu gibi ısil aktivasyonluüstüel bir terimi kapsamamaktadır<sup>1</sup>. Band kenarındaki yerlesik durumlarda olduğu gibi en yakın komşuya hoplama halinde olasılık ifadesinde yalnız Boltzman faktörü etkili olacaktır. Öteki mekanizmalarda izlenen yoldan giderek iletkenlik

$$\sigma = \sigma_2 \exp (-W_2 / kT) \quad (2.4.11)$$

bulunur. Burada  $\sigma_2 \ll \sigma_1$  ve  $w_2$  hoplama enerjisidir.

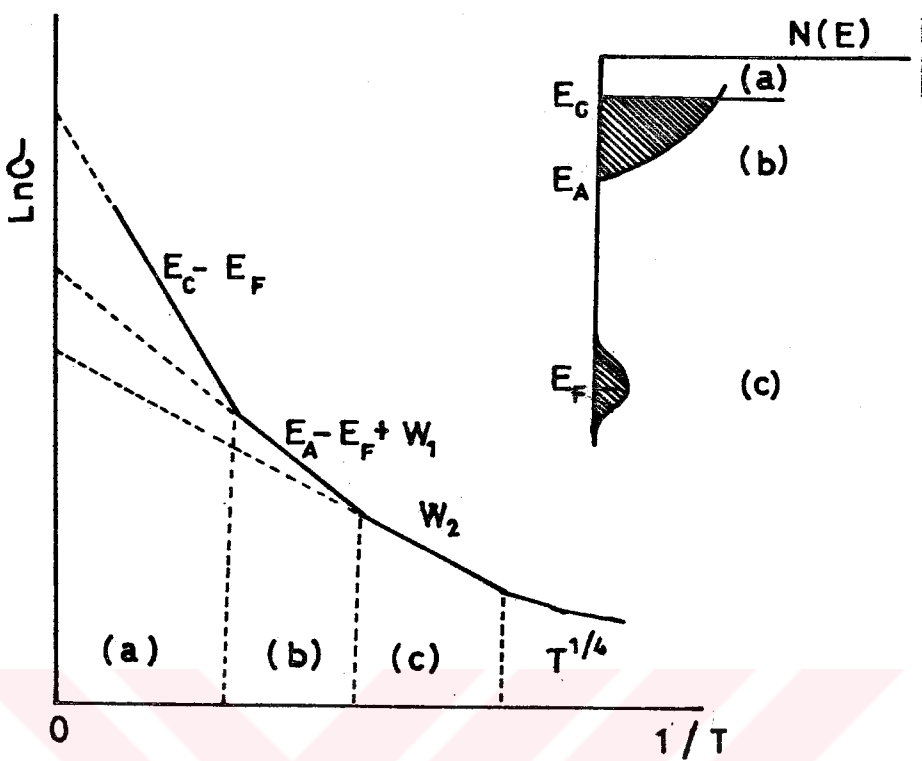
$kT$ 'nin,  $E_F$ 'deki band genişliğinden daha küçük olduğu sıcaklıklarda elektronların alacağı ısil enerji, onların en yakın komşuya geçmelerine yeterli olmayı bilir. Böylece iletme katılan az sayıdaki elektron kendi enerjisine en yakın daha uzak durumlara geçer. Sıcaklığın azalması ile  $R$  hoplama uzaklığı da değişeceğinden bu hoplamaya değişken erimli hoplama adı verilir. Mott ve Davis<sup>8</sup> değişken erimli hoplama halinde iletkenliğin sıcaklıkla,

$$\ln \sigma \propto T^{1/4}$$

bağıntısına göre değiştigini bulmuştur. Bu iletkenlik türüne  $T^{1/4}$  davranışını da denilmektedir.

Yukarıda incelenen iletim mekanizmalarının sıcaklık bağımlılığı toplu olarak Şek.2.4.2'de gösterilmiştir. Aynı şekil üzerinde ek olarak her iletim mekanizmasının oluşturduğu yeri gösteren kısmi bir band modeli de verilmiştir. Görüldüğü gibi bir iletim türünden diğerine geçiş, her iletim türünde aktivasyon enerjisi aynı olmadığından, grafiğin eğimindeki kırılmalarla anlaşılabilmektedir.

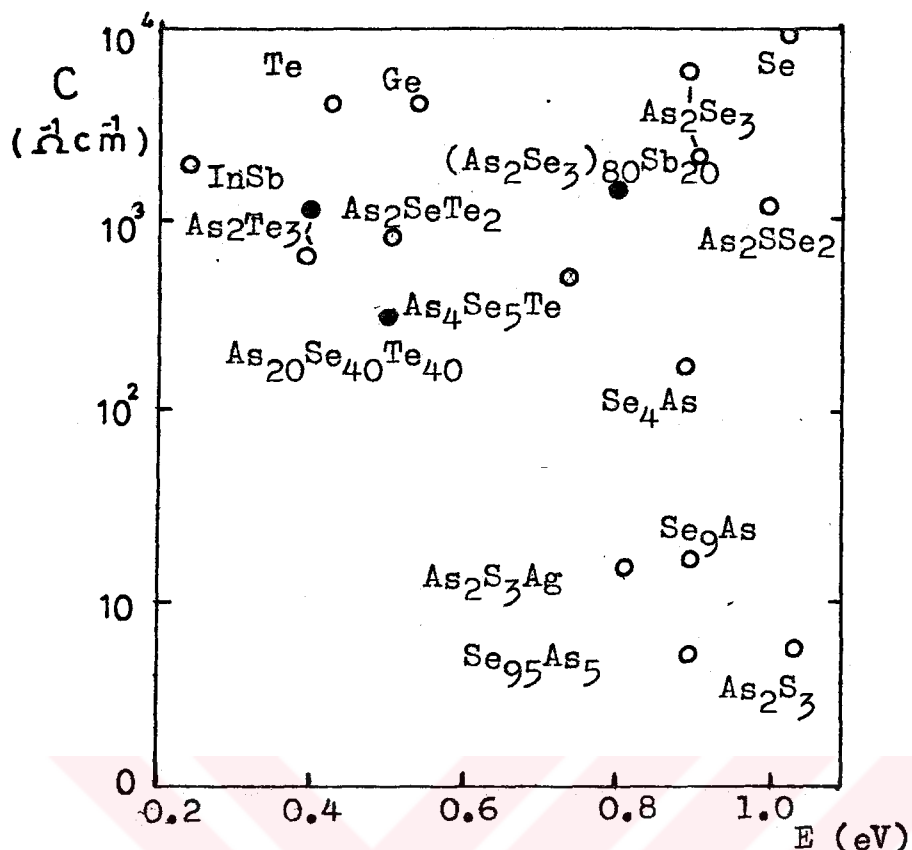
Bir amorf yarıiletkende alçak sıcaklıktan yüksek sıcaklığa kadar iletkenliğin sıcaklıkla değişimi incelenliğinde tüm mekanizmalar bir arada görülmese bile birden fazla iletim türünün gözleceği çalışmalar vardır. Özellikle elementel haldeki amorf yarıiletkenlerde değişken erimli hoplama iletkenliğinden başlayarak sabit erimli hoplama ve yaygın durum iletkenliği gözlenebilmektedir. Örnek olarak



Sek. 2.4.2 Amorf yarıiletkenlerde iletkenliğin sıcaklıkla değişimi<sup>1</sup>. Sağ üstteki ek, iletim mekanizmalarının olduğu yeri belirten kısmi bir band modelini göstermektedir.

H.Tolunay'ın<sup>19</sup> a.Si, Bluzer ve K.Bahl'ın<sup>20</sup> a.Ge filmleri ile yaptığı çalışmalar gösterilebilir. Halkojenür camları ile yapılan çalışmalarda çok alçak sıcaklıklarda bile değişken erimli hoplama iletkenliği ile karşılaşılmamıştır. Fakat ince film olarak çalışılan bazı halkojenür alaşımlarında alçak sıcaklığa inildikçe yaygın durumlardaki band iletiminden hoplama iletimine geçişin gözlendiği çok sayıda çalışma vardır.<sup>1,21,22,23</sup>

Yukarıda özetlendiği gibi amorf yarıiletkenlerin alçak sıcaklıklardaki iletkenlik davranışları arasında farklılıklar bulunmaktadır. Bu farklılık muhtemelen alçak sıcaklıklarda gözlenen hoplama iletkenliğinin yerleşik durumlarının dağılımına bağlı olması ile açıklanabilir. Yüksek sıcaklık bölgesinde ise iletkenlik, bu kesimin başında türetilen



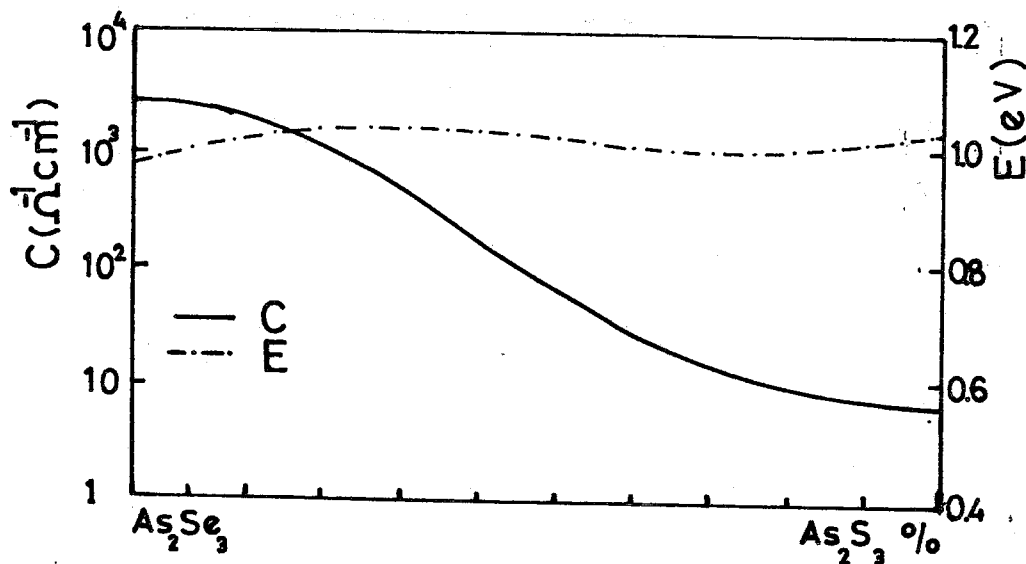
Şek. 2.4.3 Bazı amorf yarıiletkenlerde C ve E değerleri. o kaynak <sup>15</sup>, ● bu çalışmadan alınmıştır.

$$\sigma = C \exp(-E/kT)$$

denklemine uymaktadır. Yüksek sıcaklık iletkenliği olarak da anılan bu bağıntı bir bakıma amorf yarıiletkenlerin ortak özelligidir. Şek.2.4.3'de iletkenlikleri bu bağıntiya uyan bazı amorf yarıiletkenler için denel yoldan bulunan C ve E değerleri verilmiştir. Görüldüğü gibi bu iki parametre arasında herhangibir bağıntı bulunmamakta ve C değerleri bir dağılım göstermeye birlikte daha çok  $\sim 10^3 \Omega^{-1} \text{cm}^{-3}$  dolayında toplanmaktadır. C ve E parametreleri arasındaki bağımlılığı araştıran Mott-Davis'e göre  $C(\sigma_0 \exp(-\gamma/k))$ 'deki dağılım  $\sigma_0$  ve özellikle  $\gamma$ 'nın malzemeye göre değişmesinden ileri gelir. Davis-Mott<sup>15</sup>  $\text{As}_2\text{S}_3$  ve öteki bazı alaşımalar için C'nin çok küçük değerlere ( $10 \Omega^{-1} \text{cm}^{-3}$ ) sahip olmasını bu camlarda band kenarlarındaki ( $E_C - E_A$ ) ve ( $E_B - E_V$ ) yerleşik durum aralıklarının(Şek.2.3.6) öteki camlara göre daha geniş olmasına bağlamaktadırlar. Bu tür malzemedede band kenarlarında geniş bir yerleşik durum aralığı olduğu için oda sıcaklığında

da bile yerleşik kuyruk durumlarına uyartılan taşıyıcı sayısı, mobilite kenarı dışına uyartılandan fazla olur. Böylece iletkenliğe büyük katkı hoplama iletiminden gelir.<sup>15</sup> Sonuç olarak Davis ve Mott'a göre C'nin  $10^3$ - $10^4 \Omega^{-1} \text{cm}^{-1}$  civarındaki değerleri iletkenliğe en büyük katkının yaygın durumlara uyartılan taşıyıcıların band iletkenliğinden, daha küçük değerleri ( $10^2 \Omega^{-1} \text{cm}^{-1}$ ) ise iletkenliğe en büyük katkının hoplama iletkenliğinden geldiğini gösterir. Aynı araştıracılar son yıllarda (Mott-Davis 1979) minimum metalik iletkenliğin kesin olarak çözülen bir kavram olmaması ve  $\gamma$  sıcaklık katsayılarındaki dağılım nedeniyle C ( $\sigma_0 \exp(\gamma/k)$ )'nin iletim mekanizması yorumunda kullanılmasını çok güvenilir görmemekte fakat halkojenürler için yine de bir fikir vereceğini belirtmektedirler.

Bazı halkojen alaşımlarında C ve E değerlerinin, yapıda bulunan halkojen grubunun yüzde oranına göre ilginç bir değişme gösterdiği bulunmuştur. Şek.2.4.4'de  $\text{As}_2\text{Se}_3$  ve  $\text{As}_2\text{S}_3$  ikili camlarının  $\text{As}_2\text{Se}_3$ - $\text{As}_2\text{S}_3$  alaşımındaki yüzdelere göre C ve E'nin nasıl değiştiğini göstermektedir. Göründüğü gibi  $\text{As}_2\text{S}_3$  oranı arttıkça C değeri küçülmektedir. Araştıracılara göre bu sonuç muhtemelen,  $\text{As}_2\text{S}_3$  oranının artmasıyla yerleşik durum bandının genişlediğini ve iletimin hoplama ile sağlandığını gösterir.



Şek. 2.4.4  $\text{As}_2\text{Se}_3$ - $\text{As}_2\text{S}_3$  Sisteminde C ve E nin karışım yüzdelere göre değişimi.<sup>8</sup>

## 2.5 Alternatif Akım (a.c) İletkenliği.

Frekans bağımlılığı gösteren iletkenlik ilk kez, katkılandırılmış Si'da Pollak ve Geballe (1961)<sup>24</sup> tarafından gözlenmiştir. Bu araştırmacılar deney sonuçlarına göre iletkenliğin, uygulanan alanın frekansı ( $\omega$ ) ile

$$\sigma(\omega) \propto \omega^s \quad (2.5.1)$$

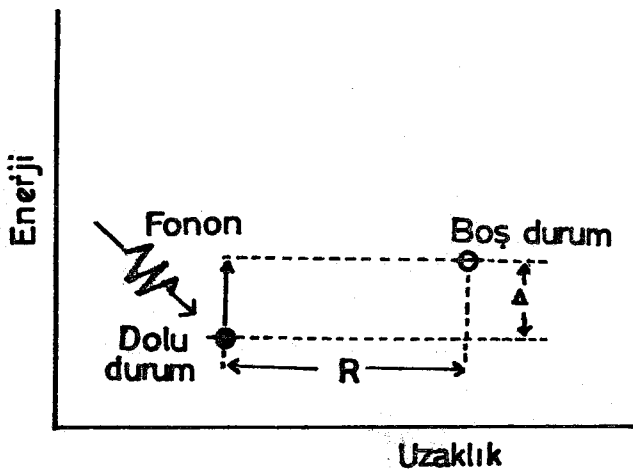
bağıntısına göre değiştiğini bulmuşlardır. Burada  $s \sim 0.8$  dolayında bir katsayıdır. Daha sonra Austin-Mott (1969)<sup>25</sup> amorf yarıiletkenlerde, Mott-Davis<sup>26</sup> halkojenürlerde a.c iletkenliği üzerinde çalışmışlar ve 2.5.1 bağıntısının bu malzemeler için de geçerli olduğunu ileri sürmüşlerdir.

Frekans bağımlılığı gösteren iletkenliğin kuramsal açıklaması Austin-Mott,<sup>25</sup> Pollak,<sup>26</sup> Pike<sup>27</sup> ve Jonscher<sup>28</sup> tarafından yapılmıştır. Bundan sonraki kesimlerde Austin-Mott modeli olarak da anılan QMT (Quantum Mechanical Tunneling) modeli ile, Pike<sup>27</sup> tarafından ortaya atılan ve Elliott'un<sup>29</sup> halkojenürlere adapte ettiği CBH (Classical Barrier Hopping) modeli incelenecektir. Gerçekte her iki model a.c iletkenliğinden, Fermi düzeyi dolayında bulunan yerlesik durum çiftlerini sorumlu tutmaktadır.

### 2.5.1 Q M T Modeli.

QMT modeline göre amorf yarıiletkenlerdeki a.c iletkenliği, Fermi düzeyi dolayındaki yerlesik durum çiftleri arasında taşıyıcıların, d.c iletkenliğinde olduğu gibi, ıslı uyarmalı tünelleme yapması ile oluşur. Dolayısıyla QMT modeline göre hem d.c hem de a.c iletkenliğinden aynı mekanizma sorumludur.

Fermi düzeyi yakınında, tünellemenin olduğu bir yerlesik durum çiftini göz önüne alalım. Sek.2.5.1 de görüldüğü gibi çifti oluşturan durumlar arasındaki uzaklık R, enerji



Sek.2.5.1 Isıl uyarmalı tünelleme ile iletim.<sup>30</sup>

farkı da  $\Delta$  olsun. Açısal frekansı  $\omega$  olan bir alternatif alan uygulandığında bir elektron isıl uyarma yardımımı ile bu iki durum arasında hareket ederek iletkenliğe katkıda bulunur. Bir tek çiftteki elektronun hareketi ile oluşan elemanter a.c iletkenliği

$$d\sigma(\omega) = \frac{e^2 R^2 \cos^2 \theta}{kT} \left( \frac{1}{1 + \exp(\Delta/kT)} \right) \frac{\omega^2 \tau}{1 + \omega^2 \tau^2} \quad (2.5.2)$$

olarak hesaplanır.<sup>2</sup> Burada  $\theta$ ,  $R$  ile uygulanan alan arasındaki açı,  $k$  Boltzmann sabiti,  $T$  sıcaklık,  $\tau$  ise durulma (relaksasyon) süresidir.

Modelin kurucularına göre yerlesik durum çiftleri birbirinden bağımsızdır. Bu çiftlerden  $n$  tane özdeş çift olduğu kabul edilirse toplam iletkenlik

$$\sigma(\omega) = n d\sigma(\omega)$$

olur. Amorf yarıiletkenlerde  $R$ ,  $\Delta$  ve  $\theta$  değerleri yerlesik durumlar için geniş bir dağılım gösterdiklerinden toplam a.c iletkenliğini veren bağıntı daha kompleks bir durum alır.  $R$ ,  $\Delta$  ve  $\theta$  değerlerinin, iletkenliğe katkıda bulunacak bütün çiftler için integrasyonu Austin-Mott modelinden beklenen a.c iletkenliğini verir:

$$\sigma(\omega) = \frac{4\pi}{3} \{ N(E_F) \}^2 k T e^2 \ln \int R^4 dR \frac{\omega^2 \tau}{1 + \omega^2 \tau^2} \quad (2.5.3)$$

İntegral içindeki  $\tau$  durulma süresi,  $\Delta \ll kT$  olmak üzere, tünellemenin olduğu iki durum arasındaki  $R$  uzaklığına

$$v = v_0 \exp(-2\alpha R) \exp(-\Delta/kT) \rightarrow \tau = \tau_0 \exp(2\alpha R) \quad (2.5.4)$$

şeklinde üstel bir bağımlılık gösterir. Burada  $\tau_0 = 10^{-13} \text{ s}$  basamağında bir atomik titreşim periyodu,  $\alpha^{-1}$  ise yerlesik dalga fonksiyonunun sönüüm sabitidir. Denklem 2.5.3'deki  $\omega^2 \tau / 1 + \omega^2 \tau^2$  ifadesinin  $\omega\tau$  ile değişimi incelendiğinde  $\omega\tau = 1$  için bu ifadenin bir maksimumdan geçtiği görülür.<sup>26</sup> Bu değerin 2.5.4 denkleminde yerine konulması ile, iletkenliğe en büyük katkıyı veren çiftlere ait tünelleme uzaklığı

$$R_0 = \frac{1}{2\alpha} \ln(v_0/\omega) \quad (2.5.5)$$

bulunur. Burada  $v_0$  maksimum fonon frekansıdır( $\sim 10^{13} \text{ s}^{-1}$ ).  $\omega\tau = 1$  ve  $R=R_0$  kritik değerleri (2.5.3) denkleminde yerine konularak

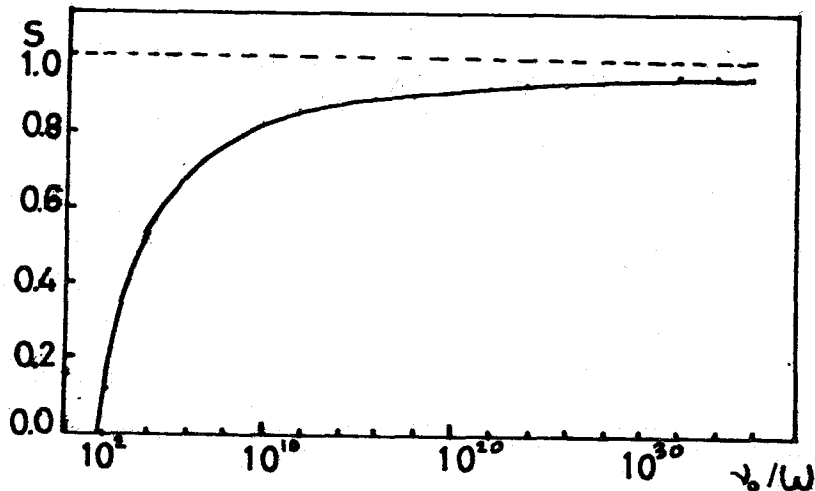
$$\sigma(\omega) = A e^2 \{N(E_F)\}^2 k T \alpha^{-5} \omega \{\ln(v_0/\omega)\}^4 \quad (2.5.6)$$

bulunur. Burada  $A = \pi\sqrt{3}$  dir.<sup>25</sup> Aynı sabit Pollak<sup>26</sup> tarafından  $\pi^3/96$ , Butcher-Hayden<sup>31</sup> tarafından  $3.66\pi^2/6$  olarak hesaplanmıştır.

Denklem 2.5.6 dan beklenen frekansa bağımlılık  $\sigma(\omega) \propto \omega^s$  şeklinde yazılabilir. Böylece  $\ln \sigma(\omega)$  ile  $\ln \omega$  arasında çizilen grafiğin eğimi

$$s = 1 - \frac{4}{\ln(v_0/\omega)} \quad (2.5.7)$$

olur. Bu sonuca göre  $\omega \ll v_0$  olmak üzere  $s$ , uygulanan alanın frekansının zayıf bir fonksiyonu olan bir sabittir. Örneğin  $\omega = 10^6 \text{ s}^{-1}$  için  $s \sim 0.8$  bulunur ki bu değer Pollak ve Geballa'nın denel bulguları ile iyi uyuşur. Denklem 2.5.7 nin kullanılması ile elde edilen Şek.2.5.2 den görülebileceği gibi  $s$  üssü,  $v_0/\omega$  oranının küçülmesi ile hızlı bir azalma gösterir.



Sek. 2.5.2  $s$  frekans üssünün  $v_0/\omega$  ile değişmesi.<sup>1</sup>

QMT modeli, literatürdeki bazı denel bulgularla desteklenmektedir. Buna örnek olarak P.G<sup>24</sup>'nın hafifçe katkılendirilmiş yarı iletken kristalleri ve Abkowitz ve arkadaşlarının<sup>29</sup> glow-discharge a.Si ile yaptığı çalışmalar gösterilebilir. Fakat bu model, özellikle halkojenür camlarının ve buharlaştırma ile elde edilmiş (evapore) a.Si ve a.Ge'un a.c iletkenliğini iyi açıklayamamaktadır.<sup>27, 29, 32</sup> Modelin göze çarpan ilk başarısızlığı(2.5.7)denklemi ile verilen  $s$  üssünden ileri gelir. Bu ifadeye göre  $s$ , yalnız  $v_0/\omega$  oranına bağlıdır. Halbuki halkojenürler ve öteki amorf yarıiletkenlerde  $s$ 'nin sıcaklık bağımlılığı gösterdiği bulunmuştur.<sup>27, 29, 33</sup> Modelin ikinci başarısızlığı,  $s$ 'nin şiddetinden ileri gelmektedir. Denklem(2.5.7)den  $\omega = 10^6 \text{ s}^{-1}$  olmak üzere makûl bir  $v_0$  değeri ( $\sim 10^{13} \text{ s}^{-1}$ ) için  $s=0.8$  değeri bulunur. Fakat denel olarak bulunan değerler, modelden beklenen bu değeri aşmaktadır. Örneğin Lakatus-Abkowitz<sup>34</sup> a.Se'da  $T=300 \text{ }^\circ\text{K}$  ve  $\omega=10^6 \text{ s}^{-1}$  için  $s=0.96$  değerini bulmuşlardır. Bu değerin (2.5.7)denkleminde kullanılması ile  $v_0 \approx 10^{39} \text{ s}^{-1}$  bulunur ki bu değer fiziksel yönden gerçekçi degildir.

QMT modeline göre, d.c hoplama iletkenliğine katkıda bulunan aynı yerlesik durumlar, a.c iletkenliğinden de sorumlu tutulmaktadır. Bu varsayımin doğru olması halinde  $N(E_F)$

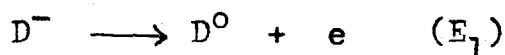
yerlesik durum yoğunluğu için, d.c hoplama iletkenliği ( $T^{-1/4}$  davranışısı) ile a.c iletkenliği aynı değeri vermelidir. Fakat denel bulgular bu bekleniyi doğrulamamaktadır. Örneğin Balkan a.Ge'da  $N(E_F)_{a.c} \cong 7 \times N(E_F)_{d.c}$  olduğunu bulmuştur.<sup>33</sup>

Halkojenür camlarında ise  $T^{-1/4}$  davranışsı gözlenmemesine karşılık a.c iletkenliği ölçüleri, Fermi düzeyinde  $10^{18}$ - $10^{20}$   $\text{cm}^{-3}\text{eV}^{-1}$  basamağında durum yoğunluğu olduğunu vermektedir.<sup>9</sup>

### 2.5.2 CBH Modeli.

A.c iletkenliğini açıklamada ikinci bir mekanizma CBH modelidir. Bu model aslında QMT modelinde olduğu gibi yerlesik durum çiftleri yaklaşımına dayanır. Şu farkla ki burada taşıyıcıların, yerlesik durum çifti arasındaki potansiyel engelini tünelleme ile geçmek yerine bu engeli aşarak geçtiği varsayıılır. Dolayısıyla modele göre  $\tau$  durulma süresi, hoplama ile aşılan engel yüksekliğine göre üstel bir dağılım gösterir. Model ilk kez Pollak-Pike<sup>35</sup> tarafından düşünülmüş ve Pike<sup>27</sup> tarafından geliştirilmiştir. Elliott<sup>29</sup>, Pike'nin Scandium oksitde bulduğu a.c iletkenliği sonuçlarını yorumlamada geliştirdiği bu kuramı halkojenür camlarına adapte etmiştir. Bu çalışmada halkojenür camlarının kullanılması nedeniyle CBH modelinin, Elliott'un halkojenürlere adapte ettiği şekli üzerinde durulacaktır.

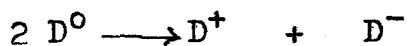
Elliott'a göre halkojenür camlarında a.c iletkenliğinden, yüklü kusur merkezleri ( dangling bond ) sorumludur. Bu merkezlerin yapısı Kastner-Adler ve Fritzsché<sup>36</sup> tarafından genişçe incelenmiştir. Bu araştırmacılara göre fazladan bir negatif yük taşıyan kusur merkezi  $D^-$  ile gösterilir.  $D^-$  merkezinden bir elektronun ısıl uyarma ile iletim bandına uyartılması



reaksiyonu ile gösterilir. Aynı merkezden ikinci bir elektronun uyartılması ile  $D^0$  merkezi

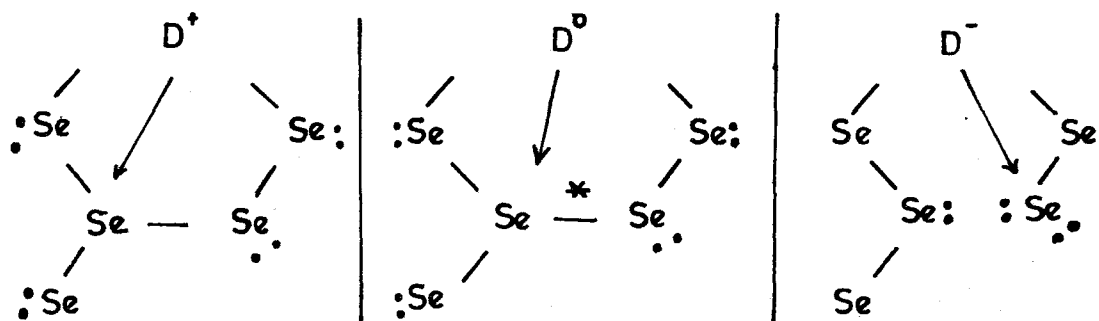


reaksiyonuna göre  $D^+$  durumuna gelir. Burada  $E_1$  ve  $E_2$  elektronun bulunduğu merkezden uyarılması için gereken enerjileri gösterir. Bu iki reaksiyon

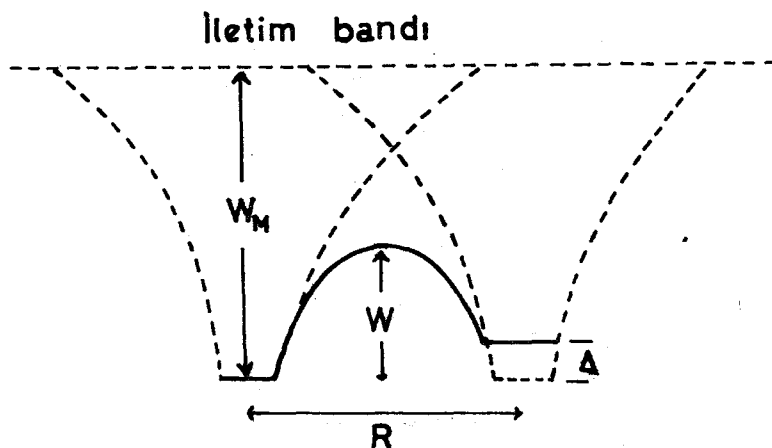


şeklinde kısaltılabilir.  $D^-$ ,  $D^+$  ve  $D^0$  merkezlerinin yapısı Şek.2.5.2 de a.Se için gösterilmiştir.

CBH modeline göre, a.c iletkenliğinden sorumlu tutulan kusur merkezleri, QMT modelinde yapılan varsayımlın tersine, birbirini etkileyebilecek kadar yakın uzaklıkta bulunurlar. Bu varsayıma göre, elemanter a.c iletkenliğini sağlayan bir yerleşik durum çifti, Şek.2.5.3'de görüldüğü gibi düşünülmektedir. Burada R hoplamanın olduğu durumlar arasındaki uzaklık,  $W_M$  iki elektronu bulunduğu durumdan iletim bandına çıkarmak için gereken enerji,  $\Delta$  bu iki durum arasındaki enerji farkı,  $W$  ise iki durumu ayıran potansiyel engelinin yüksekliğidir. Yerleşik durumların karşılığı olan potansiyel kuyularının Coulomb yapısında ve iki kuyunun Şek.2.5.3'de görüldüğü gibi birbirini etkileyebilecek kadar yakın olduğu var-



Şek.2.5.2 Amorf Se için yerleşik durumlarının yapısı<sup>7</sup>  
(Street ve Mott modeli ).



Şek.2.5.3 CBH modeline göre bir yerleşik durum çiftinde potansiyel engelinin yapısı<sup>29</sup>

sayımı dikkate alınarak

$$W_M - W = \frac{4 n e^2}{\kappa R} \quad (2.5.8)$$

yazılabilir. Burada  $\kappa$  etkin dielektrik sabiti,  $n$  hoplayan elektron sayısıdır ki halkojenürler için  $n = 2$  olarak alınır.<sup>29</sup> Bu bağıntıya göre,  $R$  nin iletkenlige katkıda bulunan çiftler arasında bir dağılım göstermesi,  $W$  nın da bir dağılım göstermesini gerektirir. Dolayısıyla durulma süresi  $W$  potansiyel engeline

$$\tau = \tau_0 \exp(W/kT) \quad (2.5.9)$$

şeklinde üstel bir bağımlılık gösterir. Burada  $\tau_0$  atomik titreşim periyodu basamağında bir sabittir.

Hesaplamada kolaylık için, çifti oluşturan durumların enerji düzeyi yönünden özdeş (yani durumlar dejenere) olduğuunu kabul ederek  $\Delta$  enerji farkını ihmal edelim. Yukarıdaki varsayımlara ek olarak en yakın komşuya hoplama hali dikkate alındığında a.c iletkenliği

$$\sigma(\omega) = \frac{N^2 M \kappa}{12} \int_0^\infty R^6 \frac{\omega^2 \tau}{1 + \omega^2 \tau^2} \frac{d\tau}{\tau} \quad (2.5.10)$$

bulunur. Burada N yerlesik durum konsantrasyonudur. İntegral içindeki  $\omega^2 \tau / (1 + \omega^2 \tau^2)$  ifadesi,  $\omega \tau = 1$  kritik değeri için bir maksimumdan geçer. Bu kritik değerin karşılığı olan R ve W değerlerini sırasıyla  $R_0$  ve  $W_0$  ile gösterelim. Denklem(2.5.8) ve (2.5.9)'dan sırasıyla

$$W_0 = -kT \ln(\omega \tau_0) \quad R_0 = \frac{8e^2}{\kappa (W_M - W_0)} \quad (2.5.11)$$

elde edilir. Böylece Denklem(2.5.10)'dan

$$\sigma(\omega) = \frac{\pi^2 N^2 \kappa}{24} \omega R_0^6 \quad (2.5.12)$$

bulunur. Yüksek olmayan sıcaklıklar için  $W_M \gg W_0$  varsayımlı yapılabilir. Bu durumda birinci basamaktan bir yaklaşım去做 ve Denklem(2.5.9)'u kullanarak

$$R_0^6 = \left( \frac{8e^2}{\kappa W_M} \right)^6 (\omega \tau_0)^{-\beta} \quad (2.5.13)$$

olarak alınır. Burada

$$\beta = 6 kT / W_M \quad (2.5.14)$$

dır. Böylece a.c iletkenliği için son ifade

$$\sigma(\omega) = \frac{\pi^2 N^2 \kappa}{24} \left( \frac{8e^2}{\kappa W_M} \right)^6 \frac{\omega^s}{\tau_0^\beta} \quad (2.5.15)$$

olur. Bu son denklemin frekans bağımlılığı kısaca

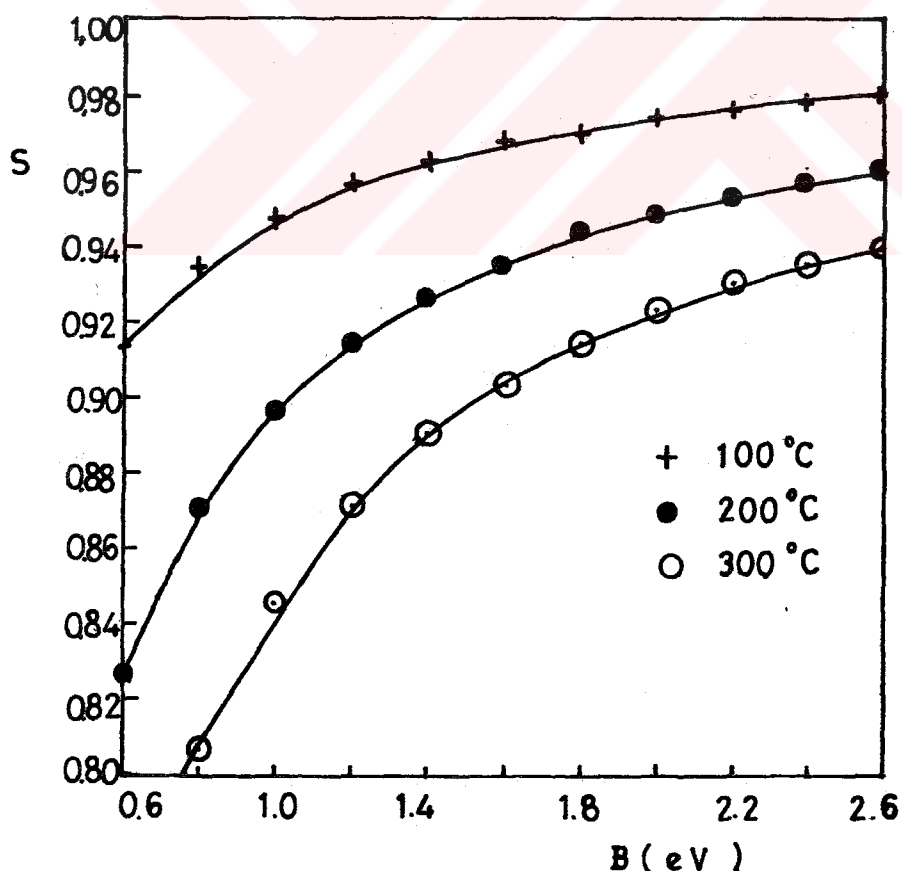
$$\sigma(\omega) \propto \omega^s \quad (2.5.16)$$

şeklinde yazılabilir. Burada s alçak sıcaklıklarda

$$s = 1 - \beta = 1 - 6 kT / W_M \quad (2.5.17)$$

dır. Bu bağıntıdan yararlanarak  $s$ 'nin denel yoldan bulunması ile malzemeye ait  $W_M$  parametresi bulunabilir ki bu değer halkojenür camları için yaklaşık olarak mobilite aralığına ( $B$ ) eşit alınabilir. Fakat  $\beta$  değerlerinin küçük oluşu nedeniyle bu yöntemle bulunan  $B$  değerleri güvenilir değildir.<sup>29</sup> Bu yüzden  $B$ 'nin tayin edilmesinde diğer yöntemler tercih edilir.<sup>30</sup> Bölüm 4'de tartıştığımız alçak alan d.c iletkenliği bu yöntemlerden biridir.

Denklem(2.5.17)'den görülebileceği gibi  $s$  üssü hem sıcaklığa hem de mobilite aralığına bağlıdır. Bu bağımlılığın daha iyi görülebilmesi için üç farklı sıcaklık (100, 200 ve 300 °K) için  $s$  nin  $B$  ile değişimini gösteren grafik çizilmiştir (Şek.2.5.4). Görülebileceği gibi, bu modelde göre  $s$  için 0.8 den büyük değerler de beklenmektedir. Bu kuramsal değerlerle uyum halinde olan çok sayıda çalışma bulunmaktadır.<sup>27,29,33,34</sup>



Şek.2.5.4 Denklem 2.5.17.ye göre  $s$  frekans üssünün mobilite aralığı ve sıcaklıkla değişimi.

Denklem(2.5.15)'in çıkarılmasında kullanılan fiziksel ve matematiksel varsayımlar nedeniyle bu denklem ile denel bulgular arasındaki uyum yalnız orta sıcaklık bölgesi için beklenmelidir. Çünkü çok alçak sıcaklıklarda,  $W$ 'nın küçük değerlerinin önem kazanması yüzünden, hoplamanın olduğu iki durum arasındaki  $\Delta$  enerji farkının ihmali edilmesi önemli yanlışlara neden olur<sup>29</sup>. Öte yandan yüksek sıcaklıklarda, taşıyıcıların hoplayarak geleceğe potansiyel engelleri daha büyük olacaktır( Denkl. 2.5.11). Dolayısıyla yüksek sıcaklık bölgesinde inetkenliği doğru hesaplayabilmek için, (2.5.13) denklemde  $R_0^6$ 'nın hesabında,  $W_M \gg W_0$  varsayıımı nedeniyle ihmali edilen daha yüksek derecedeki terimlerin de işleme katılması gereklidir. Böylece 2.5.15 ve 2.5.16 ifadeleri biraz değişir ve bu değişiklik özellikle mobilite aralığı küçük olan amorf yarıiletkenlerde daha önemli olur.<sup>29</sup>

Daha yüksek sıcaklıklarda veya çok alçak frekanslarda  $W_0$ ,  $W_M$  değerine yaklaşabilir. Böylece  $R_0 \rightarrow R_\infty$  olur. Bu durumda durulma süresi

$$\tau = \tau_{\text{mak}} = \tau_0 \exp(W_M/kT) \quad (2.5.18)$$

olur.<sup>30</sup> Bu denklem, elemanter inetkenliği sağlayan bir dipol için maksimum bir tepki süresi ( veya minimum bir tepki frekansı ) tanımlar. Bundan daha alçak frekanslı bir alan uygulandığında  $\omega \tau_{\text{mak}} < 1$  olacağı için a.c inetkenliğine katkıının en büyük olma koşulu ( $\omega \tau = 1$ ) bozulacaktır. Böylece Denkl. 2.5.10 daki  $\omega^2 \tau / (1 + \omega^2 \tau^2)$  ifadesi  $\approx \omega^2 \tau_{\text{mak}}$  şeklinde alınabilir ve buradan

$$\sigma_{ac} \propto \omega^2 \tau_0 \exp(W_M/kT) \quad (2.5.19)$$

yazılabilir. O halde  $\omega \tau_{\text{mak}} < 1$  durumunun karşılığı olan frekanslara inildiğinde  $\omega^s$  davranışından ( $s \leq 1$ ),  $\omega^2$  davranışına geçiş beklenir. Kisaca - Cut-off- davranışları olarak adlandırılan bu olay ilk kez N.Balkan tarafından a. Ge da gözlemlenmiştir<sup>31</sup>.

### 3. DENEL ÇALIŞMA

#### 3.1 Çalışma Malzemesinin Seçimi

Çalışmada kullanılacak halkojenür camları, denel olanaklar ve malzeme temini göz önüne alınarak seçilmiştir. Ölçü sisteminin vereceği sonuçların güvenirliliği konusunda bir fikir vermesi bakımından öncelikle bir karşılaştırma malzemesi üzerinde çalışılması düşünülmüştür. Karşılaştırma malzemesi olarak, iletkenlik özellikleri bir çok araştırmacı tarafından çalışılan  $As_2Te_3$  camı seçilmiştir. Diğer çalışma malzemeleri, bu güne kadar hiç çalışılmamış terkipteki camlar olan

$As_{20}Se_{40}Te_{40}$  ve  $(As_2Se_3)_{80}Sb_{20}$  (atomik yüzde) üçlü halkojenür camlarıdır.

Halkojenür camları ile çalışan araştırmacılar, kendi denel olanakları nedeniyle daha çok ince film düzenekleri ile çalışma yapmışlardır. Bununla beraber, hacimli (bulk) düzeneğlerle çalışma yapan araştırmacılar da bulunmaktadır.<sup>37-39</sup> Bu çalışmada, laboratuvar olanaklarımıza ve üzerinde daha az çalışma yapıldığı için hacimli örneklerle çalışma yapılmıştır.

#### 3.2 Camların Hazırlanması

Çalıştığımız camlardan  $As_2Te_3$  hazır olark sağlanmış diğer halkojenür camları ise laboratuvarımızda yapılmıştır. Araştırma kurumlarından sağlanan % 99.9999 saflikta elementler, 5'er gram cam elde edilebilecek şekilde kimyasal oranlarına uygun ölçüde tartılarak karıştırılmıştır. Bu karışım alevde ortası ve ucu daraltılan bir pireks (pyrex) tüpe yerleştirilmiştir. Mekanik bir pompa ile tüpün havası boşaltıldıktan sonra kuvvetli bir alevde ortadaki boğum kapatılmıştır. Karışımın bulunduğu tüp, homogenliği sağlamak için her yarım saatte bir çalkalanmak üzere 15 saat sürede pişirilmiştir. Pişirilme sıcaklığı olarak  $As_{20}Se_{40}Te_{40}$  camı için 600 °C

yeterli görülmüştür( As bu sıcaklıkta 1 at. buhar basıncına sahiptir. Se ve Te için atmosfer basıncında ergime sıcaklıklar sırasıyla  $217^{\circ}\text{C}$  ve  $450^{\circ}\text{C}$  dir). Yapısında Sb bulunan ( 1 at. basıncında ergime noktası  $630^{\circ}\text{C}$ ) diğer karışım için pişirilme sıcaklığı  $650^{\circ}\text{C}$  dolayında tutulmuştur. Bu sıcaklık, pireks için sınır bölgesi olduğundan pişirilme işlemi sonucunda tüpün kısmen şekil değişikliğine uğradığı görülmüştür.

Söndürme işlemi için tüp, oda sıcaklığındaki su ile islatılmış bir kumaşa sarılmıştır.

$(\text{As}_2\text{Se}_3)_{80}\text{Sb}_{20}$  camının pişirilme sıcaklığının Sb'un ergime noktasına yakın oluşu, bu elementin camın yapısına girip girmediği konusunda kuşku uyandırmıştır. Bu nedenle kanitatif bir analiz denemesi yapılmıştır. Yapılan bu analize göre bileşimde beklenilen oranda Sb bulunduğu görülmüştür.

### 3.3 Hacimli Örneklerin Yapılması

Hazırlanan halkojenür camlarının çok kırılınan oluşu nedeniyle geometrik yapıda hacimli örnek yapılması oldukça zor olmuştur. Bu amaç için birkaç yöntem denemiştir. Çalışılan üç cama da uygulanabilecek birinci yöntemde malzemeden alınan küçük bir parça ince dişli bir zımpara ile mekanik olarak paralel yüzlü levha haline getirilmiştir. Bu yöntemle ortalama  $\sim 0.5\text{mm}$  kalınlığa kadar inilebilmiştir. İkinci yöntemde ise küçük parçalar, düzgün iki cam levha arasına konulmuş ve malzeme yumuşayıncaya kadar alttaki cam ısıtılmıştır. Yumuşayan malzeme iki cam arasında sıkıştırılarak oda sıcaklığında ani soğumaya bırakılmıştır. Bu yöntemle hem daha düzgün hem de daha ince ( $\sim 0.3\text{ mm}$ ) örnek hazırlanabilmiştir.

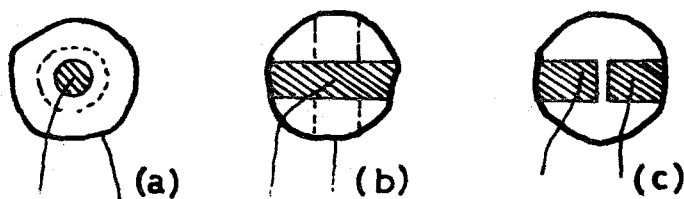
$\text{As}_2\text{Te}_3$  camında, yukarıda açıklanan yöntemlerden ilki seçilmiş, ikincisi uygulandığında örneklerin yarıiletken davranışını yitirdikleri (metalik davranış) görülmüştür. Bölüm 2'de dejindiğimiz gibi bu özellik, camın kararsızlık derece-

sinin büyük oluşundan ileri gelir.  $As_{20}Se_{40}Te_{40}$  camında iki yöntem de kullanılmıştır. İkinci yöntem kullanıldığında soğutma hızının iyi düzenlenemeyisi yüzünden bazı örneklerin,  $As_2Te_3$  camında olduğu gibi, yarıiletken özelliklerini yitirdikleri görülmüştür.  $(As_2Se_3)_{80}Sb_{20}$  camında ise bir metalleşme etkisi ile karşılaşmadığından yalnız ikinci yöntemle örnek hazırlanmıştır.

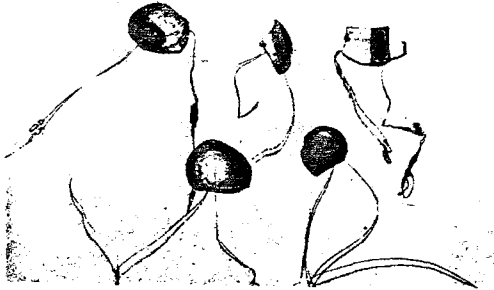
### 3.4 Elektrot Yapılması

Elektrot olarak seçilen metalin, levha haline getirilmişörneğe omik kontak yapması ve bir kontak problemi çıkarılmamış gereklidir. Bu nedenle elektrot metali olarak Au düşünlülmüştür. Çeşitli büyülüklerde dairesel delikleri bulunan pirinç bir maske yapılarak bu maske yardımıyla hacimli örneklerin iki yüzüne vakum kaplama ünitesinde Au elektrot kaplanmışdır. İkinci bir elektrot malzemesi olarak gümüşlü yapıştırıcı (silver dag) kullanılmıştır. Her iki durumda, örneğin direncinin mümkün olduğu kadar küçük olması için elektrot alanı geniş tutulmuştur.

İnce filmlerde olduğu gibi hacimli örneklerde de sandöviç ve aralık (co-planer) türü elektrot düzeni uygulamak mümkündür. Elektrot düzeninin sonuçlara etkisini incelemek amacıyla, çalışmada her iki elektrot düzeni de denenmiştir.



Şek.3.4.1 Elektrot düzenleri. (a) Dairesel geometrili sandöviç, (b) Köşeli geometrili sandöviç, (c) Aralık türü.



Şek.3.4.2 Hacimli halkojenür camları

Şek.3.4.1'de grüldüğü gibi sandöviç türü elektrot düzende elektrrot geometrisi dairesel yahut köşeli olabilir.

Ölçü sistemine örneğin elektrot bağlantılarını sağlamak üzere, elektrot üzerine gümüşlü boyal ile  $\sim 0.10$  mm çapında bakır teller yapıştırılmıştır. Şek.3.4.2'de birkaç örneğin fotoğrafları gösterilmiştir.

Örnekler üzerine kaplanan elektrot alanının boyutları  $0.05$  mm'ye kadar ölçü yapabilen büyüteli bir mikrometre ile, örneğin kalınlığı ise palmer ile ölçülmüştür. Örnek kalınlığının, hazırlama yönteminin sonucu olarak, homogen olmayışı ve elektrot alanının tam geometrik yapılamayışı nedeniyle bu ölçülerdeki hata, kullanılan araçların duyarlılığının biraz üzerinde olacaktır. Hazırlanan tüm örnekler için bu ölçüler Çizelge 3.4.1'de görülmektedir. Çizelgeden görülebileceği gibi bazı örneklerde geometrik bir elektrot düzeni yapılamadığndan bu örnekler için elektrot alanı değerleri verilememiştir. Çizelgede sandöviç elektrot düzeni S , aralık elektrot düzeni A ile gösterilmiştir.

Malzeme	Örnek no	Elektrot			
		maddesi	cinsi	alanı( $\text{cm}^2$ )	aralığı(cm)
$\text{As}_2\text{Te}_3$	1.1	Ag	A	$1.6 \times 10^{-2}$	$4.9 \times 10^{-2}$
	1.2	Ag	S	13	2.2
	1.3	Au	S	-	1.2
$\text{As}_{20}\text{Se}_{40}\text{Te}_{40}$	2.9	Ag	S	8.4	3.8
	2.11	Ag	A	1.4	4.0
	2.13	Ag	S	-	-
	2.14	Ag	S	-	-
	2.15	Au	S	7.7	4.0
	2.17	Ag	S	2.8	4.0
	2.20	Au	S	21	7.5
	2.24	Ag	S	-	-
	2.25	Ag	S	-	-
$(\text{As}_2\text{Se}_3)_{80}\text{Sb}_{20}$	2.26	Ag	S	8.3	5.3
	3.1	Ag	S	10	4.6
	3.2	Au	S	33	6.5
	3.3	Au	S	16	4.0
	3.4	Au	S	16	6.5
	3.5	Au	S	28	5.3
	3.7	Ag	S	7.2	2.8
	3.8	Ag	S	9.4	3.6
	3.9	Ag	S	5.2	5.0
	3.10	Ag	S	3.3	2.0

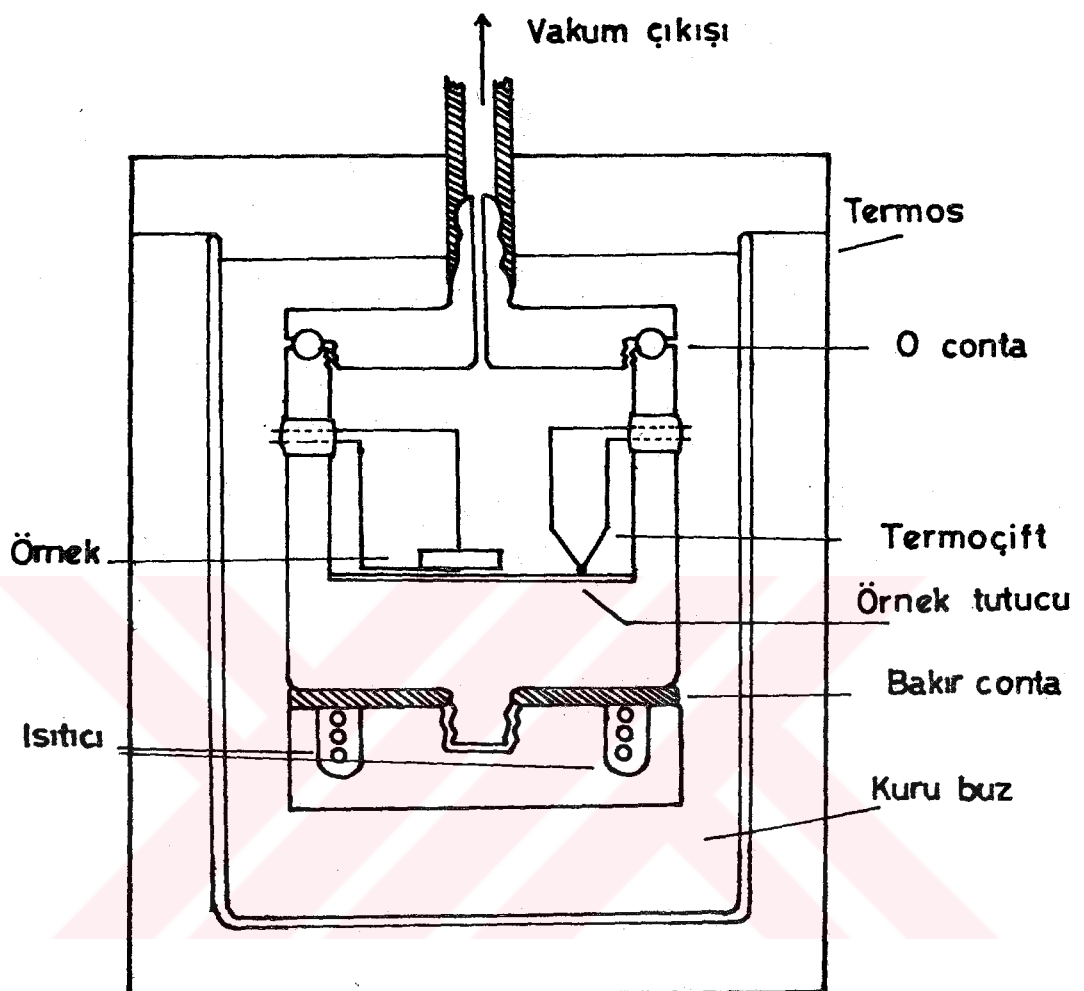
Çizelge 3.4.1 Çalışmada kullanılan hacimli örnekler ve elektrot yapıları. Burada A aralık türü, S sandöviç türü elektrot düzenini; Au altın, Ag gümüşlü boyalı elektrot malzemesini gösterir.

### 3.5 Kriyostat

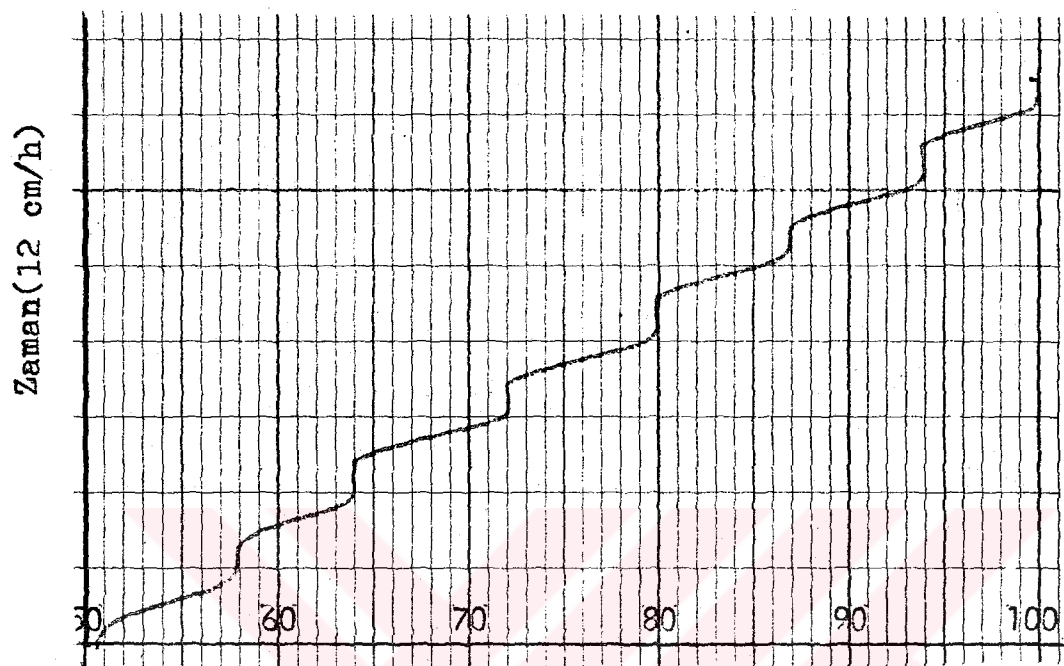
Çalışılan camların iletkenlik özelliklerinin, olabildiği kadar geniş bir sıcaklık aralığında incelenmesi, varylacak sonuçların duyarlılığı yönünden önemlidir. Laboratuvar ve çevre olanaklarına göre ulaşabildiğimiz en düşük sıcaklık, kuru buz (karbondioksit karı) ile sağlanabilen sıcaklığıt ( $-78^{\circ}\text{C}$ ). Üst sıcaklık sınırı ise malzemenin yumuşama sıcaklığına bağlı olarak değişen bir sıcaklık olup en çok  $160^{\circ}\text{C}$  dolayında olmaktadır. Belirtilen bu sıcaklık aralığında ölçü yapabilmek üzere Şek.3.5.1'de gösterilen basit bir kriyostat düşünülmüştür. Pirinç bir parçadan yapılan aracın sıcaklık kontrolü, ısıtıcı yuvasına yerleştirilen 100 Watt'lık bir ısıtıcı ile sağlanır. Isıtıcının metal gövde ile elektriksel izolasyonunu sağlamak için ısıtıcıyı oluşturan direnç teli, porselen boncuklara yerleştirilmiştir.

Kriyostat içindeki sıcaklığı ölçmek için, kromel-alümel termoçift kullanılmıştır. Termoçift ve örneğin metal gövdeye değmesini önlemek için, örnek tutucu diyebileceğimiz 0.2 mm kalınlığındaki mika, kriyostat içine yerleştirilmiştir.

Kriyostat uygun hacimli bir termos içine yerleştirilmiş termos kuru buz ile doldurulursa sistem kısa sürede alçak sıcaklığa ( $\sim -75^{\circ}\text{C}$ ) inebilmektedir. Termoçift uçları, bir yazıcı milivotmetreye ( $x$ -time recorder) bağlandığında örnek tutucunun sıcaklığı  $\pm 0.5^{\circ}\text{C}$  duyarlılıkla okunabilmektedir. Isıtıcıyı besleyen bir d.c kaynağı ile ısıticiden geçen akımı değiştirerek, sıcaklığa istenildiği şekilde kumanدا edilebilmektedir. Yani akımı çoğaltarak sıcaklık yükseltilebilmekte, akımı azaltarak ulaşılan sıcaklıkta sistem uzun süre tutulabilmektedir. Hatta akımı keserek yeniden alçak sıcaklığa dönülebilmektedir. Şek.3.5.2'de, denel çalışma sırasında yazıcı milivoltmetreden elde edilen sıcaklık-zaman karakteristiği görülmektedir. Burada yatay eksen mV cinsinden termoçift gerilimini (dolayısıyla sıcaklığı), düşey eksen zamanı gösterir.



Şek.3.5.1 Kriyostat düzeneği



Şek.3.5.2 Kriyostat düzeneğinde elde edilen sıcaklık-zaman karekteristiği.

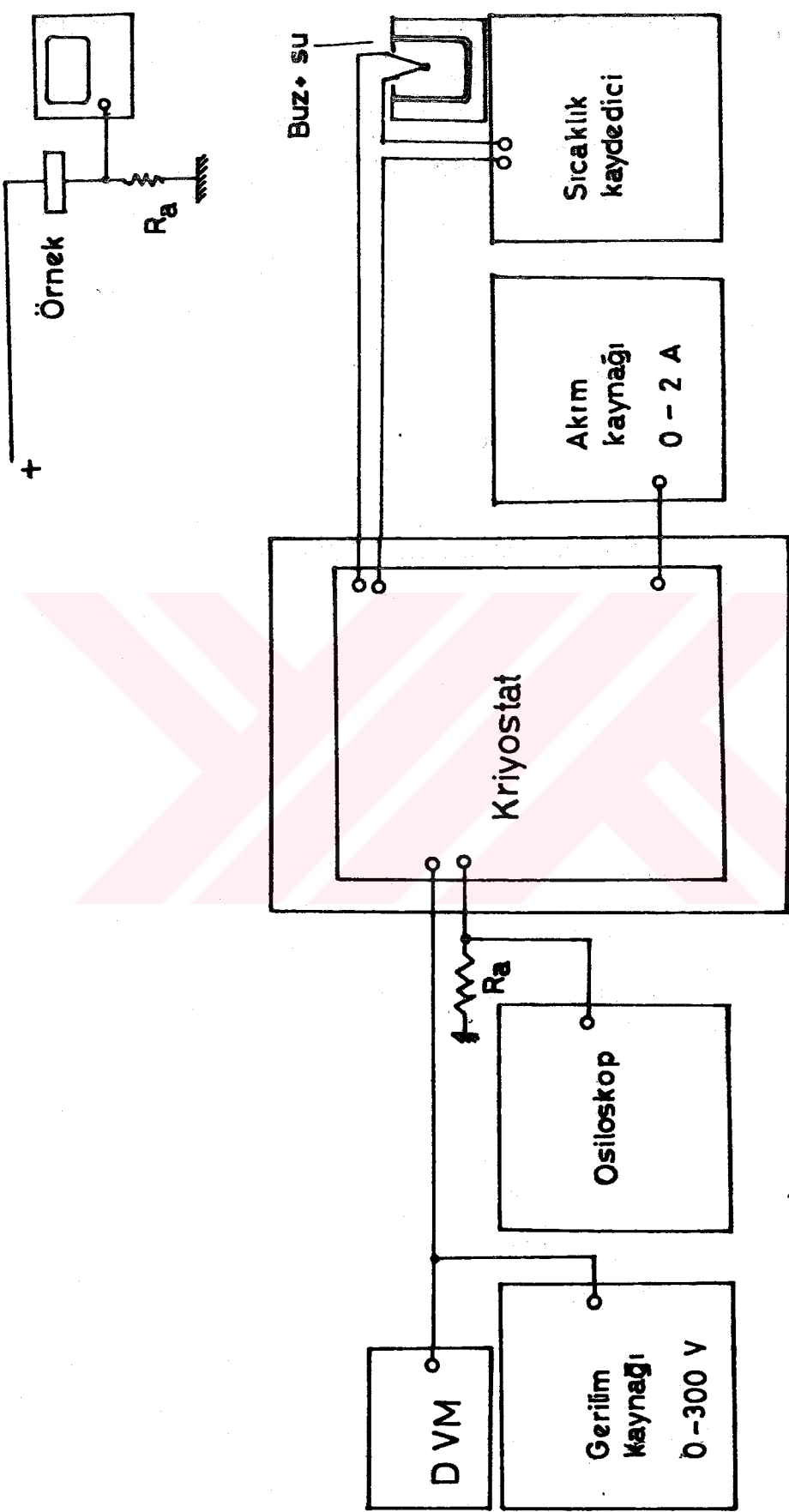
#### 4. DOĞRU AKIM ( D.C ) İLETKENLİĞİ

##### 4.1 Doğru Akım İletkenliğinin Ölçülmesi.

Doğru akım iletkenliğini ölçümede kullandığımız ölçü düzeneği Şek.4.1.1'de gösterilmiştir. Bu düzeneğin karşılığı olan elektrik devresi, aynı şekeil üzerinde ek olarak verilmiştir. Şekilden görülebileceği gibi, örnektten geçen akımı ölçmek için elektrometre kullanılmamıştır. Bunun yerine, bazı araştıracıların<sup>3</sup> kullandığı gibi örneğe seri bağlı bir akım direnci ( $R_a$ ) üzerindeki gerilim düşmesi ölçüle-rek akım dolaylı olarak bulunmuştur. Akım direncinin, bu dirençteki gerilim düşmesini ölçecek aracın giriş impedansından çok küçük tutulması halinde bu yöntemle akım ölçümü önemsenir bir ölçü hatasına neden olmayacağıdır. Çalışmada kullandığımız voltmetrenin giriş impedansı 1 M $\Omega$  olup akım direnci  $\sim 50$  K $\Omega$  veya daha küçük seçilmiştir.

Akım direnci üzerindeki gerilim düşmesini ölçümede 0.01 mV'ye kadar ölçü yapabilen bir yazıcı milivoltmetre (recorder) veya 0.1 mV'ye kadar ölçü yapabilen DVM (digital voltmetre) kullanılmıştır. Örnektten geçen akımın artması Joule ısınmasına neden olduğundan, iletkenliğe bu etkiden bir katkı gelmemesi için bu durumda gerilimin atma (puls) şeklinde uygulanması gerekmistir. Elle kumanda edilen bir anahtarla 50 ms süreli kare atmalar elde edilebilmiştir. Akım direnci üzerinde de atma şeklinde etkisini gösterecek bu gerilim, iz çıkarır (storage) bir osiloskop-la ölçülmüştür.

Çalışılan sıcaklık aralığı, özellikleri incelenen malzemeye göre değişmektedir. Sıcaklık bölgesinin alt sınırı, örnektten geçen akımın ölçülebilme olanağına bağlı bir sıcaklık, üst sınır ise malzemenin tavlanma ve benzeri yapışal bozulmadan etkilenmeyeceği bir sıcaklıktır. Sıcaklığın bu üst sınırını bulmak için her malzemeden alınan birer ham örnek  $10^{\circ}\text{C}$ 'lik aralıklarla gittikçe artan sıcaklıklar da belirli sürelerde (10-15 dakika) tutulmuştur. Daha sonra her defasında örneklerin oda sıcaklığı iletkenlikleri ölçü-



Şek.4.1.1 D.C İletkenliği ölçü düzenegi. Bu düzeneğin karşılığı olan fotoğraf Şek.4.1.2 de verilmiştir.

Şek.4.1.2 de verilmiştir.

Sek.4.1.2 D.C titrəkənliyi ölçü düzəneğinin fotosu

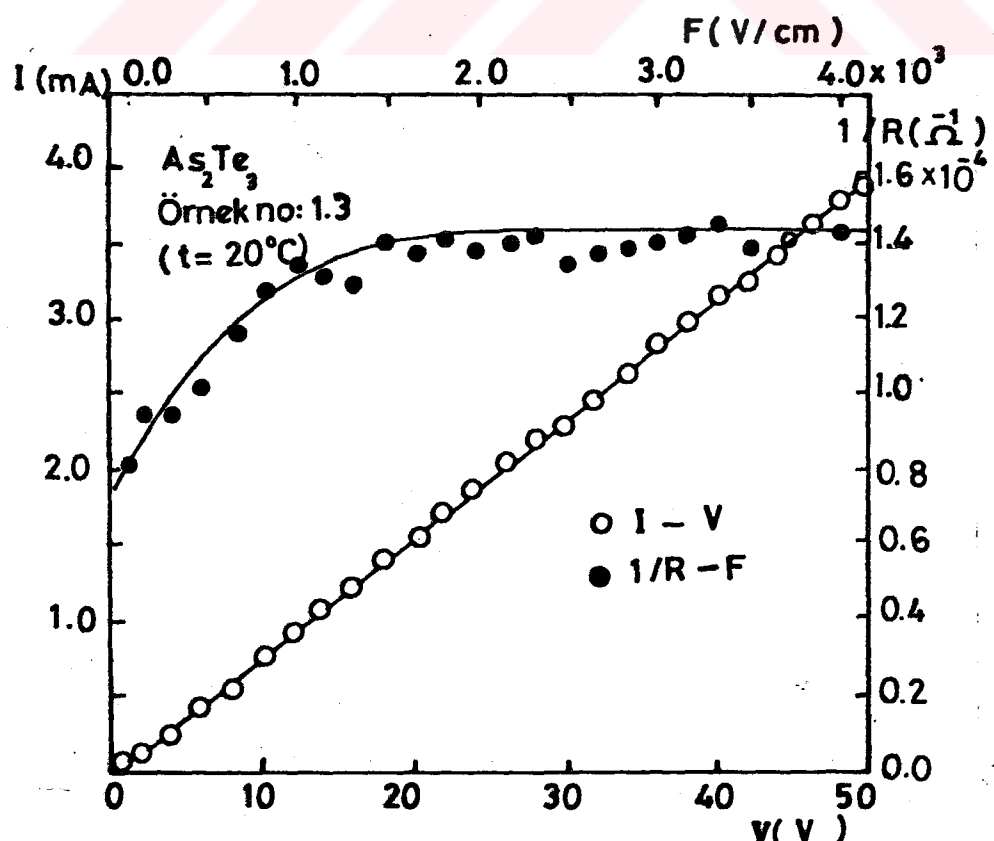


lerek iletkenlikte bir değişmenin olup olmadığı araştırılmıştır. Bu ön denemelere göre  $As_{20}Se_{40}Te_{40}$  ve  $(As_2Se_3)_{80}Sb_{20}$  camları için ölçülerin yapılacak sıcaklık aralıkları sırasıyla, (-75 °C - +100 °C) ve (+30 °C - +160 °C) olarak alınmıştır. Karşılaştırma malzemesi olarak kullanılan  $As_2Te_3$  camı için üst sıcaklık sınırı, literatürden yararlanarak +100 °C seçilmiştir.<sup>38</sup>

Ölçülerin yapılmasında izlenen çalışma sırası şöyledir. Sıcaklık aralığının en alt sınırına inildiğinde sistem bu sıcaklıkta tutularak akım-gerilim karekteristiğini bulmak üzere ölçü alınmıştır. Daha sonra iletkenliğin sıcaklıkla değişimini incelemek için 2-5 °C lik sıcaklık basamakları elde edilerek (Şek.3.5.2) her sıcaklık basamağı için iletkenlik ölçülmüştür.

#### 4.2 Akım-Gerilim Karekteristikleri.

Çalışmamızın konusu olan hacimli halkojenür camlarında elektrot aralığı için sınırlı değerlere (~0.5 mm)

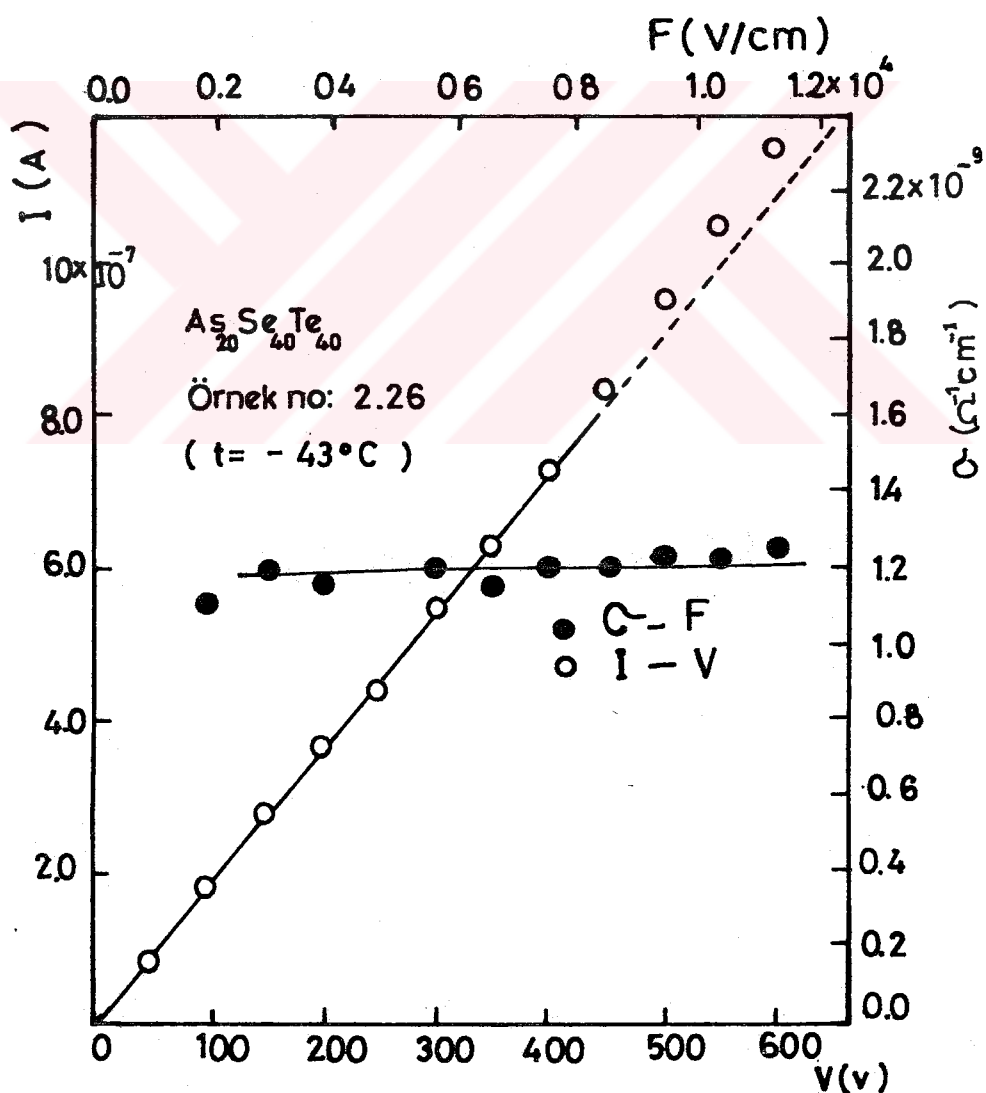


Şek.4.2.1  $As_2Te_3$  camında akımın gerilimle ve  $1/R$

alanla değişimi.

inilebilmektedir. Bu yüzden örneklerde uygulanan alan genellikle  $10^4$  V/cm civarında kalmıştır.

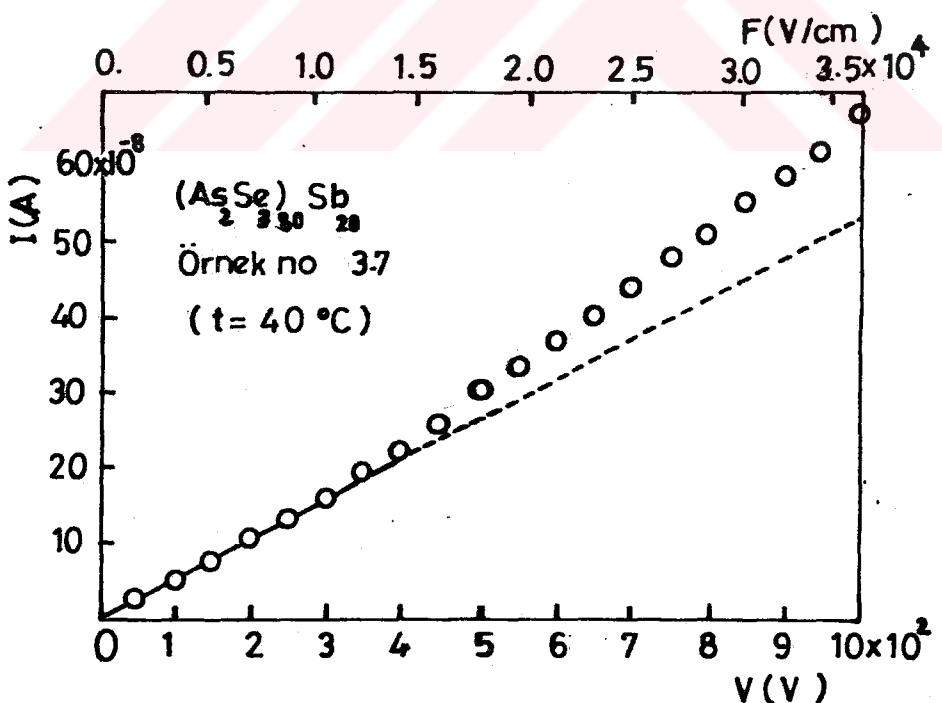
Şek.4.2.1 ve 4.2.2 sırasıyla  $As_2Te_3$  ve  $As_{20}Se_{40}Te_{40}$  camları için akım-gerilim karakteristiklerini ve iletkenliğin (veya  $1/R$  nin) alanla değişimini göstermektedir.  $As_2Te_3$  camında, alanın başlangıç değerlerinde omik olmayan bir davranış vardır. Aynı camla çalışan T. Atalay tarafından da gözlenen bu davranıştan, metal-yarıiletken kontağında oluşan kontak potansiyeli sorumlu tutulmaktadır.<sup>38</sup> Alan  $10^3$  V/cm değerine ulaştığında kontak potansiyeli yenilmekte ve omik davranış başlamaktadır. Grafiğe göre omik olmayan



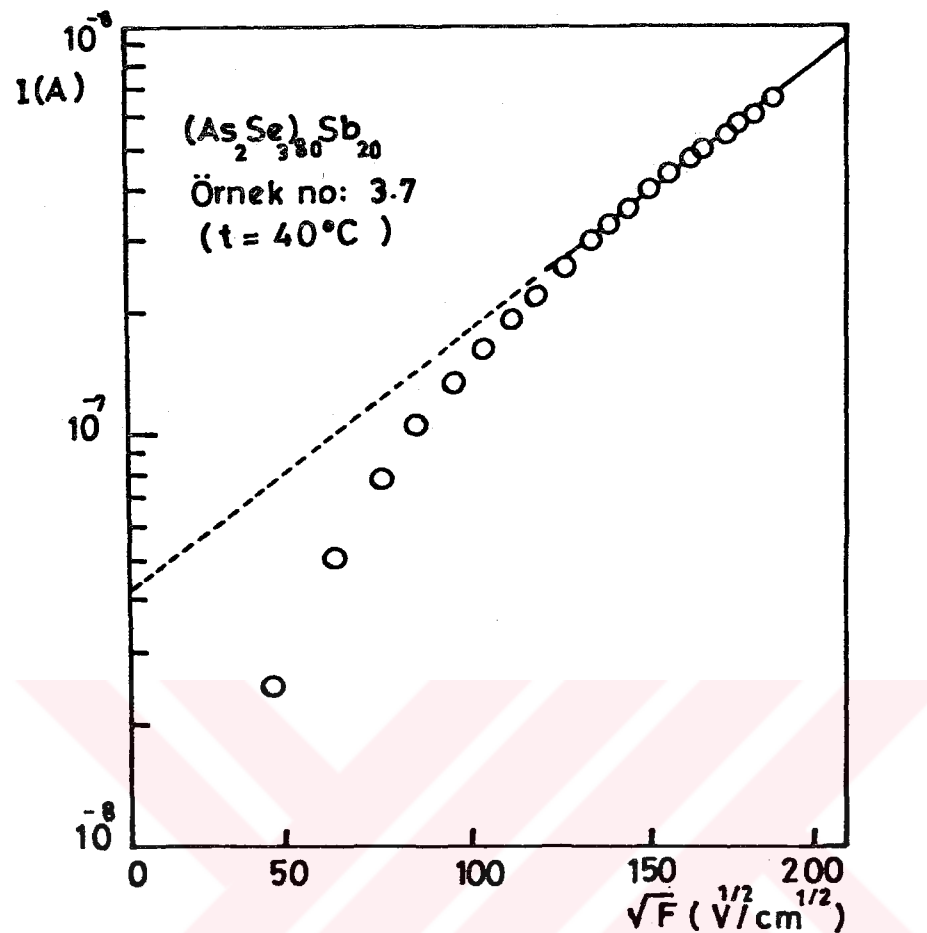
Şek.4.2.2  $As_{20}Se_{40}Te_{40}$  camında akımın gerilimle ve iletkenliğin alanla değişimini.

davranış bu camda ulaşabildiğimiz  $\sim 4 \cdot 10^3$  V/cm'ye kadar değişmemektedir.

$(\text{As}_2\text{Se}_3)_{80}\text{Sb}_{20}$  camına, özdirenci yüksek oluşu nedeniyle öteki iki cama göre daha yüksek alan uygulanabilmiştir. Şek.4.2.3'den görülebileceği gibi alan  $10^4$  V/cm'yi aşlığında omik davranıştan belirgin bir sapma vardır. Omik olmayan davranışın niteliğini inceleyebilmek için aynı verilerle  $\log I - F^{1/2}$  (F alan) grafiği de çizilmiştir (Şek. 4.2.4). Görülebileceği gibi omik olmayan davranışın başladığı ve yüksek alanın başlangıcı diyebileceğimiz bölgede doğrusal bir davranışla karşılaşmaktadır. Kısaca  $I \propto \exp F^{1/2}$  denklemi ile gösterebileceğimiz bu bağıntı, Poole-Frenkel tipi bir akım mekanizması ile açıklanabilir<sup>8</sup>. Bu mekanizmaya göre alan belirli bir değere ulaştığında potansiyel engeli, alan etkisiyle sağlamakta ve böylece elektronun bu tuzaktan kurtulup iletim bandına çıkışma olasılığı artmaktadır. Kuramsal olarak yapılan hesaplar bu olasılığın  $F^{1/2}$  ile orantılı olduğunu göstermektedir<sup>8</sup>.



Şek.4.2.3  $(\text{As}_2\text{Se}_3)_{80}\text{Sb}_{20}$  camında akımın gerilimle değişimi.



Şek. 4.2.4  $(\text{As}_2\text{Se}_3)_{80}\text{Sb}_{20}$  camında akımın  $F^{1/2}$  ile değişimi.

Gerek yüksek alan bölgesinin geniş tutulamaması gerekse bu alan değerinde ( $4 \times 10^4 \text{ V}/\text{cm}$ ) çok sayıda örnek üzerinde ölçü yapılamaması nedenyle, yüksek alan bağımlılığı ayrıntılı bir biçimde tartışılamayacaktır. Zaten yüksek alan bölgesi bu çalışmanın amacı dışındadır. Hacimli halkojenür camlarında yüksek alan bölgesinde ölçü yapabilmek ve nicel bir yüksek alan bağımlılığı bulabilmek için, bizim yapabildiğimizden daha ince örnek elde edilebilecek yeni yöntemler denenmelidir.

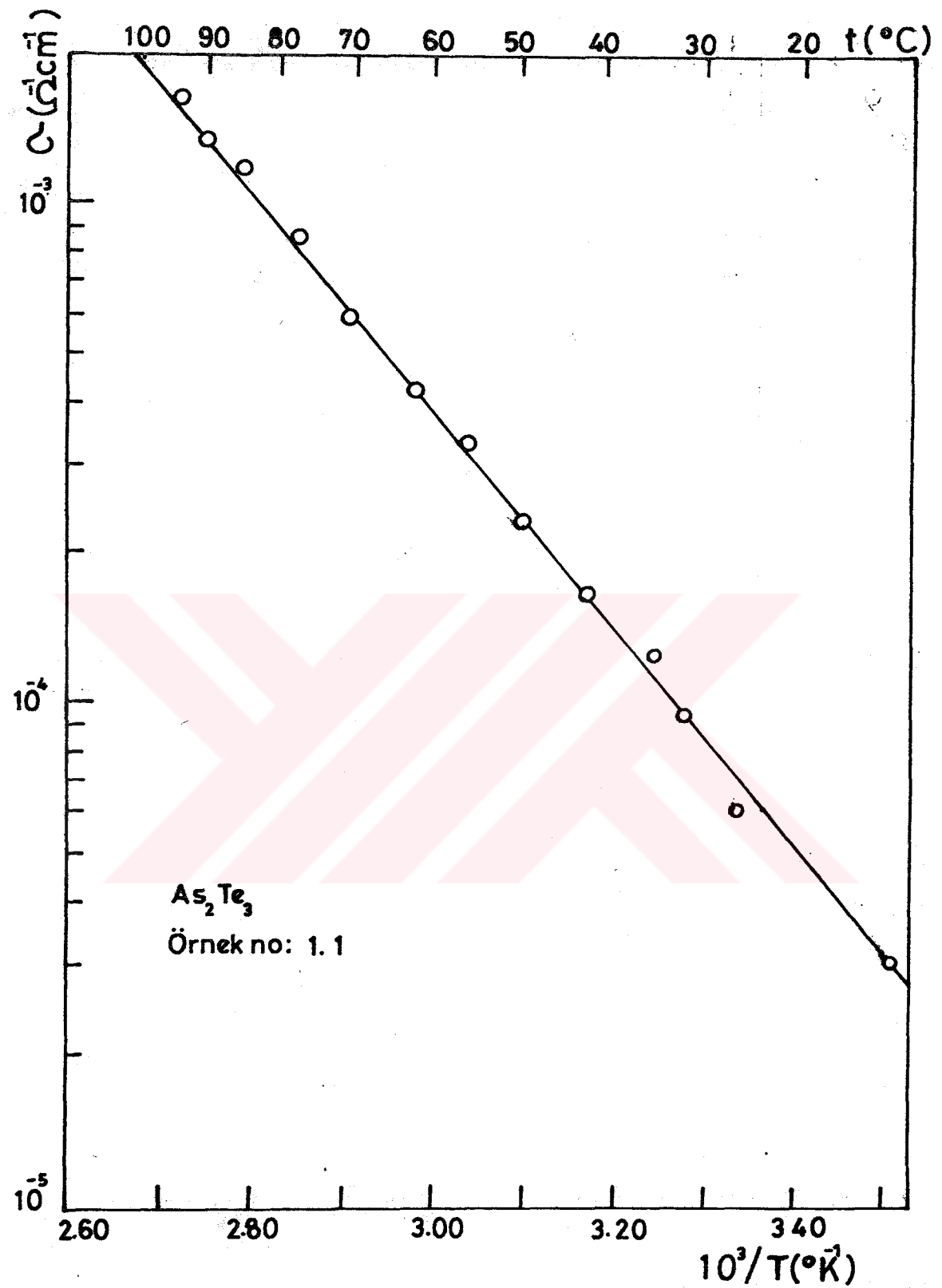
### 4.3 D.C İletkenliğinin Sıcaklıkla Değişimi

#### 4.3.1 Denel Bulgular

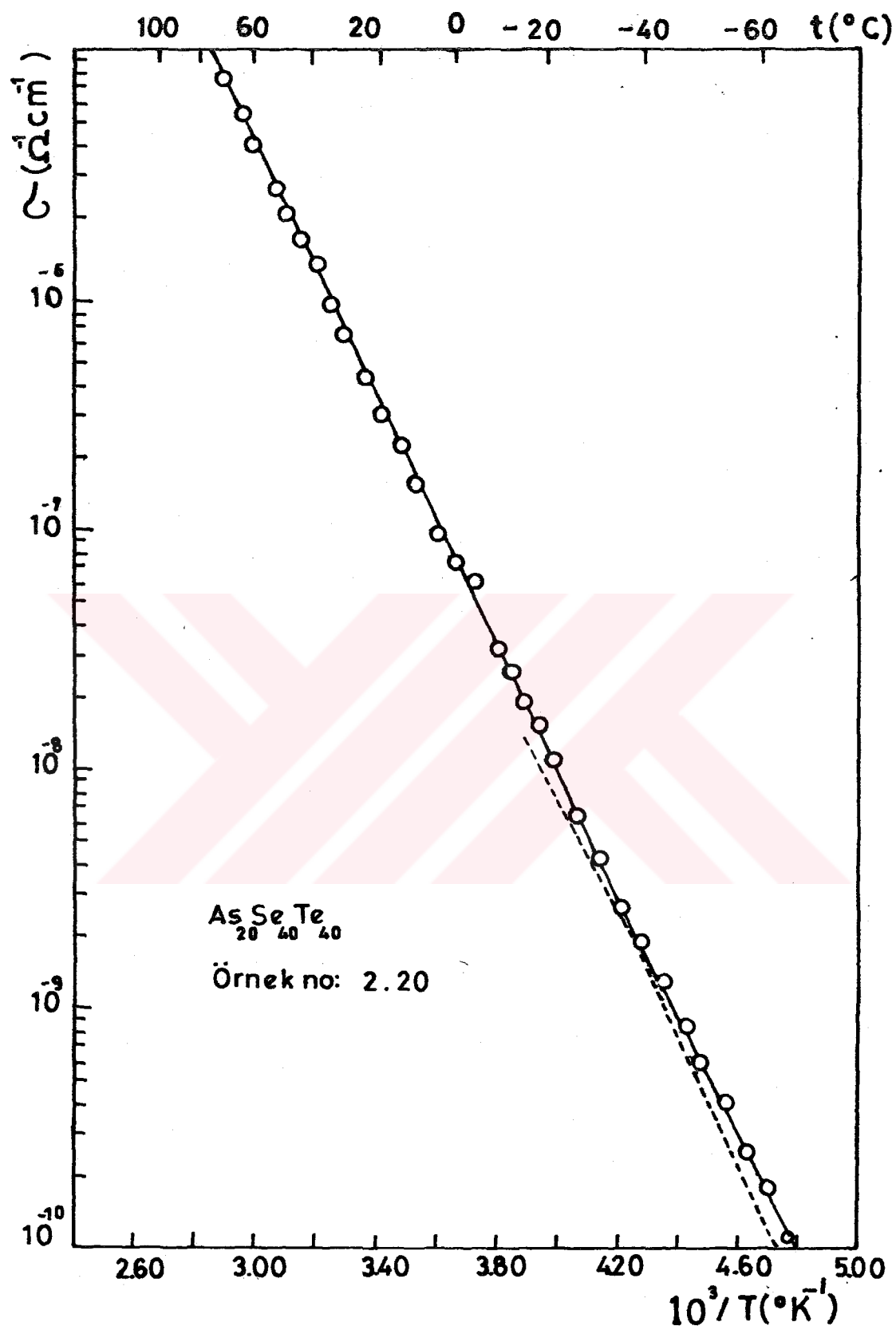
Bölüm 2'de genişçe açıklandığı gibi d.c iletkenliğinin sıcaklıkla değişimi, amorf yarıiletkenlerin iletim mekanizması ve band yapısı konusunda önemli bilgiler verir. Bu önemi nedeniyle ilk kez bu çalışmada kullanılan camların ( $As_{20}Se_{40}Te_{40}$  ve  $(As_2Se_3)_{80}Sb_{20}$ ) iletkenlik parametrelerini daha duyarlı bulabilmek için hem daha çok örnek üzerinde çalışılmış, hem de çalışılan sıcaklık aralığı geniş tutulmuştur ( $\sim 150^{\circ}C$ ). Özellikleri birçok araştırmacı tarafından<sup>8,27,28</sup> incelenen  $As_2Te_3$  camında ise daha az örnek kullanılmış ve  $\sim 80^{\circ}C$ 'lik sıcaklık aralığı yeterli görülmüşdür.

Çalışılan sıcaklık aralığının en alt değerinden en üst değerine çıkılması ile iletkenlikte yaklaşık olarak  $10^6$  katlık bir değişim olmakta böylece örnektен geçen akım da aynı oranda değişmektedir. Bütün sıcaklık aralığı boyunca örneğe aynı alanın uygulanması halinde alçak sıcaklıklardaki akım, ölçü olanağımızı zorlayacak kadar küçük, ( $\sim 10^{-8}A$ ), yüksek sıcaklıklarda ise örnekte ısıl anahtarlanmaya neden olacak kadar büyük ( $\sim 10^{-2}A$ ) olmaktadır. Örnekten daha uygun değerde bir akım geçişini sağlamak için Croitoru'nun<sup>8</sup> ince film  $As_2Te_3$  camında iletkenlik ölçüsü sırasında kullandığı gibi alan değiştirme yöntemi kullanılmıştır. Bu yöntemde göre örneğe, akım-gerilim eğrilenin omik olduğu bölgede kalmak üzere, akımın küçük olduğu sıcaklıklarda yüksek alan uygulanmıştır. Sıcaklık arttıkça iletkenliğe Joule ısınmasından gelebilecek bir etkiyi önlemek için alan hem küçültülmüş hem de atma (puls) şeklinde uygulanmıştır.

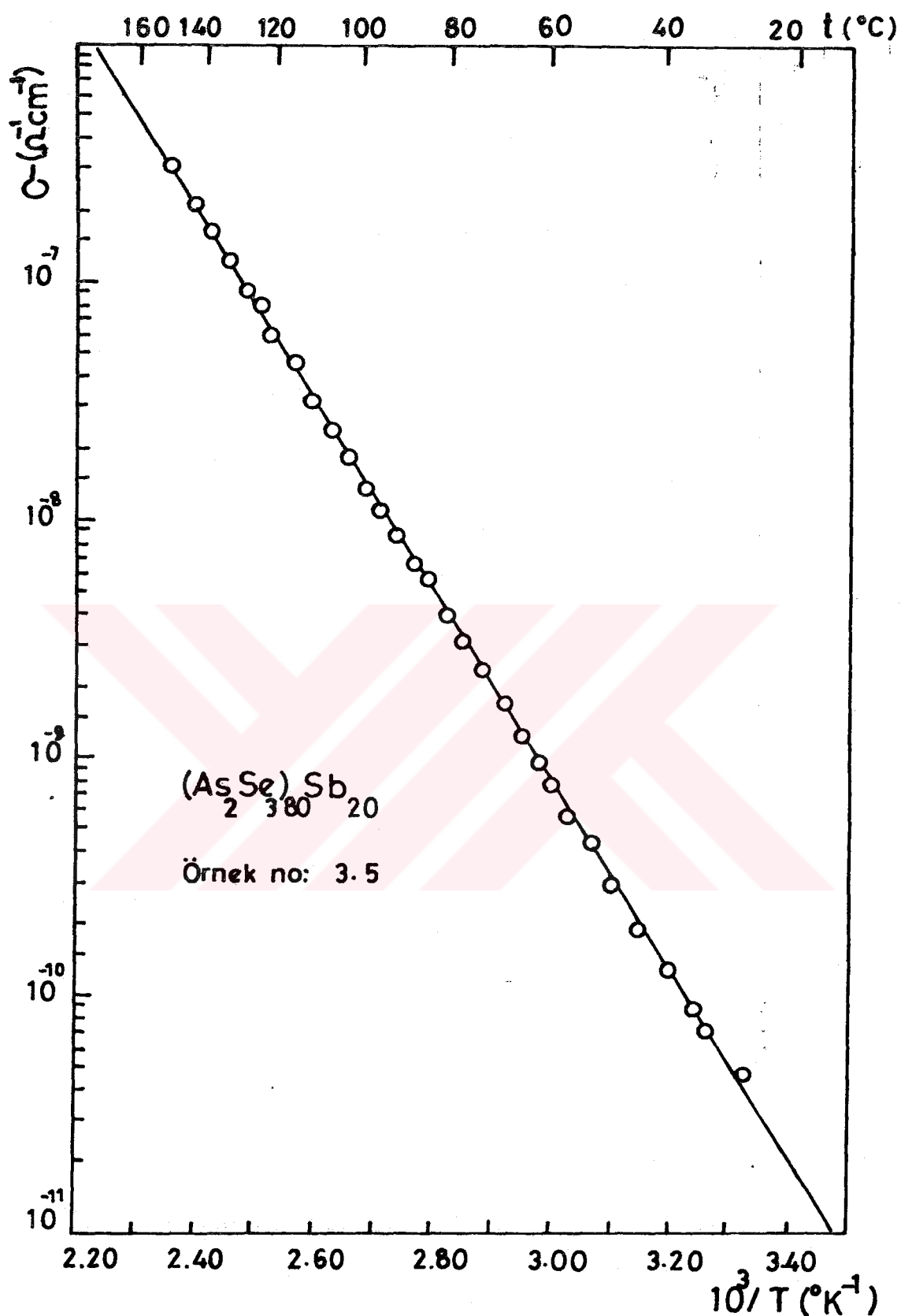
$As_2Te_3$ ,  $As_{20}Se_{40}Te_{40}$  ve  $(As_2Se_3)_{80}Sb_{20}$  camlarının birer örneği için iletkenliğin logaritması ile sıcaklığın tersi arasındaki değişim sırasıyla Şek.4.3.1 4.3.2 ve 4.3.3'de verilmiştir. Çalışılan sıcaklık bölge-



Şek. 4.3.1  $\text{As}_2\text{Te}_3$  camında iletkenliğin sıcaklığa bağımlılığı.



Sek. 4.3.2  $\text{As}_{20}\text{Se}_{40}\text{Te}_{40}$  camında iletkenliğin sıcaklığına bağımlılığı.



Şek. 4.3.3  $(\text{As}_2\text{Se}_3)_{80}\text{Sb}_{20}$  camında iletkenliğin sıcaklığına bağlılığı.

sinin kolaylıkla tanınması için grafiklerin üst eksenlerine  $^{\circ}\text{C}$  cinsinden sıcaklık değerleri de yazılmıştır. Grafiklerden görülebileceği gibi  $\text{As}_{20}\text{Se}_{40}\text{Te}_{40}$  camında  $-40\text{ }^{\circ}\text{C}$ 'nin üzerinde, diğer iki camda ise ölçü alınan sıcaklık aralığı boyunca  $\log \sigma - 1/T$  grafikleri sabit eğimli bir davranış göstermektedir. Grafikleri burada verilmeyen öteki örnekler de bu özelliğe uymaktadır. Kesim 2.4'de özetlendiği gibi bu davranış, amorf yarıiletkenlerin oda sıcaklığı dolaşında gözlenen ortak özelliği olup,

$$\sigma = C \exp (-E/kT) \quad (4.3.1)$$

denklemi ile ifade edilmektedir. Burada E iletkenlik aktivasyon enerjisi, T  $^{\circ}\text{K}$  cinsinden sıcaklık, k Boltzman sabiti,  $C \sim 10^3 \Omega^{-1} \text{cm}^{-1}$  basamağında olan (Şek.2.4.3) bir sabittir. E ve C'nin denel değerleri  $\ln \sigma - 1/T$  grafiğinden bulunabilir (Şek.2.4.1). Bu çalışmada E ve C'nin bulunmasında en küçük kareler yöntemi kullanılmıştır. Çizelge 4.3.1 çalışılan camların tüm örnekleri için bu yöntemle bulunan E ve C parametrelerini ve  $300\text{ }^{\circ}\text{K}$ 'deki iletkenliği göstermektedir.  $(\text{As}_2\text{Se}_3)_{80}\text{Sb}_{20}$  camında bazı örnekler için bu sıcaklıktaki iletkenlik ekstrapolasyonla elde edilmiştir.  $\text{As}_{20}\text{Se}_{40}\text{Te}_{40}$  camında kullandığımız ham örneklerde elektron alanı ve elektron aralığı bilinmediği için bu örneklerde yalnız E değerleri veriletilmiştir. Karşılaştırma yapıldığında görülebileceği gibi, aynı camdan yapılan örneklerde E ve  $\sigma$  değerleri için oldukça iyi bir uyum vardır. C katsayısı için ilk bakışta iyi bir uyumun olmadığı görülmektedir. Fakat bu katsayının değerleri arasındaki farklılık üstel basamakta olmadıkça, iletkenlik mekanizması yorumuna etkisi yönünden değerlendirildiğinde, önemsizdir. C'nin tanımında geçen (Denk.2.4.6) minimum metalik iletkenlik ve sıcaklık katsayısının örneğin hazırlanmış koşullara bağlı oluşu, bu parametre için saha uyumlu değerler bulunamayışımızın nedeni olabilir.

Çalışılan üç camdan en uyumlu sonuçlar, diğerlerine göre iletkenliği daha küçük olan  $(\text{As}_2\text{Se}_3)_{80}\text{Sb}_{20}$  camından yapılan örneklerde görülmektedir. Bu sonuç, Mott'un

Malzeme	Örnek no	E (eV)	C ( $\Omega^{-1}cm^{-1}$ )	$\sigma$ ( $\Omega^{-1}cm^{-1}$ )
$As_2Te_3$	1.1	0.44	1700	$7.4 \times 10^{-5}$
	1.2	0.41	400	5.2
	1.3	0.46	-	-
$As_{20}Se_{40}Te_{40}$	2.9	0.48	146	$7.8 \times 10^{-7}$
	2.11	0.49	154	10
	2.13	0.49	-	-
	2.14	0.50	-	-
	2.15	0.54	950	12
	2.17	0.50	350	11
	2.20	0.51	195	5.1
	2.24	0.49	-	-
	2.25	0.49	-	-
	2.26	0.52	136	3.6
$(As_2Se_3)_{80}Sb_{20}$	3.2	0.80	788	$2.6 \times 10^{-11}$
	3.3	0.82	2540	3.7
	3.4	0.79	626	2.9
	3.5	0.80	845	2.8
	3.7	0.81	1560	3.4
	3.8	0.81	1390	3.6
	3.9	0.79	1390	7.0
	3.10	0.79	796	3.0

Çizelge 4.3.1 Çalışmada kullanılan örneklerde d.c iletkenliği parametreleri.

-mobilite aralığı 1 eV dan büyük olan camların, küçük olan-lara göre daha kararlı olduğu ve kararlı camların hazırlanma koşullarından daha az etkileneceği-şeklindeki görüşünü desteklemektedir.

Çizelge 4.3.1'deki verilerden yararlanarak, çalıştığımız camların d.c iletkenliği parametreleri hesaplanabilir. Bir ortalama işlemiyle bulduğumuz sonuçlar Çizelge 4.3.2'de verilmiştir. Aynı çizelgeye, bu çalışmada kullanılan camlara yakın orandaki camlar için diğer araştırmacıların bulguları da yazılmıştır. Araştırmacıların ile aynı kompozisyonlu olduğu için  $As_2Te_3$  camına ait parametrelerin karşılaştırılması, ölçü düzeneğimizi kontrol bakımından daha anlamlıdır. Çizelgeden görüldüğü gibi E aktivasyon enerjisi, araştırmacılarından  $\pm 0.02$  eV kadar farklıdır. Bu, oldukça iyi bir uyumdur. C ve  $\sigma$  değerlerindeki farklılık önemsenerek oranda değildir. Nagels'e göre, hazırlama koşulları aynı olmadıkça, camlar aynı kompozisyonda olsalar bile iletkenlik parametreleri farklı olabilmektedir.<sup>49</sup> Çünkü söndürme hızının farklı oluşu, düzensizlik derecesine, bu da muhtemelen malzemenin durum yoğunluğu dağılımına etki etmektedir (Şek. 2.1.3 ).

$As_2Te_3$  camı için yaptığımız karşılaştırma göstermektedir ki ölçü sistemi ve ölçü yöntemimizle güvenilir sonuçlar bulunabilmektedir. İlk kez bu çalışmada kullanılan öteki iki cama ait iletkenlik parametrelerinin, araştırmacıların bunlara yakın oranda olan camlardaki bulguları ile tam bir uyum göstermesi beklenemez. Çünkü burada hazırlama koşullarının farklılığına ek olarak yapıda bulunan elementler de aynı oranda değildir. Mott<sup>8</sup> tarafından gösterildiği gibi ikili veya çoklu bir halkojenür sisteminde, yapıda bulunan elementlerin kimyasal oranlarındaki değişimeler iletkenlik parametrelerinin de değişimlerine neden olmaktadır (Şek. 2.4.4).

Malzeme	E ( eV )	C ( $\Omega^{-1} \text{cm}^{-1}$ )	$C_{300^\circ\text{K}} (\Omega^{-1} \text{cm}^{-1})$	Kaynak
As <sub>2</sub> Te <sub>3</sub>	0.44	1050	$6.5 \times 10^{-5}$	+
As <sub>2</sub> Te <sub>3</sub>	0.42	1700	$1.5 \times 10^{-4}$	18
As <sub>2</sub> Te <sub>3</sub>	0.43	532	$3.2 \times 10^{-5}$	38
As <sub>20</sub> Se <sub>40</sub> T <sub>e</sub> 40	0.51	322	$8.2 \times 10^{-7}$	+
As <sub>2</sub> SeTe <sub>2</sub>	0.51	750	$2.0 \times 10^{-6}$	15
As <sub>34</sub> Te <sub>51</sub> Si <sub>15</sub>	0.62	3200	$1.3 \times 10^{-7}$	21
(As <sub>2</sub> Se <sub>3</sub> ) <sub>80</sub> Sb <sub>20</sub>	0.80	1240	$3.6 \times 10^{-11}$	+
As <sub>2</sub> Se <sub>3</sub> Bi <sub>0.1</sub>	0.88	2650	$6.4 \times 10^{-12}$	39

Çizelge 4.3.2 Halkojenür camlarında iletkenlik parametreleri. (+) işaretli olanlar bu galısmadan, döşerlerin röntgenlere kaynaklardan alınmıştır.

#### 4.3.2 Sonuçların Değerlendirilmesi.

Bir önceki kesimde incelediğimiz gibi, hazırladığımız halkojenür camlarında iletkenlik, saf kristal yarıiletkenlerde olduğu gibi sıcaklıkla üstel olarak değişmektedir (Denklem 4.3.1). Amorf yarıiletkenlerde bu davranışın açıklayabilmek için Fermi enerjisinin, mobilite aralığı ortalarında yerleşmiş olduğunu ve bu enerji düzeyi yakınında oldukça yüksek bir durum yoğunluğu bulduğunu kabul etmek gereklidir.<sup>2</sup> Gerçekte, a.c iletkenliği, fotoiletkenlik gibi denel yöntemlerle Fermi enerjisi dolayındaki durum yoğunluğunun varlığı doğrulanabilmekte ve değeri bulunabilmektedir ( Bölüm 5 ).

Amorf yarıiletkenlerde d.c iletkenliği, iki kanallı bir mekanizma ile oluşur. Birincisi, yaygın durumlara uyartılan taşıyıcıların band iletimi, diğer ise mobilite aralığında bulunan yerleşik durumlardaki taşıyıcıların hoplama iletimidir. Bulunulan bir sıcaklıkta genel olarak bu iki iletim türünden biri ötekine baskındır.<sup>8</sup> Yaygın durum iletkenliğinde aktivasyon enerjisi, hoplama iletkenliğine göre daha büyütür (Şek. 2.4.2). Fakat yalnız aktivasyon enerjisine bakılarak baskın olan iletim türü belirlenemez. Bunun yerine, çok güvenilir bir yöntem olmamakla birlikte, C değerlerinden yararlanılır. Çizelge 4.3.2 ye göre çalıştığımız camlarda  $C \sim 10^2 - 10^3 \Omega^{-1} \text{cm}^{-1}$  basamağında bulunmaktadır. C nin bu değerleri iletkenliğin, yaygın durumlara uyartılan taşıyıcılarla sağlandığını gösterir.

$\text{As}_{20}\text{Se}_{40}\text{Te}_{40}$  camının  $\text{Log } \sigma - 1/T$  grafiğinden görüleceği gibi ( Şek. 4.3.2 ), yaklaşık olarak  $-40^\circ\text{C}$  civarında grafikte bir dirsek oluşmaktadır. Bu camdan yapılan diğer örneklerde de aynı davranışla karşılaşılmıştır. Eğimdeki bu değişim, belirtilen sıcaklığın altında  $E' < E$  olan bir aktivasyon enerjisinin bulunduğu yani  $-40^\circ\text{C}$  'nin altında iletim mekanizmasında bir değişim olduğunu gösterir. Bölüm 2 de kuramsal olarak açıklandığı gibi, alçak sıcaklıkta yaygın durum iletkenliğine baskın olan bu iletken-

lik, band kenarlarındaki yerlesik durumlara uyartılan taşıyıcıların ıslı uyarmalı hoplaması ile oluşur. Hoplama iletkenliğinin gözlediği sıcaklık aralığı, bu bölgede nicel bir inceleme yapacak genişlikte değildir ( $\sim 30^{\circ}\text{C}$ ). Yukarıda yüksek sıcaklık iletkenliği için yaptığımız nicel incelemenin alçak sıcaklık bölgesi için de yapılabilmesi için iletkenlik ölçüsü sıvı azot sıcaklığından başlayarak, geniş bir alçak sıcaklık bölgesi için yapılmalıdır.

Halkojenür camları ile ilgili çalışmalar tarandığında özellikle ince film örneklerde, bizim  $\text{As}_{20}\text{Se}_{40}\text{Te}_{40}$  hacimli örneklerde gördüğümüz gibi  $\ln \sigma - 1 / T$  grafiğindeki iki eğimli davranışla yani iki kanallı bir iletkenlik olayı ile karşılaşmaktadır.<sup>21, 22, 40, 41</sup>

Bir malzemede akım taşıyıcılarının (elektron ve boşluk) cinsini bulmak için genellikle termoelektrik güç ölçümelerinden yararlanılır. Halkojenür camları ile çalışan araştırmacılar<sup>18, 21</sup> ikili, üçlü ve çoklu olarak çalıştırıcı bir çok halkojenür camında p tipi termoelektrik güç olduğunu bulmuşlardır. Mott'a göre bu durum, iletim bandı kenarındaki yerlesik durumların, değerlik bandı kenarındaki kilelere göre daha geniş olduğunu ve böylece boşluk (hole) iletiminin baskın olacağını gösterir.<sup>8</sup> O halde çalıştığımız halkojenür camlarının yüksek sıcaklık iletkenliği, alçak alan bölgesinde ( $F \leq 10^4 \text{ V/cm}$ ) kalmak üzere,

$$\sigma = \sigma_0 \exp \left( - \frac{E_F - E_V}{kT} \right) = \sigma_0 \exp(\gamma/k) \cdot \exp(-E_0/kT)$$

şeklinde yazılabilir (Kesim 2.4). Burada ( $E_F - E_V$ ) Fermi enerjisi ile değerlik bandı kenarı arasındaki enerji farkını,  $E_0$  bu enerjinin  $0^{\circ}\text{K}$  sıcaklığına ekstrapole edilmiş değerini,  $\gamma$  ( $E_F - E_V$ ) enerjisinin sıcaklık katsayısını,  $\sigma_0$  minimum metalik iletkenliği gösterir. Böylece denel yoldan bulduğumuz C ve E değerleri sırasıyla  $\sigma_0 \exp(\gamma/k)$  ve  $E_0$  değerlerinin karşılığıdır.

Halkojenür camlarında genel olarak iletkenlik aktivasyon enerjisi malzemenin mobilite aralığının ( $B$ ) yarısından %10-20 kadar küçük olarak bulunmaktadır.<sup>16</sup> Örneğin Main-Owen<sup>18</sup> tarafından  $As_2Te_3$  camında  $B=1.0$  eV (optik sogurmadan),  $E=0.42$  eV (d.c iletkenliğinden) değerleri bulunmuştur. Mott'a göre bu sonuç, Fermi enerjisinin tam mobilite aralığı merkezinde bulunmadığını gösterir. Termoelektrik güç ölçümleri de bu görüşü gerçekleştirmektedir. Bu yüzden bulduğumuz aktivasyon enerjileri ile, çalıştığımız camların mobilite aralığını tam olarak bulamayız. Fakat birçok araştırmacının<sup>42,43</sup> yaptığı gibi  $B > 2xE$  varsayımini benimserek çalıştığımız camların mobilite aralığı için yaklaşık bir değer bulabiliyoruz. Çalıştığımız camların, bu kabule göre hesaplanan  $B$  mobilite aralığı değerleri, Çizelge 4.3.3'de gösterilmistir. A.c iletkenliğinden yararlanarak Fermi enerjisi düzeyindeki durum sayısının bulunmasında (Bölüm 5), bu değerler kullanılacaktır.

Çizelge 4.3.3 Çalışmada kullanılan camların  $B$  mobilite aralığı değerleri

Malzeme	$B$ (eV)
$As_2Te_3$	0.88
$As_{20}Se_{40}Te_{40}$	1.02
$(As_2Se_3)_{80}Sb_{20}$	1.60

## 5. ALTERNATİF AKIM ( A.C ) İLETKENLİĞİ

### 5.1 A.C İletkenliğinin Ölçülmesi

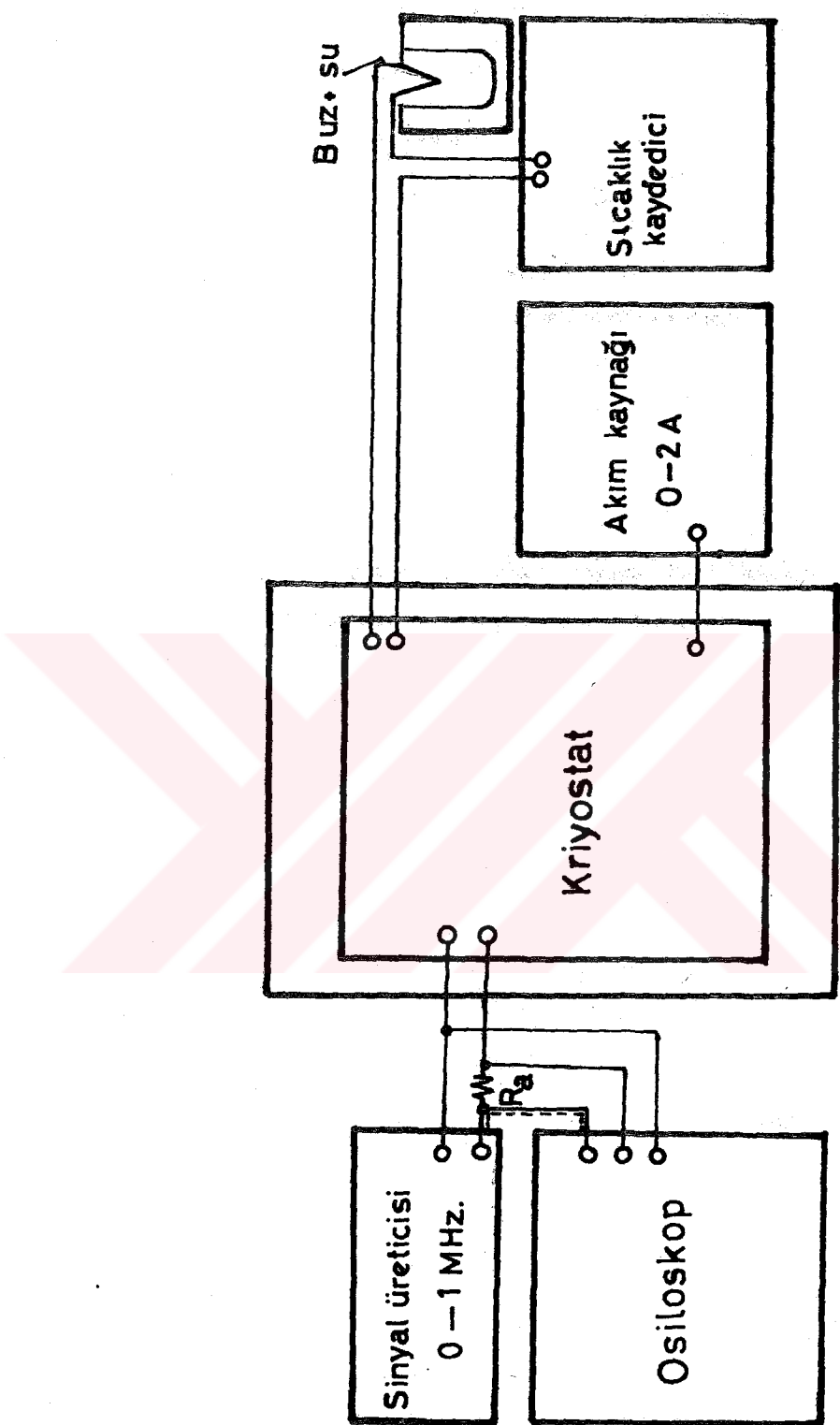
A.c iletkenliğinin ölçülmesinde, çalışılan frekans aralığına göre farklı yöntemler kullanılmaktadır. Alçak frekans bölgesi olarak bilinen  $10^5$  Hz'den küçük frekanslarda köprü tekniği ile ölçü yapılmır. Orta frekans bölgesinde ( $10^5$ - $10^7$  Hz) ise Q metre kullanılmaktadır.  $10^7$  Hz üzerindeki yüksek frekans bölgesinde, frekans aralığının basamaklarına göre özel yöntemler kullanılır.<sup>8</sup>

Üzerine a.c alanı uygulanan bir cam, akımın davranışını yönünden, paralel bir R C devresi gibi düşünülebilir (Şek.5.1.1). Kapasitif koldan geçen akım, iletkenliğin sanal kısmını, direnç kolundan geçen akım da iletkenliğin gerçek (reel) kısmını oluşturur.<sup>9</sup>



Şek.5.1.1 Üzerine a.c alanı uygulanan bir halkoje-nür camı örneğinin karşılığı olan elektrik devresi.

Bu çalışmada a.c iletkenliğinin ölçülmesinde yukarıda belirtilen yöntemlerin yerine yeni bir yöntem denenmiştir. Uyguladığımız bu yöntem, temelde d.c iletkenliğinin ölçülmesinde kullanılan yöntemle aynıdır (Bölüm 4.1'e bakınız). Şek.5.1.2'de görüldüğü gibi burada, d.c kaynağının yerini, 1 MHz'lik bir a.c kaynağı almıştır. Örnektен geçen akım, örneğe seri bağlı bir akım direnci ( $R_a$ ) üzerindeki alternatif gerilimin ölçülmesi ile bulunmuştur. Hem bu direnç üzerinden



Şek.5.1.2 A.C İletkenliği Ölçü Dizeneği

deki hem de örneğe uygulanan gerilim çift kanallı bir osiloskopla ölçülmüştür.

Kullandığımız yöntemin vereceği sonuçların ne derece güvenilir olduğunu görebilmek için ölçü sisteme, örnek yerine, paralel bağlı bir R C devresi konulmuştur( $R = 10^5 \text{ ohm}$ ,  $C = 33 \text{ pF}$ ). 100 KHz frekansa kadar C'nin üzerinde yazılı değeri kullanılarak denel yolla R değerleri ölçülmüş ve bu değerler R'nin bilinen değerleri ile karşılaştırılmıştır. Bulunan sonuçlarımıza göre  $f \leq 10^5 \text{ Hz}$  ve bağlantılar uzun olmamak koşuluyla R değeri  $\sim 15\%$  hata ile ölçülebilmektedir.

Ölçü sistemimizde a.c iletkenliğinin gerçek ve sanal kısımlarının ayrı ayrı ölçülmesi; örneğe uygulanan gerilimle örnekten geçen akım arasındaki faz farkının ölçülmesi ile mümkündür. Deneyde kullandığımız çift kanallı osiloskopla bu ölçü özellikle faz farkının küçük değerleri için güçlükle yapılabilmektedir. Bu nedenle çalışmada, iletkenliğin yalnız gerçek kısmının ölçülmesi amaçlanmıştır. Şek.5.1.1' den kolayca görülebileceği gibi örneğin impedansı

$$Z = R (1 + \omega^2 C^2 R^2)^{-1/2}$$

şeklinde yazılabilir. Dolayısıyla kapasitif direncin omik dirençten büyük olması halinde  $Z \approx R$  olacağı için faz farkı ölçüsü yapmadan iletkenliğin gerçek kısmı bulunabilir. Çalıştığımız örneklerin sığaları oldukça küçüktür( $\sim 10^{-12} \text{ F}$ ). Halkojenür camlarında dielektrik katsayısı frekans arttıkça küçülmekte<sup>12</sup> ve  $\sim 100^\circ\text{C}$ 'lik bir aralıkta sıcaklıkla çok az ( $\sim 4\%$ ) değişmektedir.<sup>14</sup> Böylece, R sıcaklığa üstel bağımlılık gösterdiği için, kapasitif direncin omik dirençten küçük olduğu bir sıcaklık bölgesi bulmak mümkündür. Çalışmamızda bu bölgenin kontrolü( $R < 1/\omega C$ ), osiloskop üzerinde akım ve gerilim sinyallerinin faz farkı gözlenerek yapılmıştır.

## 5.2 İletkenliğin Frekansa Bağımlılığı

5.1 Kesiminde açıklanan koşullarda  $As_{20}Se_{40}Te_{40}$  ve  $(As_2Se_3)_{80}Sb_{20}$  camlarına ait 10 örnek için iletkenliğin frekansla değişimi incelenmiştir.  $As_2Te_3$  camında ise, oda sıcaklığı dolayında ve çalıştığımız alçak frekans bölgesinde frekansa bağımlı bir iletkenlik davranışları gözlenmemiştir. Rockstad'ın deney sonuçlarına göre ince film  $As_2Te_3$  örneklerinde oda sıcaklığında,  $10^5$  Hz'den sonra frekansa bağlı bir iletkenlik davranışları gözlenmiştir.<sup>45</sup>

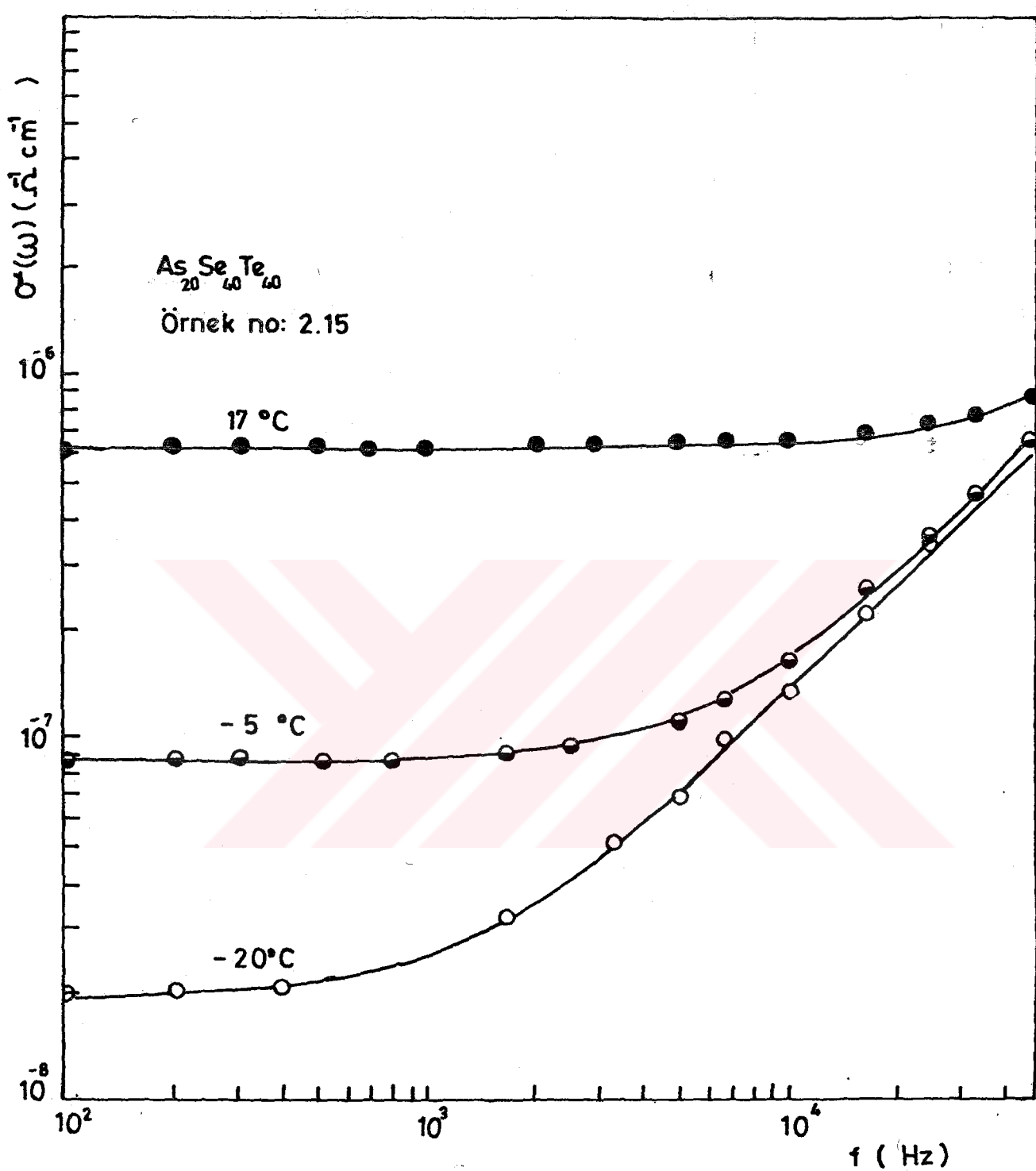
Şek.5.2.1 ve 5.2.2 sırasıyla  $As_{20}Se_{40}Te_{40}$  ve  $(As_2Se_3)_{80}Sb_{20}$  camlarına ait birer örnek için, şekil üzerinde belirtilen sıcaklıklarda, iletkenliğin frekansla değişimi gösterilmiştir. İki şekil karşılaştırıldığında görülebileceği gibi frekansa bağımlılık her iki cam için aynıdır. Bir önceki kesimde açıklandığı gibi, ölçü yöntemi omik direncin kapasitif dirençten küçük olduğu sıcaklık aralığında kullanılmaktedir. Bu yüzden, oda sıcaklığı direncinin büyük oluşu nedeniyle,  $(As_2Se_3)_{80}Sb_{20}$  camında ölçüler genellikle  $80^{\circ}C$ 'nin üzerindeki sıcaklıklarda alınmıştır.

Farklı sıcaklıklarda iletkenliğin frekansla değişimi gösteren Şek.5.2.1 ve 5.2.2'deki eğriler şu belirgin özelliklerini taşımaktadır:

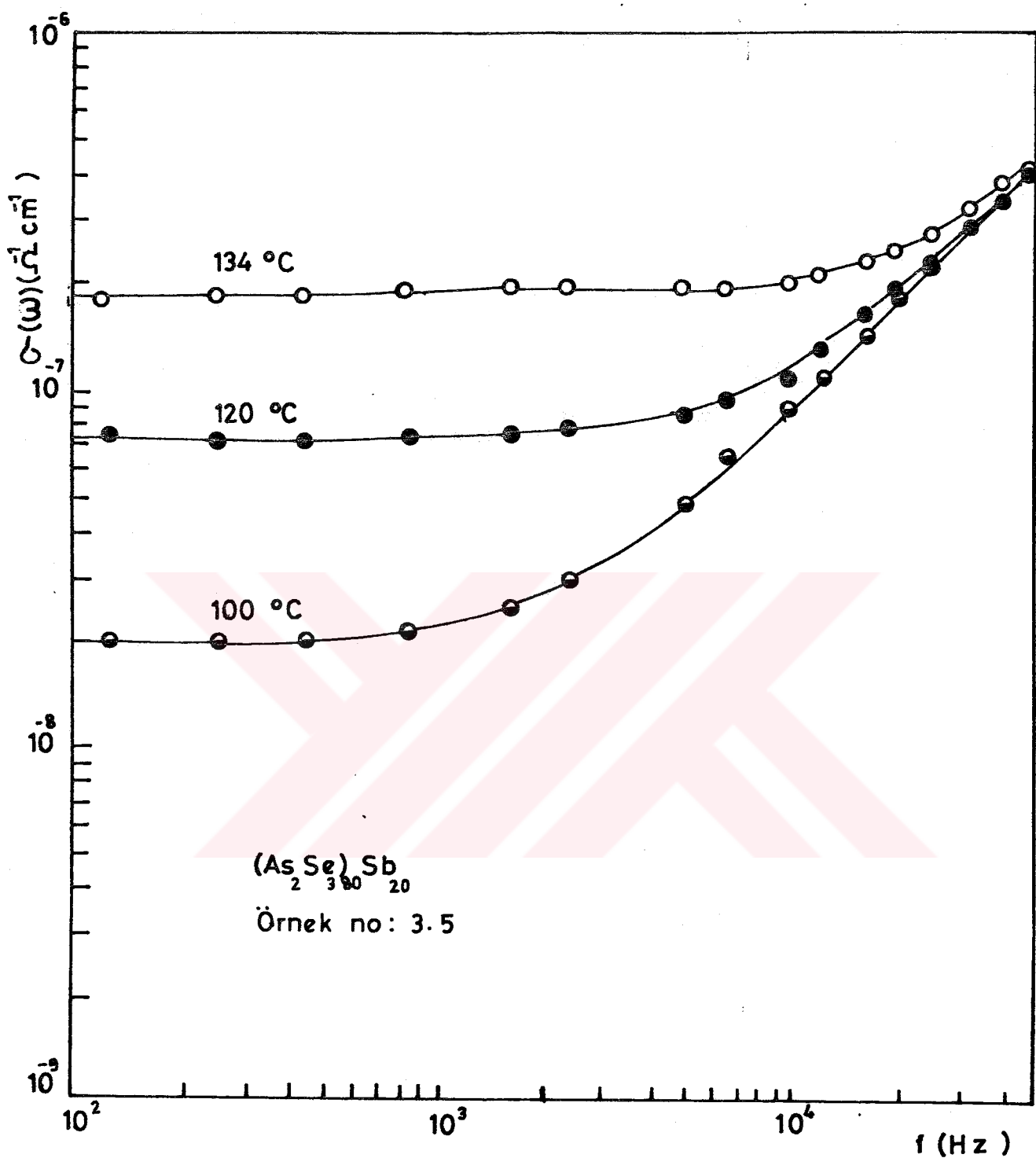
1. Alçak frekanslarda iletkenlik frekansla değişmemektedir. Frekansın artması ile tedrici olarak frekansa bağımlılık başlamaktadır.

2. Sıcaklığın azalması ile, yüksek frekanslardaki lineer bağımlılık aynı kalmak üzere, frekansa bağımlılık daha küçük frekanslara doğru kaymaktadır.

3. İki camın eğrileri birbirine benzemektedir. Fakat  $(As_2Se_3)_{80}Sb_{20}$  camında frekansa bağımlılık öteki cam'a göre daha alçak frekanslara kaymıştır. Bu farklılık, iki



Şek.5.2.1  $\text{As}_{20}\text{Se}_{40}\text{Te}_{40}$  camında iletkenliğin  
 frekansla değişimi.



Şek.5.2.2  $(\text{As}_2\text{Se}_3)_{80}\text{Sb}_{20}$  camında iletkenliğin  
 frekansla değişimi.

camın aynı sıcaklıktaki özdirençlerinin farklı oluşundan ileri gelir.

Çalışılan diğer örneklerde de geçerli olan bu bulgularımız, Owen ve Robertson'un<sup>12</sup> hacimli halkojenür camları ( $\text{As}_2\text{Se}_3$ ,  $\text{As}_2\text{S}_3$ ) için buldukları sonuçlarla iyi uyuşmaktadır

Şek.5.2.1 ve 5.2.2'de görülen karakteristiklerin yukarıda sıraladığımız genel özelliklerine göre, ölçülen  $\sigma(\omega)$  iletkenliği, frekansa bağlı olmayan bir  $\sigma_{dc}$  bileşeni ile frekansa bağlı  $\sigma_{ac}$  bileşeninin toplamı olarak düşünülebilir:

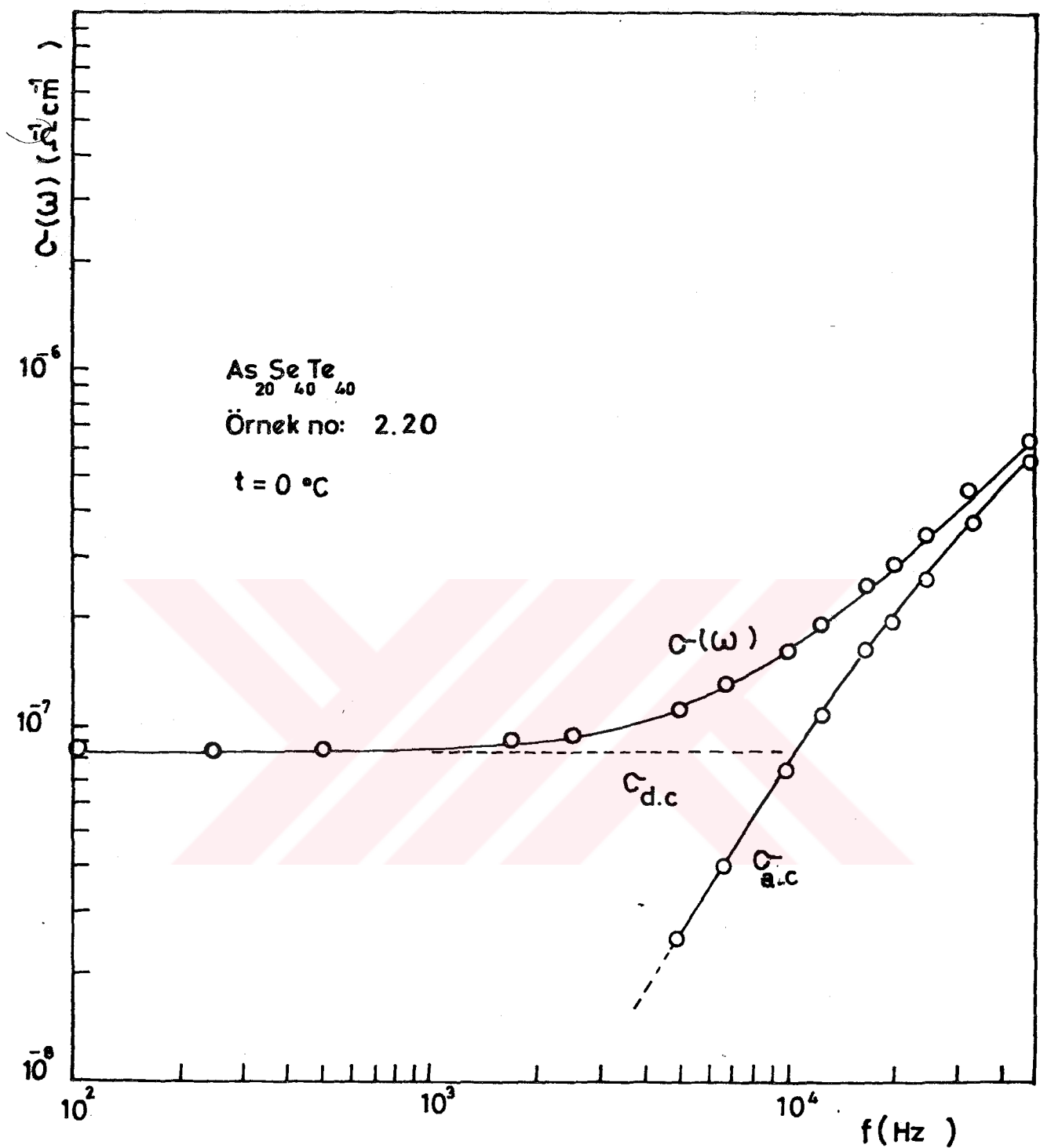
$$\sigma(\omega) = \sigma_{ac} + \sigma_{dc} \quad (5.2.1)$$

Bu ifade, çalıştığımız halkojenür camlarında birbirinden farklı iki iletkenlik mekanizmasının bulunduğu gösterir. İletkenliğin d.c bileşeni, yaygın durumlara uyartılan taşıyıcılardan ileri gelir. Şek.5.2.1 ve 5.2.2'den görülebileceği gibi alçak frekanslarda bu bileşen toplam iletkenliğe baskın olmaktadır. İletkenliğin öteki bileşeni ise üst frekans bölgesinde,  $0.8 \leq s \leq 1$  olmak üzere

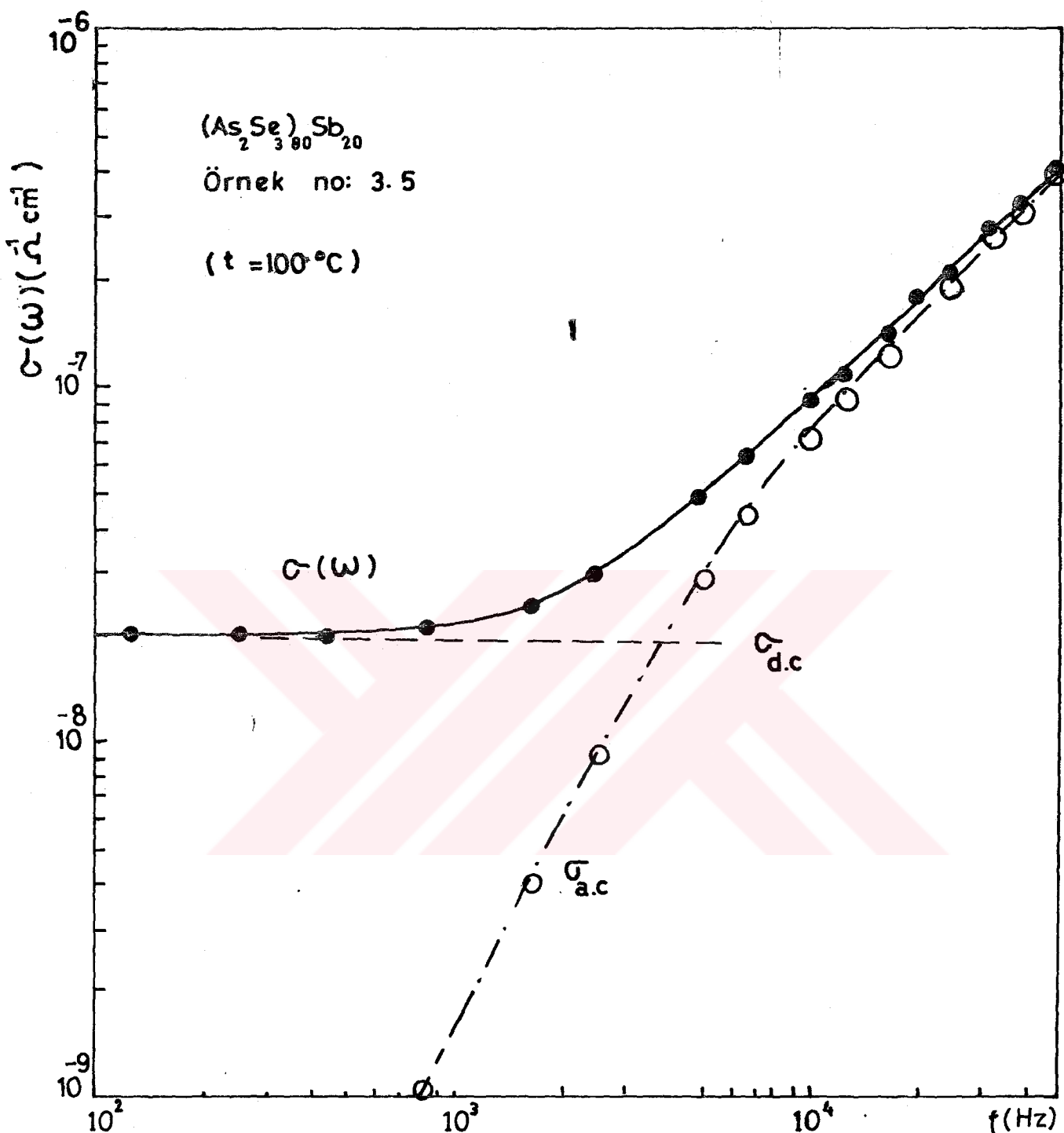
$$\sigma_{ac} \propto \omega^s \quad (5.2.2)$$

şeklinde bir frekans bağımlılığı göstermektedir. Burada  $\omega$  uygulanan alanın açısal frekansıdır.

İletkenliğin d.c ve a.c bileşenlerini daha ayrıntılı inceleyebilmek amacıyla Şek.5.2.3 ve 5.2.4' de iki camera birer örnek için iletkenliğin frekansla değişimi gösterilmiştir. Aynı şekiller üzerinde, toplam iletkenliği oluşturan bileşenlerin bulunusları da açıklanmıştır. Her iki şeilden görülebileceği gibi, uygulanan alanın alçak frekanslarında  $\sigma_{ac}$  bileşeni doğrusallıkta sapma göstermektedir. Bize bu durum  $\omega^s$  ( $s \leq 1$ ) davranışının çıkarılmasında yapılan  $W_M \gg W_0$  varsayıminin bozulmasından ileri gelir. Burada



Şek.5.2.3  $\text{As}_{20}\text{Se}_{40}\text{Te}_{40}$  camında iletkenliğin a.c  
 ve d.c bileşenlerine ayrılması



Şek.5.2.4  $(\text{As}_2\text{Se}_3)_{80}\text{Sb}_{20}$  camında iletkenliğin a.c  
 ve d.c bileşenlerine ayrılması.

$$W_M = B$$

$$W_0 = -kT \cdot \ln(\omega \tau_0)$$

dir. Her iki cam için alçak alan d.c iletkenliğinden bulduğumuz B değerleri ile deney koşullarındaki  $W_0$  değerlerini karşılaştırırsak;  $\omega = 10^3 \text{ s}^{-1}$ ,  $\tau_0 = 10^{13} \text{ s}$  olmak üzere  $W_0/B$  oranı  $\text{As}_{20}\text{Se}_{40}\text{Te}_{40}$  camı için 0.6 ( $T = 300 \text{ }^\circ\text{K}$ ),  $(\text{As}_2\text{Se}_3)_{80}\text{Sb}_{20}$  camı için 0.8 ( $T = 380 \text{ }^\circ\text{K}$ ) bulunur. Bu sonuçlar, frekans azaldıkça  $\omega^s$  davranışının bozulması konusundaki görüşümüzü desteklemektedir (Kesim 2.5.2).

### 5.3 Sonuçların Değerlendirilmesi

Bulduğumuz deney sonuçlarının, Bölüm 2'de verilen a.c iletkenliği modellerine uygulanması yararlı olacaktır. Bu amaç için Çizelge 5.3.1'de s frekans üssünün denel yoldan bulduğumuz değerleri ile QMT ve CBH modellerinden beklenen değerleri verilmiştir. Aynı çizelgede, a.c iletkenliğinin ölçülen değerleri ve bu değerlerin kullanılması ile QMT modelinden beklenen  $N(E_F)$  durum yoğunluğu ve CBH modelinden beklenen N durum konsantrasyonu değerleri de verilmiştir. Çizelgeye baktığımızda şu noktalar göze çarpmaktadır.

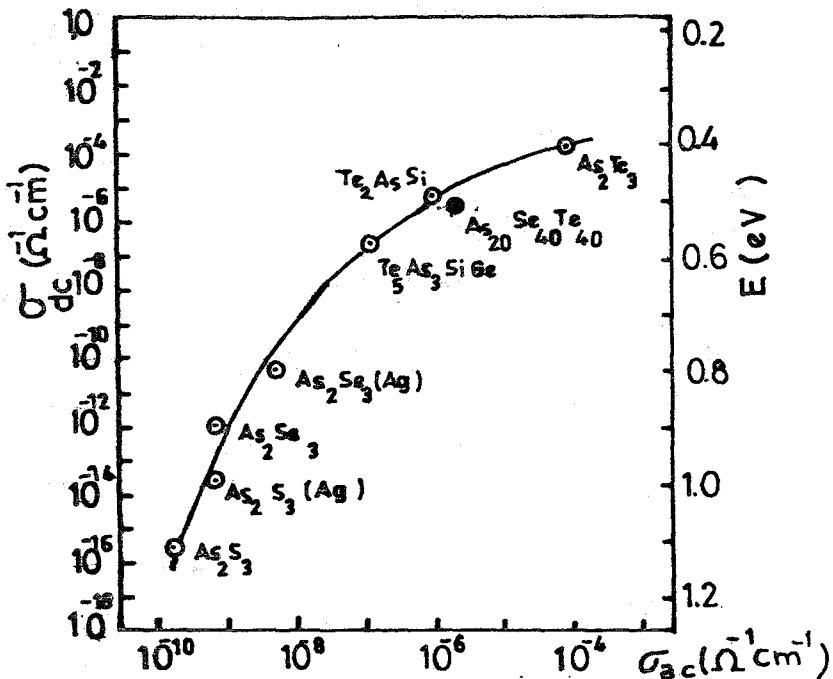
1. Genel olarak  $s \sim 0.9$  dolayındadır. Bu değerler QMT modelinden beklenen değerlere göre büyük, CBH modelinden beklenen değerlere ise daha yakındır.

2. Daha yüksek sıcaklıklarda ölçü alınmasına rağmen  $(\text{As}_2\text{Se}_3)_{80}\text{Sb}_{20}$  camında a.c iletkenliği öteki cam'a göre daha küçütür. Yani  $\sigma_{ac}$ , malzemenin mobilite aralığına bağımlı göstermektedir.

3. Denel yoldan bulduğumuz;  $s$ ,  $\sigma_{ac}$ ,  $N(E_F)$ , N parametreleri araştırmacıların diğer halkojenür camlarındaki sonuçlarıyla iyi uyuşmaktadır.

Malzeme	$T$ (°K)	S		$\sigma_{ac} (10^4 \text{ Hz})$	$N(E_F) (\text{QMT})$	$N$ (CBH)	
		Deneysel	QMT	CBH	( $\Omega^{-1} \text{cm}^{-1}$ )	( $\text{eV}^{-1} \text{cm}^{-3}$ )	( $\text{cm}^{-3}$ )
$\text{As}_{20}\text{Se}_{40}\text{Te}_{40}$	2.15	263	0.92	0.79	0.86	$1.5 \times 10^{-7}$	$3.9 \times 10^{19}$
	2.20	276	0.90	0.79	0.86	0.7	2.7
	2.23	278	0.80	0.79	0.86	8.3	5.1
	2.26	284	0.88	0.79	0.85	1.1	1.7
						3.2	0.6
$(\text{As}_{20}\text{Se}_{30}\text{Sb}_{50})$	3.3	395	-	0.79	0.87	$5.6 \times 10^{-8}$	1.9
	3.4	392	0.92	0.79	0.87	5.2	2.2
	3.5	386	0.87	0.79	0.88	6.4	2.1
	3.7	385	0.90	0.79	0.88	9.0	2.5
	3.8	383	0.90	0.79	0.88	9.2	2.8
	3.9	385	0.90	0.79	0.88	10	2.5
						2.6	2.9
$\text{As}_2\text{Te}_3$ (45)	300	0.75	0.75	0.81	$1.0 \times 10^{-4}$	$4.4 \times 10^{20}$	$2.2 \times 10^{19}$
$\text{As}_2\text{Se}_3$ (34)	300	0.92	0.75	0.91	$8.0 \times 10^{-10}$	$1.3 \times 10^{18}$	$6.3 \times 10^{18}$

Çizelge 5.3.1 A.C flotkenliği parametreleri.  $\text{As}_2\text{Te}_3$  ve  $\text{As}_2\text{Se}_3$  camları için veriler gösterilen kaynaklardan alınmıştır.



Şek.5.3.1 Halkojenür camlarında d.c, a.c iletkenliği ( $\omega = 10^6 \text{ s}^{-1}$ ) ve iletkenlik aktivasyon enerjisinin değişimi. ○ Kaynak 15'den, ● bu çalışmadan alınmıştır.

Davis-Mott tarafından, bir çok halkojenür camı üzerinde yapılan denel bir araştırmada, d.c iletkenliği, a.c iletkenliği ve iletkenlik aktivasyon enerjisi ( $\sim B/2$ ) arasında Şek.5.3.1'de görülen ilişki bulunmuş fakat bu ilişkinin nicel bir açıklaması yapılamamıştır. A.c iletkenliği ile mobilite aralığı arasında bir bağıntının olmasını gerektiren bu denel sonuç, Elliott<sup>29</sup> tarafından elde edilen 2.5.15 Denklemi ile açıklanabilmektedir (Kesim 2.5'e bakınız). Bu çalışmada kullandığımız  $\text{As}_{20}\text{Se}_{40}\text{Te}_{40}$  camının da bu ilişkiye uyduğu görülmektedir. Bu durum, bu camdaki a.c iletkenliği davranışının CBH modeli ile açıklanabildiğini gösterir.  $(\text{As}_2\text{Se}_3)_{80}\text{Sb}_{20}$  camında ölçüler ancak  $100^\circ\text{C}$  dolayında alınabilmiştir. Bu cama ait iletkenlik parametrelerinin, diğer camların bulunduğu koşullara ( $T=300^\circ\text{K}$ ,  $\omega = 10^6 \text{ s}^{-1}$ ) ekstrapole edilmesiyle bulunan sonuçlar grafiğe geçirildiğinde çizgi üzerinde beklenen bölgeye düşmemektedir. Bu sonuç, CBH modelinin yüksek sıcaklık bölgesinde iyi sonuç vermediğini gösterir.

## 6. TAVLAMA İŞLEMİNİN İLETKENLİK ÖZELLİKLERİNE ETKİSİ

### 6.1 Giriş

Bölüm 2'de özetlendiği gibi, camlar kararsız bir yapıya sahiptir. Kararsızlık derecesi, camın hazırlanışındaki soğutma hızına bağlıdır (Şek. 2.1.1). Aynı zamanda cam,  $T_g$  cam geçiş sıcaklığına yakın sıcaklıklarda bekletildiğinde kararsız bir yapıdan kararlı bir yapıya geçme eğilimi gösterir. Bu yüzden, tavlama etkisinde bırakılması halinde, malzemenin fiziksel özelliklerinde ve iletkenlik davranışında değişme olması beklenir. Dolayısıyla, tavlanmış ve tavlanmamış bir camın iletkenliklerinin ölçülerek bunların karşılaştırılması ve birlikte değerlendirilmesi bu malzemeden iletkenlik mekanizması hakkında ek bilgiler edinmemizi sağlayacaktır.

### 6.2 Denel İşlem

Tavlama işlemi, camların yumuşama sıcaklığının altında yapılmıştır. Bu sıcaklığı bulmak için her camdan alınan birer ham örnek  $10^{\circ}\text{C}$ 'lik sıcaklık basamaklarında ( $100, 110, 120\dots$  gibi) belirli sürelerde ( $10-15$  dakika) tutulmuştur. Bu süre sonunda örnekler havada soğutularak oda sıcaklığında dirençleri ölçülmüş ve bu ölçü yardımı ile malzemenin yarıiletken davranışını koruyup korumadığı kontrol edilmiştir. Yapılan bu ön denemeye göre  $\text{As}_{20}\text{Se}_{40}\text{Te}_{40}$  camının  $\sim 160^{\circ}\text{C}$ ,  $(\text{As}_2\text{Se}_3)_{80}\text{Sb}_{20}$  camının ise  $\sim 250^{\circ}\text{C}$  dolayında yarıiletken özelliğini yitirmeye başladığı gözlenmiştir. Beklenmeyen bir kristalleşme etkisi ile karşılaşmamak için tavlama sıcaklıkları bu iki cam için sırasıyla ( $100 - 140^{\circ}\text{C}$ ) ve ( $200 - 230^{\circ}\text{C}$ ) olarak seçilmiştir. Kristalleşmeye çok yatkın oluşu nedeniyle (d.c iletkenliğinde bir karşılaştırma malzemesi olarak kullandığımız)  $\text{As}_2\text{Te}_3$  camına tavlama işlemi uygulanamamıştır.

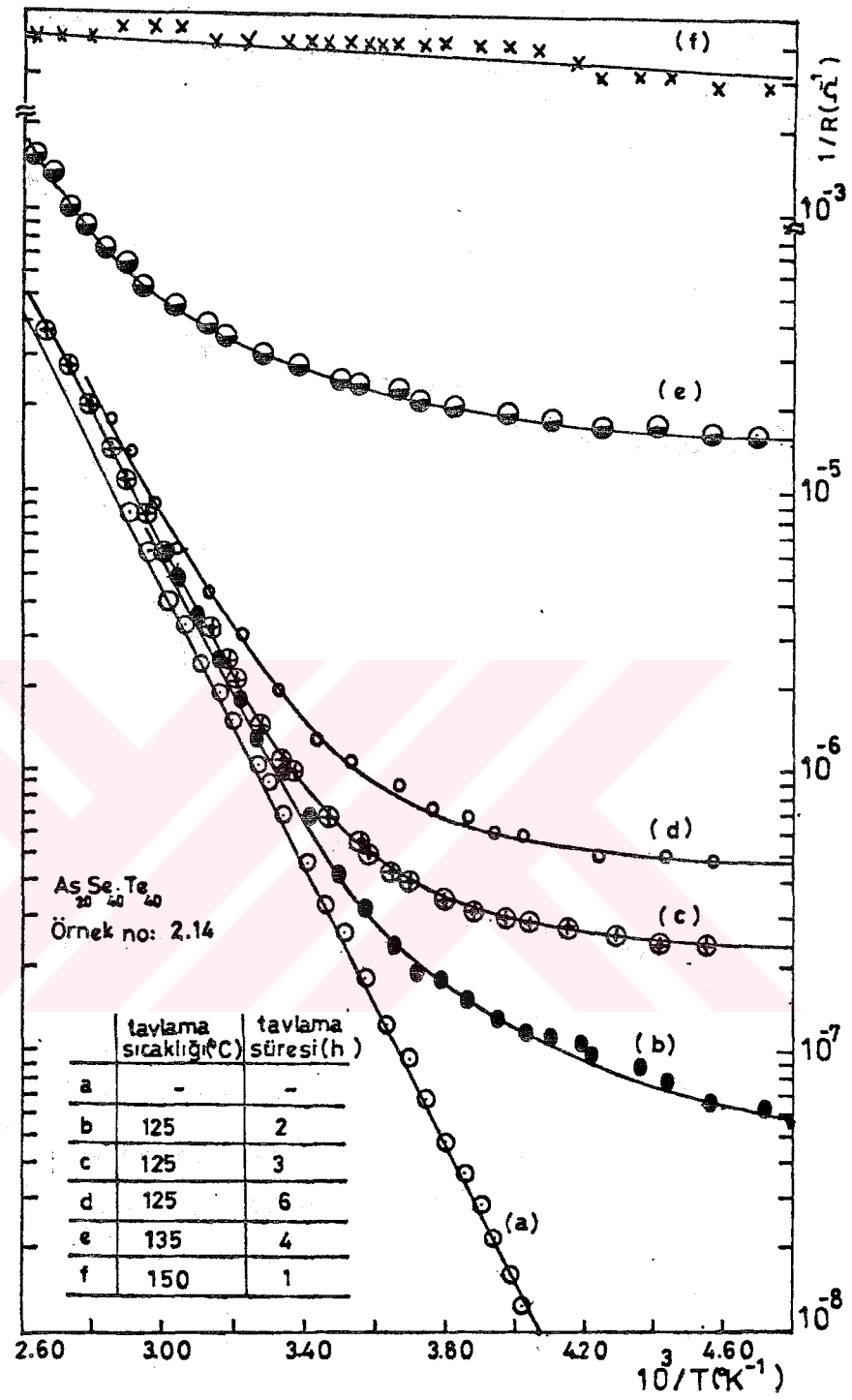
Tavlama işlemi için, iletkenlik özellikleri çalışılan örnekler, içinde azot gazı bulunan küçük bir pireks kaba

yerleştirilerek  $+5^{\circ}\text{C}$  sıcaklık kontrollü bir fırında ısıtılmıştır. Belirli bir sıcaklıkta ve sürede tavlanan örnekler bu süre sonunda oda sıcaklığında soğutulmuştur. Daha sonra, tavlanmış örneğin, d.c akım iletkenliğinin sıcaklıklı değişimi geniş bir sıcaklık aralığında ( $\sim 120^{\circ}\text{C}$ ) incelenmiş ve bu işlem ardışık olarak sürdürülmüştür. Isıl çevrim denilen bu işlemle tavlama işleminin d.c iletkenliğine etkisi incelenmiştir.

Tavlama işleminin, malzemenin yapısına etkisini araştırmak için; tavlanmamış, tavlanmış ve aşırı tavlanmış birer ham örneğin, toz haline getirildikten sonra JDX - 8 P Xışını difraktometresi (M.T.A X-ray laboratuvarı) ile kırınım desenleri elde edilmiştir. Bu desenler ve yorumları Kesimalım 6.4'de incelenecektir.

### 6.3 Denel Bulgular

Şek.6.3.1, 2.14 ( $\text{As}_{20}\text{Se}_{40}\text{Te}_{40}$ ) örneği için ardışık tavlama işlemi ile elde edilen  $\log(1/R) - 1/T$  eğrilerini göstermektedir. Her eğrinin karşılığı olan tavlama süresi ve sıcaklığı şekildekilerde belirtilmiştir. Diğer örneklerle de buna yakın ardışık tavlama eğrileri elde edilmiştir. Şekilden açıkça görüldüğü gibi tavlanmamış örnek ölçü yapılan sıcaklık aralığı boyunca, sıcaklığa üstel bağımlı bir iletkenlik (asal iletkenlik) göstermektedir. İlk tavlama işlemi sonunda örneğin iletkenliği, yüksek sıcaklıkta bu davranışa uygun fakat sıcaklık azaldıkça asal iletkenliğin yerini, asal olmayan (extrinsic) iletkenlik almaktadır. Tavlama süresinin artması ile, asal iletkenliğin gözlendiği sıcaklık aralığı azalmakta ve her ardışık tavlama sonucunda alçak sıcaklıklarındaki iletkenlik artmaktadır. Bu artış, belirli bir tavlama süresinde doyuma ulaşmaktadır. Şek.6.3.1'de (d) eğrisi  $125^{\circ}\text{C}$  lik tavlama sıcaklığı için doyum durumudur. Ardışık tavlamaya daha yüksek sıcaklıkta devam edilmesi halinde, (e) eğrisinden görüldüğü gibi, iletkenlikte daha büyük artış olmakta ve buna paralel olarak asal iletkenlik bölgesi iyice daralmaktadır.



Şek.6.3.1 As<sub>20</sub>Se<sub>40</sub>Te<sub>40</sub> camında ardışık tavlama eğrileri.

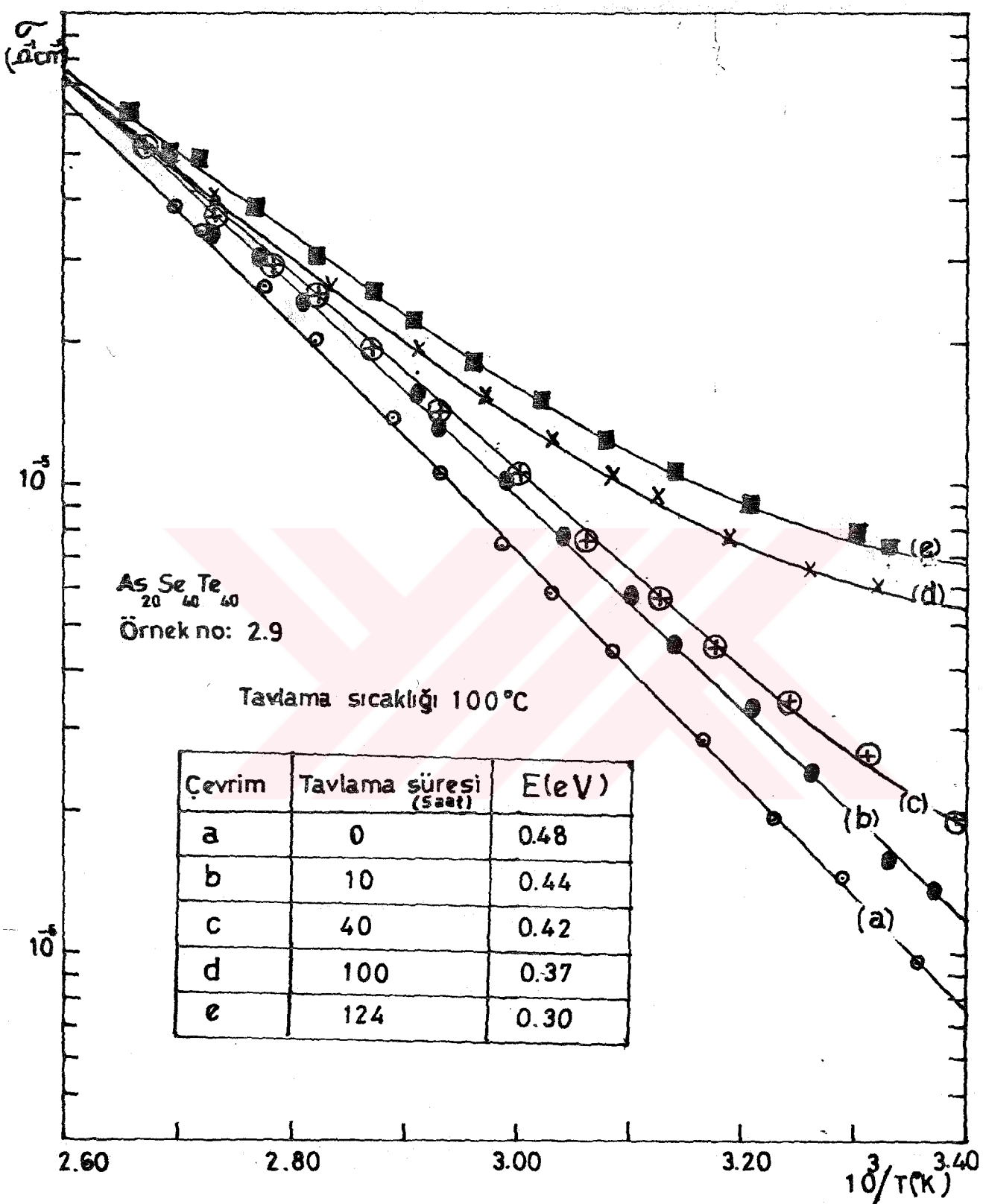
Şekildeki (f) eğrisi ise yaklaşık olarak yumuşama sıcaklığında tavlamanın karşılığıdır. Görüldüğü gibi bu durumda malzeme artık yarıiletken davranışını iyice yitirmiştir ve oda sıcaklığı iletkenliği ilk durumuna göre  $\sim 10^4$  kat artmıştır.

Ardışık tavlama işleminin, iletkenlik aktivasyon enerjisine etkisini daha iyi gözleyebilmek amacıyla, aynı camdan yapılan 2.9 nolu örneğin oda sıcaklığı üzerindeki ardışık tavlama eğrileri elde edilmiştir. Şek.6.3.2'den görüldüğü gibi tavlama süresi arttıkça E aktivasyon enerjisi azalmakta, iletkenlik ise artmaktadır.

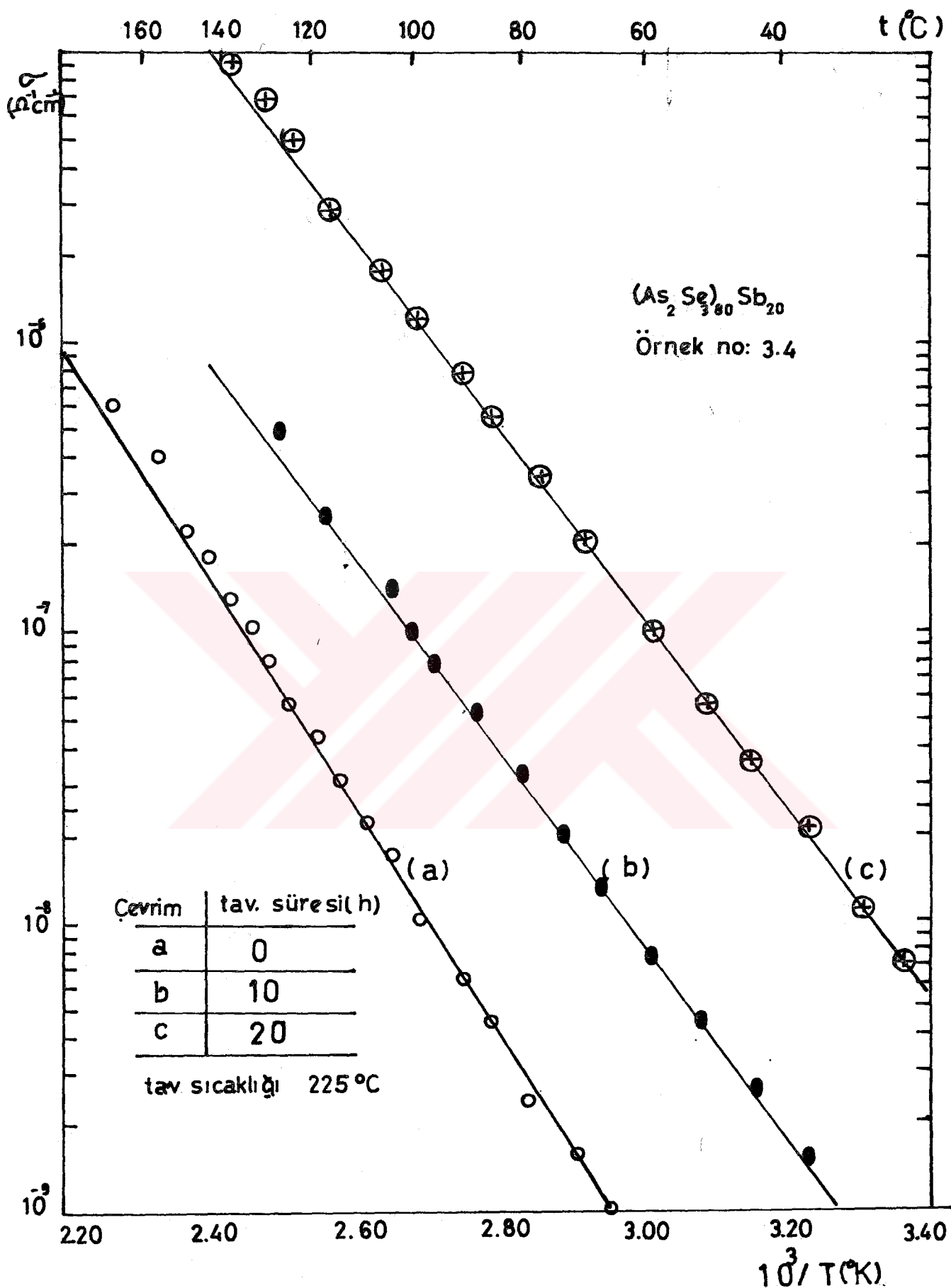
$(\text{As}_2\text{Se}_3)_{80}\text{Sb}_{20}$  camında ardışık tavlama işlemi, d.c iletkenliğine, diğer cama göre daha yüksek tavlama sıcaklıkları için ( $\sim 225^\circ\text{C}$ ) etkili olmaktadır. Bu durum, malzemenin diğer cama göre daha kararlı bir yapıda olduğunu gösterir. Bu camdan yapılan 3.4 nolu örneğin ardışık tavlama eğrileri, Şek. 6.3.3'de gösterilmiştir. Şek.6.3.1 ile karşılaşıldığında görülebileceği gibi iletkenlikte 10 katlık bir artışa neden olan ardışık tavlama işleminden sonra oda sıcaklığı üzerindeki asal iletkenlik davranışını korunmaktadır. Bu camda, direncinin yüksek oluşu nedeniyle, oda sıcaklığı altında iletkenlik ölçüsü yapılamamıştır. Bazı örneklerde uzun tavlama süresinden sonra (20 saat) oda sıcaklığına inildikçe, diğer camda olduğu gibi, asal iletkenlikten asal olmayan iletkenliğe geçişin olduğu gözlenmiştir.

Çizelge 6.3.1, bazı örneklerin tavlama sonrası ve öncesindeki d.c iletkenliği oranlarını göstermektedir. Çizelgeye göre, tavlama işlemi genel olarak d.c iletkenliğinde bir artışa neden olmaktadır. Fakat aynı koşullarda tavlanan örneklerde, iletkenlikteki artış oranı aynı olmamaktadır. Bizce bu durum, tavlama öncesinde örneklerin kararlılık yönünden özdeş olmayışıından gelir.

Tavlama işleminin a.c iletkenliğine etkisini görebilmek için, tavlanmış örneklerin iletkenliklerinin frekansla değişimi incelenmiştir. Şek.6.3.4 ve 6.3.5 sırasıyla  $\text{As}_{20}\text{Se}_{40}\text{Te}_{40}$  ve  $(\text{As}_2\text{Se}_3)_{80}\text{Sb}_{20}$  camlarının  $\log(\omega)-f$  eğrilerini göstermek-



Şek. 5.3.2 Ardışık tavlama işleminin aktivasyon enerjisine etkisi.



Şek.6.3.3  $(\text{As}_2\text{Se}_3)_{80}\text{Sb}_{20}$  camında ardışık tavlama eğrileri.

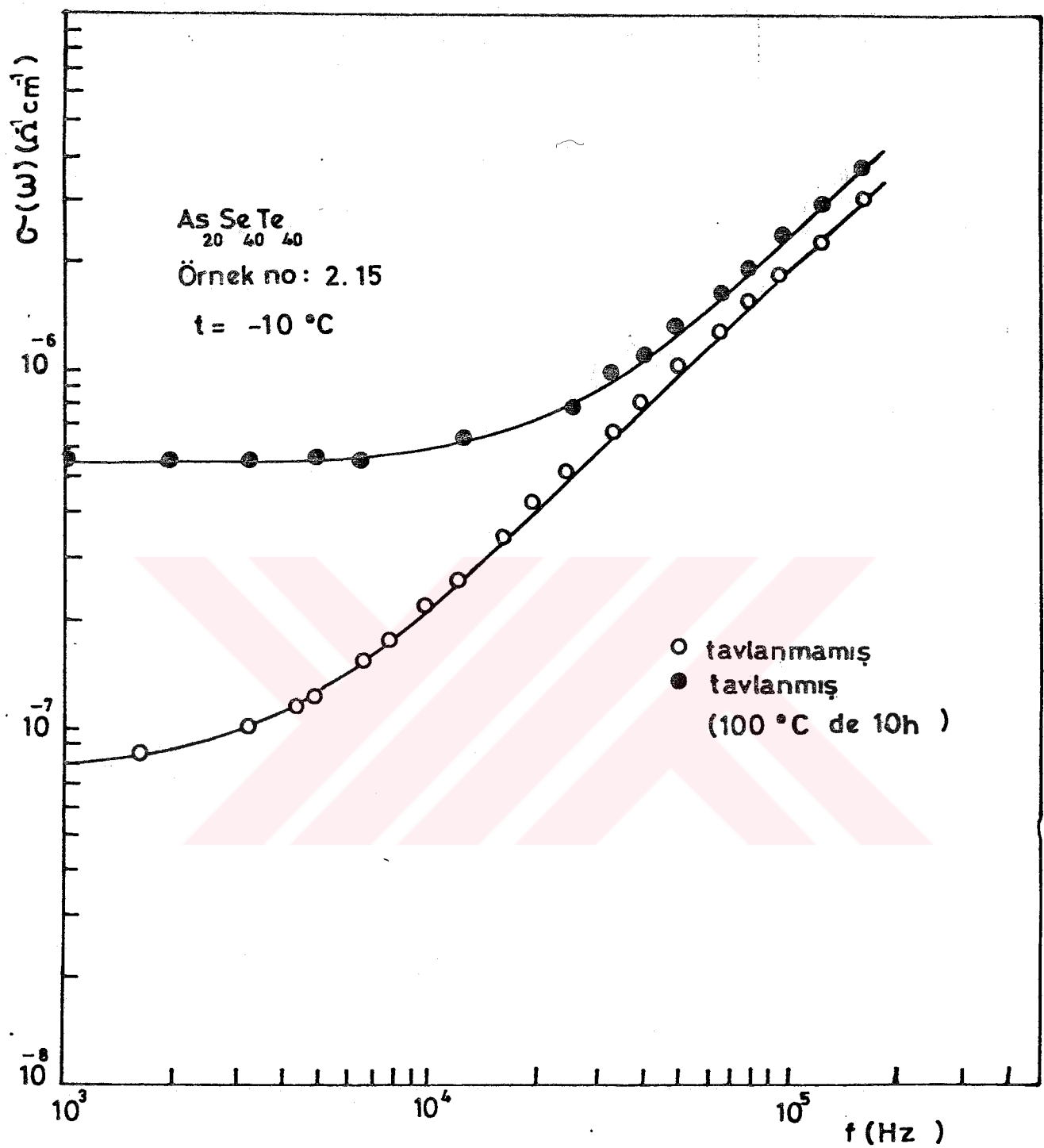
Çizelge 6.3.1 Tavlama işleminin d.c iletkenliğine etkisi.

Örnek no	Ölçü sic.(°C)	Tavlama		İletkenlikteki artış d.c	İletkenlikteki artış a.c
		süresi(h)	sic.(°C)		
2.9				1.6	
2.15				2.1	
2.24	20	10	100	1.0	
2.26				1.0	
2.14	20	2	125	1.5	
2.20				2.7	
3.2				1.0	
3.3	28	10	200	1.0	
3.4				1.0	
3.3	28	10	225	11	
3.4				12	

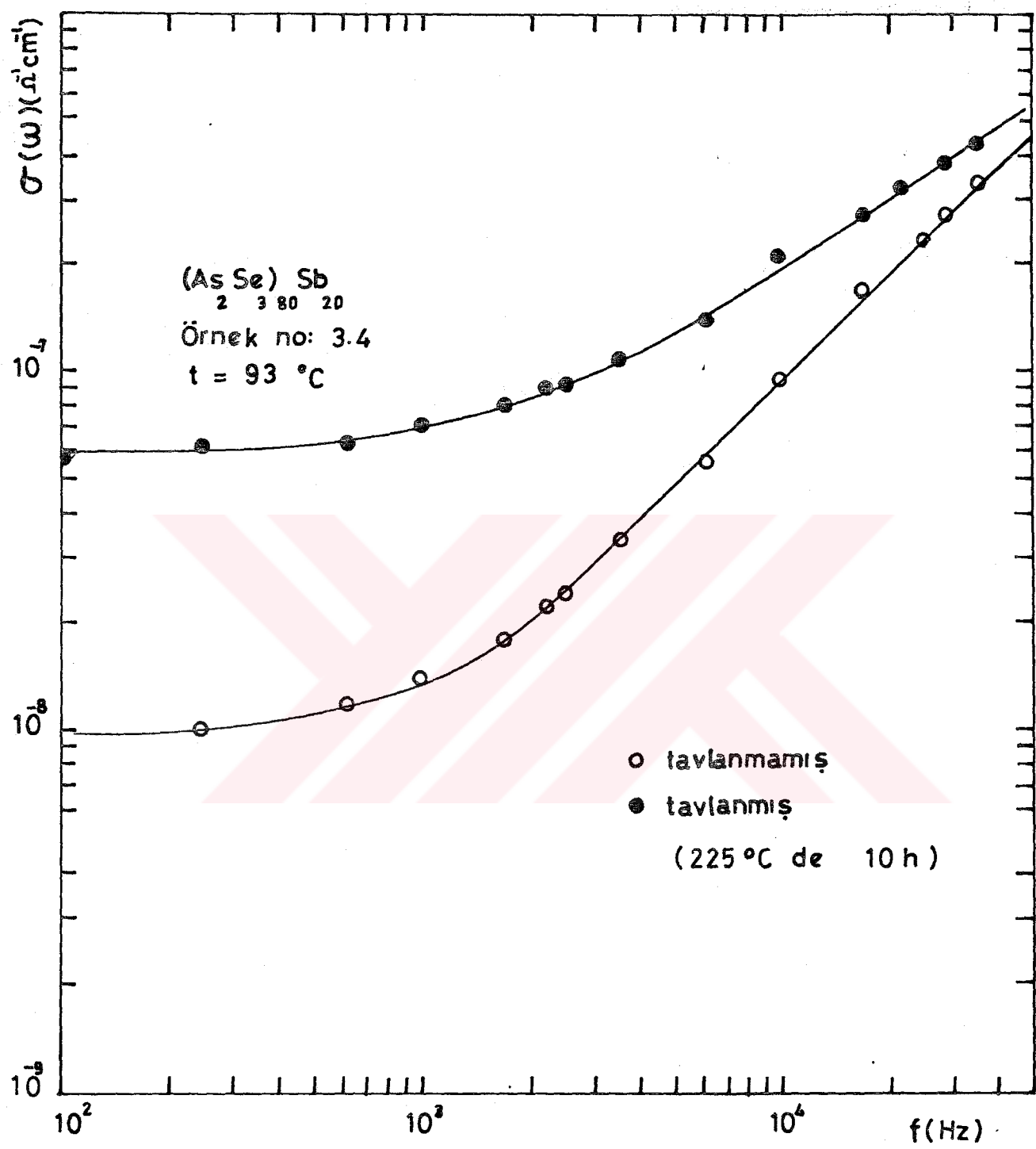
tedir. Her iki sekilden görülebileceği gibi tavlama işlemi, frekansa bağlı iletkenliğin daha yüksek frekanslara doğru kaymasına neden olmaktadır. Bu eğrilerden bulunan verilerin yazıldığı Çizelge 6.3.2'ye göre tavlama işlemi sonucunda, d.c iletkenliğinde bariz bir artışa karşılık a.c iletkenliğinde hemen hemen değişme olmamaktadır. Dolayısıyla frekansa bağlı iletkenliğin daha yüksek frekanslara kayması bu sonuctan ileri gelir.

Çizelge 6.3.2 Tavlama işleminin d.c ve a.c iletkenliğine etkisi.

Malzeme	Ölçü sic.(°C)	Tavlama		İletkenlikteki artış	
		süresi(h)	sic.(°C)	d.c	a.c
As <sub>20</sub> Se <sub>40</sub> Te <sub>40</sub>	10	10	100	8.5	1.1
(As <sub>2</sub> Se <sub>3</sub> ) <sub>80</sub> Sb <sub>20</sub>	93	10	225	8.8	1.2



Şek.6.3.4  $\text{As}_{20}\text{Se}_{40}\text{Te}_{40}$  camında tavlama işleminin a.c  
 iletkenliğine etkisi.



Şek.6.3.5  $(\text{As}_2\text{Se}_3)_{80}\text{Sb}_{20}$  camında tavlama işleminin  
 a.c iletkenliğine etkisi.

#### 6.4 Sonuçların Değerlendirilmesi

Cam geçiş sıcaklığının bir hayli altındaki bir sıcaklıkta yapılan tavlama işleminin normal olarak amorf yapıda bulunan kusur merkezlerinin sayısını azaltması beklenir. Böylece bu merkezlerin neden olduğuna inanılan ve alçak sıcaklıklarda gözlenen hoplama iletkenliği tavlama sonucunda azalacaktır. Gerçekten bu görüşü destekleyen çok sayıda çalışmaya rastlanmaktadır.<sup>46</sup> Bu araştırmada, daha çok oda sıcaklığı dolayında ölçü yapıldığı için, yukarıda belirtilen sonuçla karşılaşılmıştır. Bunun yerine, tavlama sıcaklığını cam geçiş sıcaklığına daha yakın seçmemiz ve tavlama süresini uzun tutmamız nedeniyle ters bir davranışla karşılaşmıştır. Yani tavlama işlemi alçak sıcaklığındaki iletkenliğin artışına neden olmuştur. Özellikle  $As_{20}Se_{40}Te_{40}$  camı için bulduğumuz ardışık tavlama eğrileri Fagen ve Fritzsch'e'nin<sup>47</sup> çok bileşenli amorf halkojenür, Greaves ve arkadaşlarının<sup>48</sup> a. As ince film örneklerindeki bulgularıyla iyi uyuşmaktadır.

Sonuçlarımızı yorumlayabilmek için şu modeli önermek teyiz:

Tavlannamış malzeme amorf yapıda olup, oda sıcaklığı dolayındaki d.c iletkenliği yaygın durumlara uyartılan taşıyıcılarla sağlanır (Bölüm 4). Birinci ısıl çevrim sonucunda elektrotlar arasında kısmi kristalleşmenin neden olduğu metalik akım yolları oluşmuştur. Böylece, ölçü alınan sıcaklık aralığı boyunca iletkenlik,

$$\sigma = \sigma_1 + \sigma_2$$

şeklinde iki bileşenin toplamı olarak düşünülebilir. Burada  $\sigma_1$ , 4. Bölümde tartıştığımız asal iletkenlik olup sıcaklığa üstel bağımlıdır.  $\sigma_2$ , ise metalik iletkenlik olup sıcaklık bağımlılığı yoktur. Şek. 6.2.1'den görüldüğü gibi alçak sıcaklıklarda  $\sigma_2$ , yüksek sıcaklıklarda  $\sigma_1$  bileşeni daha baskın olmaktadır. İkinci ve bunu izleyen her ardışık tavlama işlemi, yeni metalik akım yollarının oluşmasına neden olduğu için herhangibir sıcak-

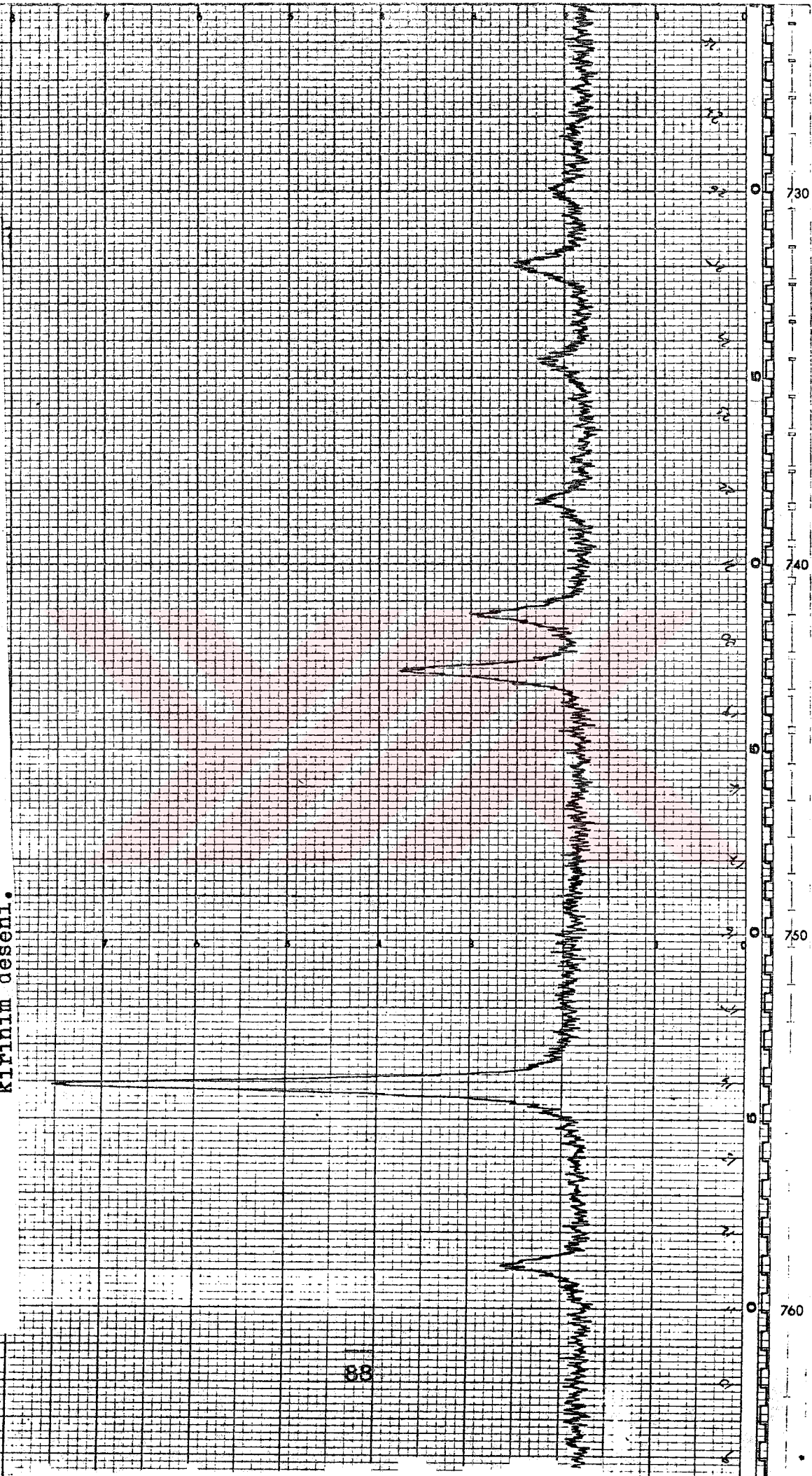
likta  $\sigma_1$  aynı kalmasına rağmen  $\sigma_2$  büyümekte bu yüzden tavlama süresinin artması, toplam iletkenliğin sıcaklığa bağımlı olduğu bölgenin azalmasına neden olmaktadır. Tavlama sonucunda  $\log \sigma - 1 / T$  eğrisinin eğimindeki azalma, mobilite aralığında ki değişmeden değil fakat ölçülen iletkenliğin yukarıda açıkladığımız iki bileşenli tabiatından ileri gelir.

Tavlama işleminin, amorf yapıda kısmi kristalleşmeye yol açıp açmadığı X - işini kırınım desenleriyle gösterilebilmektedir. Şek.6.4.1 ve 6.4.2, bu çalışmada kullanılan camların; tavlanmamış, tavlanmış ve kristellesmiş hallerinde elde edilen kırınım desenlerini göstermektedir. Bu şekillerden görüldüğü gibi tavlanmamış örneklerde ait desenler, amorf yapının bilinen kırınım desenleridir. Tavlanmış örneklerin desenlerinde, kısmi kristalleşmeye atfedilebilecek tepeler görülmektedir. Aşırı tavlanmış(kristalleşmiş) örneklerin desenlerinde ise bu tepeler daha belirgin hale gelerek kristal yapıya geçiş göstermektedir.

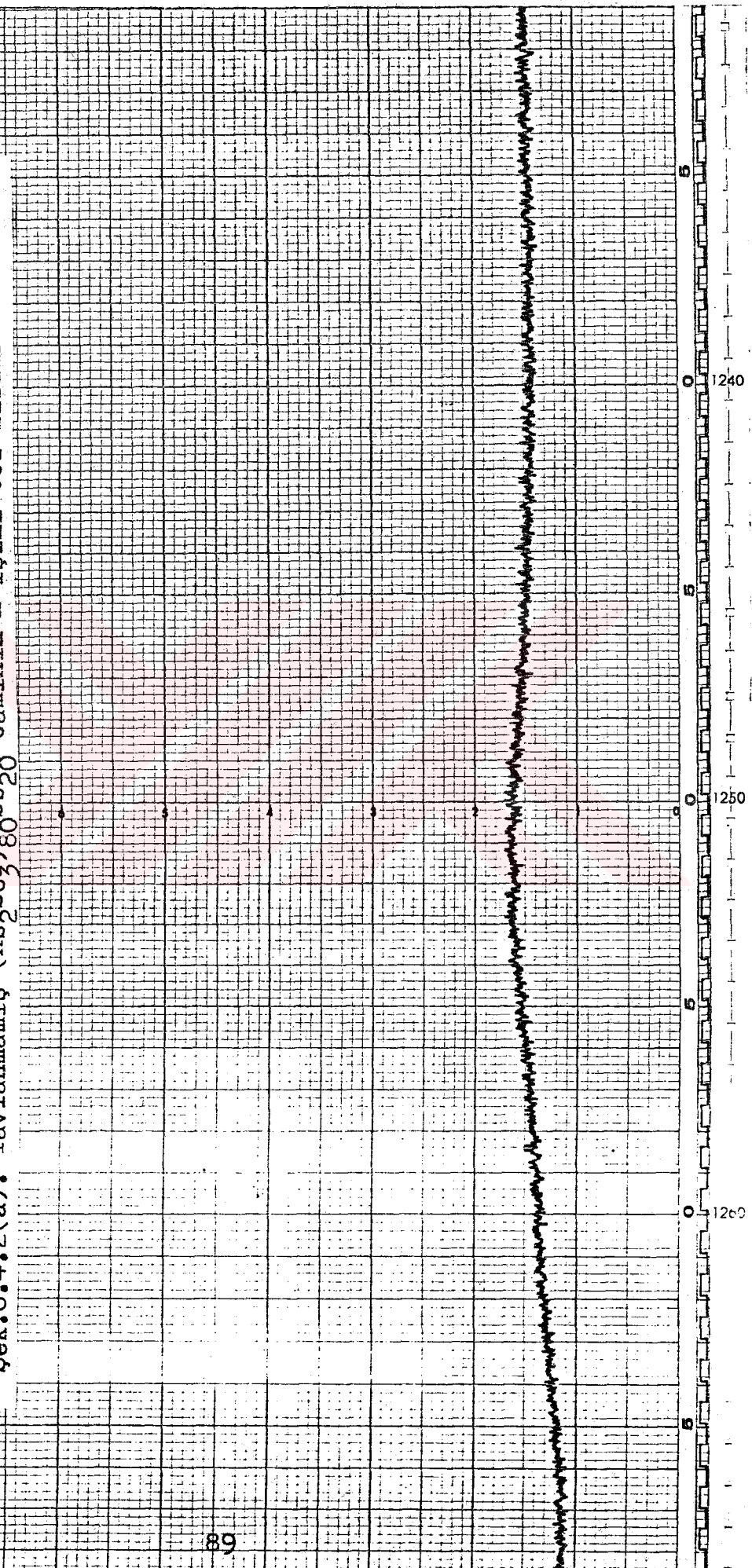
Sek. 6.4.1(a). Tavlanmamış As<sub>20</sub>Se<sub>40</sub>T<sub>0</sub>40 camının X-ışını toz kurutum deseni.

Sek.6.4.1(b).  $120^{\circ}\text{C}$  de 4 saat tavlanmış  $\text{As}_{20}\text{Se}_{40}\text{Te}_{40}$  camının X-ışını toz kırılım deseni.

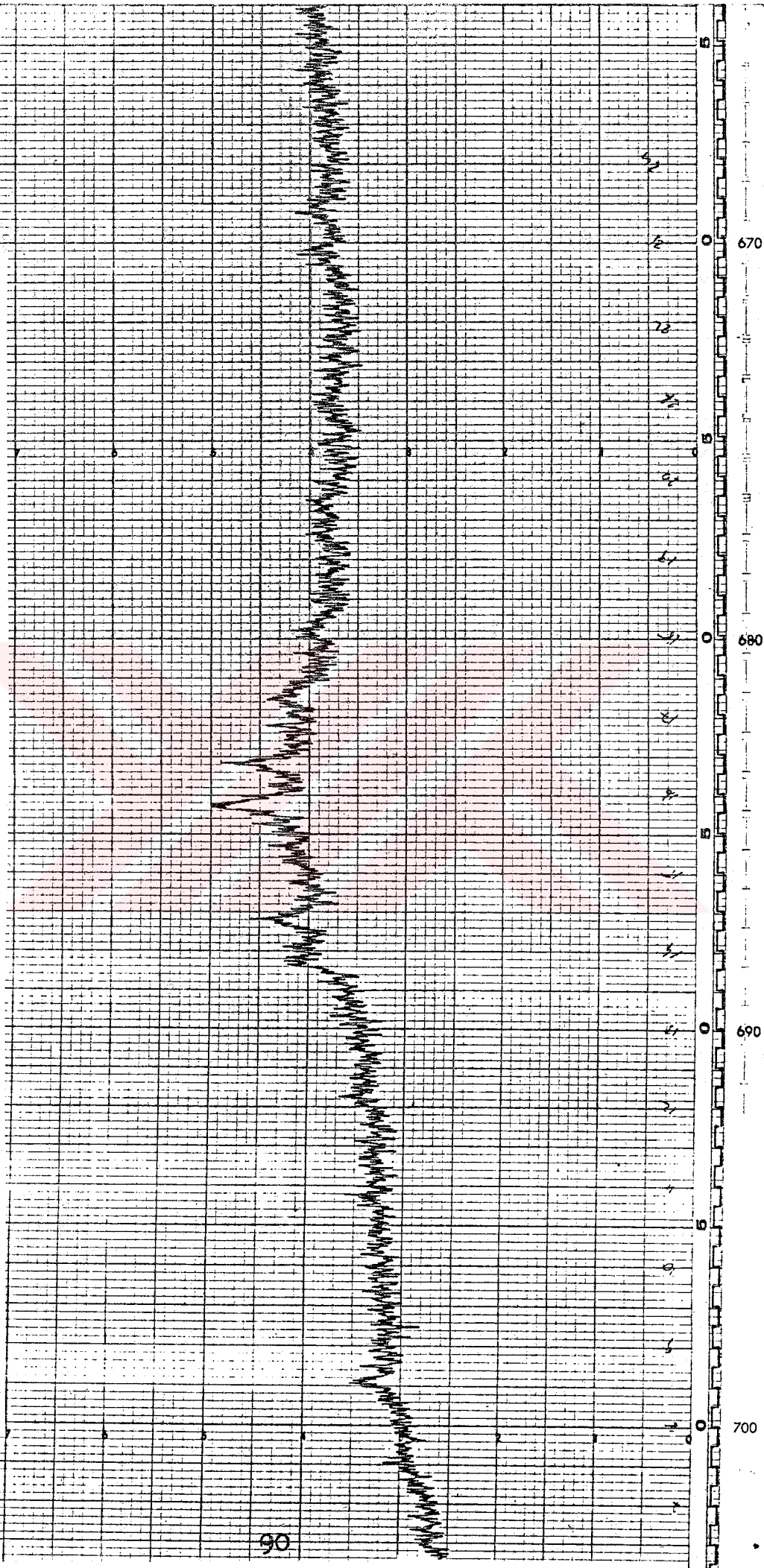
Şek.6.4.1(c). 160 °C'de 3 saat tavlannmış  $\text{As}_{20}\text{Se}_{40}$  camının X-ışını toz kırılım deseni.



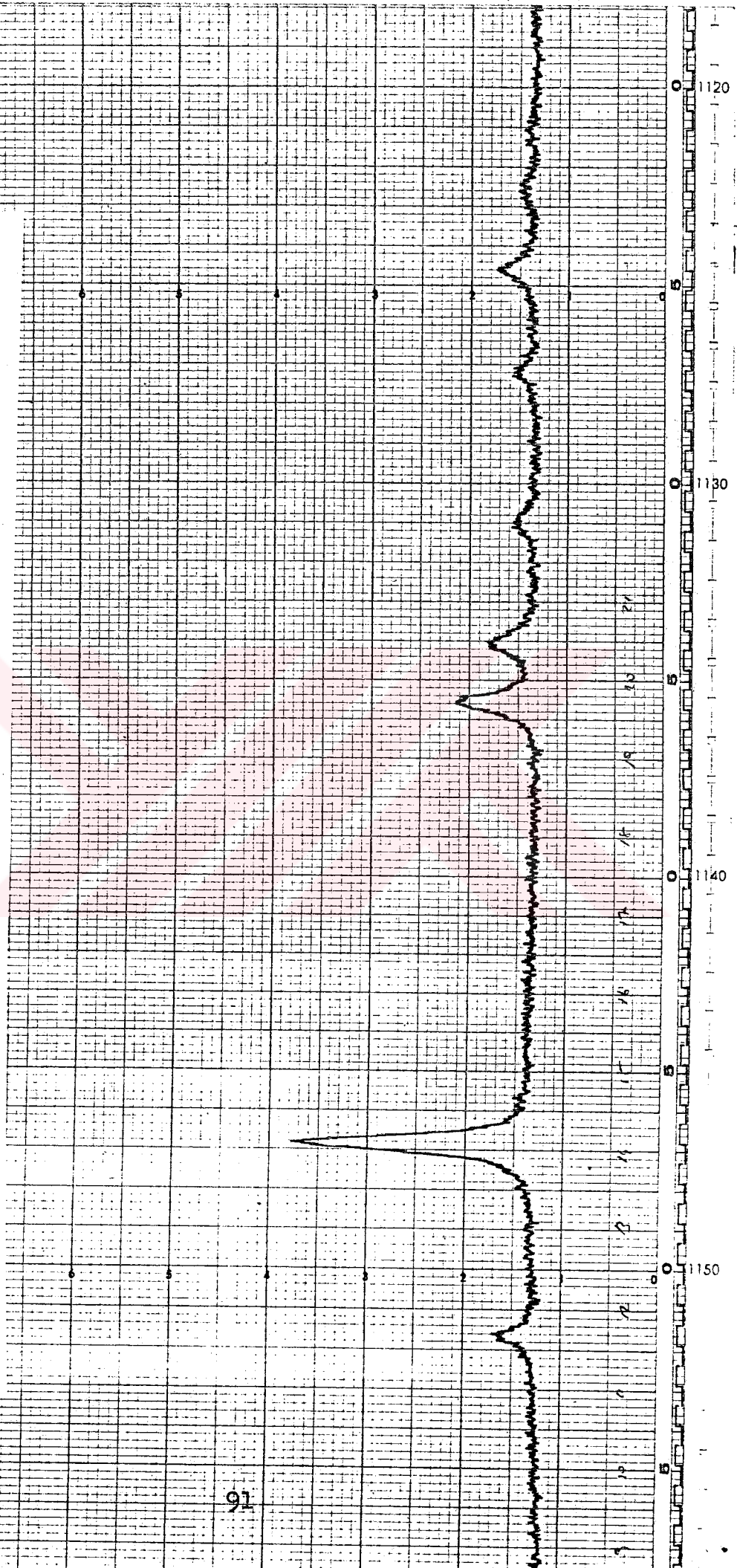
Sek. 6.4.2(a). Tavlanmamış  $(\text{As}_2\text{Se}_3)_{80}\text{Sb}_{20}$  camının X-rayını toz kırınım deseni.



**Sek. 6.4.2(b).** 225 °C'de 5 saat tavlanmış  $(\text{As}_2\text{Se}_3)_{80}\text{Sb}_{20}$  camının X-ışını toz kırınım deseni.



**Sek.6.4.2(c).** 240 °C'de 10 saat tavlanmış  $(\text{As}_2\text{Se}_3)_{80}\text{Sb}_{20}$  camının X-ışını toz kırınlım deseni.



## 7. SONUÇ

Bu çalışmada, ergitilmiş halden soğutularak hazırlanan hacimli  $As_2Te_3$ ,  $As_{20}Se_{40}Te_{40}$  ve  $(As_2Se_3)_{80}Sb_{20}$  camlarının iletkenlik davranışları incelenmiştir. Özellikleri bir çok araştırmacı tarafından incelenen  $As_2Te_3$  camı ölçü sistemimizi test amacıyla bir referans malzemesi olarak kullanılmış ve yalnız sıcaklığın fonksiyonu olarak d.c iletkenliği ölçülmüştür. İlk kez bu çalışmada kullanılan diğer iki camın; alan ve sıcaklığın fonksiyonu olarak d.c iletkenliği, frekansın fonksiyonu olarak a.c iletkenliği ölçülmüş ve bazı örneklerde ardışık tavlama işlemi uygulanarak iletkenlikteki değişme araştırılmıştır.

Denel olanaklar nedeniyle örneklerde en çok  $10^4$  V/cm dolayında alan uygulanabilmistiir. Bu alanın altında iletkenliğin alana bağımlı olmadığı,  $10^4$  V/cm değerinin üzerinde alan uygulayabildigimiz bir kaç örnekde ise iletkenliğin alala arttığı gözlenmiştir.

D.C iletkenliği her üç camda sıcaklığa üstel bir bağımlılık göstermektedir.  $\ln \sigma - 1/T$  grafiklerinin eğimlerinden, camların iletkenlik aktivasyon enerjileri(E) ve C ön üstel katsayıları bulunmuştur(Çizelge 4.3.2). C değerleri  $10^2-10^3$   $ohm^{-1}cm^{-1}$  basamağında olup bu değerler iletkenliğin, yaygın durumlara uyartılan taşıyıcılarla sağlandığını gösterir.

Özdirencinin yüksek oluşu nedeniyle  $(As_2Se_3)_{80}Sb_{20}$  camının oda sıcaklığı altındaki iletkenliği ölçülememiştir.  $As_{20}Se_{40}Te_{40}$  camında ise  $-75^{\circ}C$ 'ye kadar iletkenlik ölçüsü yapılabilmistiir. Bu camda  $-40^{\circ}C$  dolayında  $\ln \sigma - 1/T$  grafiğinin eğiminde bir azalma görülmüştür. Eğimdeki bu değişme,  $-40^{\circ}C$ 'nin altında, amorf yapıda uzun erimli periyodik düzenin bulunması nedeniyle oluşturduğu kabül edilemeyenlik kuyruk durumlarındaki hoplama iletkenliğinin, yaygın band iletkenliğine baskın olduğunu gösterir.

Ardışık tavlama işleminin, özellikle  $As_{20}Se_{40}Te_{40}$

camında ilginç etkisi görülmüştür. İlk ısıl çevrimden başlayarak her çevrim sonucunda alçak sıcaklık bölgesindeki iletkenlik artmış ve iletkenliğin sıcaklığına bağlı olduğu bölge azalarak yüksek sıcaklığına doğru kaymıştır. İletkenlikteki bu artış, tavlama sırasında malzemede kısmi kristalleşmenin olduğunu gösterir. Tavlanmış örneklerin X-ışını toz kırınım desenleri, bu görüşümüzü doğrulamaktadır.

$\text{As}_{20}\text{Se}_{40}\text{Te}_{40}$  camının oda sıcaklığı dolayında (-10 +20 °C),  $(\text{As}_2\text{Se}_3)_{80}\text{Sb}_{20}$  camının oda sıcaklığı üzerinde (80-120 °C)  $10^5 \text{ Hz}'e$  kadar frekansın fonksiyonu olarak iletkenliği ölçülmüştür. Bulunan sonuçlar d.c iletkenliği ile a.c iletkenliğinin aynı mekanizmaya dayanmadığını göstermektedir. Tavlama işlemi sonucunda d.c iletkenliğinde bariz bir artışa karşılık a.c iletkenliğinin hemen hemen aynı kalması bu görüşü desteklemektedir. Bu sonuç Pike<sup>27</sup> tarafından önerilen ve Elliott'un<sup>28</sup> halkojenürlere uyguladığı CBH iletkenlik kuramına uymaktadır. Sonuçlarımızın bu modelle uygulanmasıyla, her iki camın Fermi düzeyicivarındaki durum sayısının  $\sim 10^{18} \text{ cm}^{-3}$  başımağında olduğu bulunmuştur.

A.c ölçü düzeneğimizin yetersiz oluşu nedeniyle sıcaklığın fonksiyonu olarak a.c iletkenliği ölçülememiştir. Geniş bir sıcaklık aralığında gerek bu ölçünün gerekse sürüklendirme mobilitesi ile termogünün ölçülmesi, bu camların band yapısı hakkında, bu çalışmada kullanılanlara ek bilgiler verecektir.

## KAYNAKLAR

1. Mott,N.F., Davis,E.A., Electronic Processes in Non-Crystalline Materials, Clarendon Press, Oxford, 1979
2. Owen,A.E., ( + ), p 161
3. Fritzsche,H., ( + ), p 557
4. Grigorovici,R., ( + ), p 191
5. Cargill,G.S., Physics Department E 13, Technical University of Munich Federal Repuplic of Germany,"Liquid and Amorphous Metals"Edited by E. Lüscher and H.Coufal, 161, 1979
6. Adler,D., Scientific American, 236, 36, 1977
7. Fritzsche, H., ( ++ ), p 3
8. Mott,N.F.,Davis,A.E., Electronic Processes in Non-Crystalline Materials, Clarendon Press, Oxford, 1971
9. Fritzsche,H., ( + ), p 55
10. Kolomiets,B.T., ( ++ ), p 189
11. Davis,E.A., Shaw,R.F., J. Non Crystalline Solids, 2, 406, 1970
12. Owen,A.E., Robertson,J.M., J. Non Crystalline Solids 2, 40, 1970
13. Kittel,C., Introduction to Solid State Physics, J.Wiley, 1976
14. Mott,N.F., ( + ), p 1
15. Davis,E.A., Mott,N.F., Phil. Mag., 22, 903, 1970
16. Cohen,M.H.,Fritzsche,H., Ovshinsky,S.R., Phys. Rev. Lett., 22, 1065, 1969
17. Owen,A.E., Marshall,J.M., ( +++ ), p 529
18. Maind,C., Owen,A.E., ( ++ ), p 783
19. Tolunay,H., Doktora Tezi, Hacettepe Üniversitesi Fizik Bölümü, 1979

20. Bluzer,N., Bahl,S.K., ( ++ ), p 1209
21. Nagels,P., CallaertsR., Denayer,M., ( ++ ), p 867
22. Grant,A.J., Moustakas,T.D., Penney,T., Weiser,K., ( ++ ), p 325
23. Mytilineou,E., Davis,E.A., ( +++) , p 632
24. Pollak, M., Geballe,T.H., Phys. Rev., 122, 1742, 1961
25. Austin,I.G., Mott,N.F., Advan. Phys., 18, 41, 1969
26. Pollak,M., Phil. Mag., 23, 519, 1971
27. Pike,G.E., Phys. Rev. B, 6, 1572, 1972
28. Jonscher,A.K., ( + ), p 329
29. Elliott,S.R., Phil. Mag., 36, 1291, 1977
30. Öktü,Ö., Çağdaş Fizik, 12, 27, 1981
31. Butcher,P.N., Hayden,K.J., ( +++) , p 234
32. Elliott,S.R., Phil.Mag., 37, 553, 1978
33. Balkan,A.N., Doktora Tezi, Glasgow Üniversitesi, 1979
34. Lakatos,A.I., Abkowitz, M., Phys.Rev.B, 3, 1791, 1971
35. Pollak,M., Pike,G.E., Phys.Rev.Lett., 28, 1449, 1972
36. Kastner,M., Adler,D., Fritzsch,H., Phys.Rev.Lett., 37, 1501, 1976
37. Roilos,M., Mytilineou,E., ( ++ ), p 319
38. Atalay,T., Doçentlik Tezi, Z.D.M.M Akademisi, 1981
39. Wakim,F.G., Sawan,Y., El-Gabaly,M., El-Rayes,M., Prasad, K., ( +++) , p 556
40. Nagels,P., Colson,R., Van Gool,L., ( +++) , p 546
41. Vescan,L., Popescu,C., Telnic,M., Croitoru,N., ( ++ ), p 761
42. Marshall,J.M., Owen,A.E., Phil.Mag., 24, 1281, 1971
43. Nunoshita,M., Arai,H., Hamakawa,Y., Fujimoto,T., ( ++ ), p 753

44. Street, R.A., Yoffe, A.D., J. Non Crystalline Solids, 8-10, 745, 1972
  45. Rockstad, H.K., J. Non Crystalline Solids, 2, 192, 1970
  46. Roilos, M., Meimaris, D., Zigiris, K., J. Non Crystalline Solids, 7, 271, 1971
  47. Fagen, E.A., Fritzsch, H., J. Non Crystalline Solids, 2, 170, 1970
  48. Greaves, G.N., Knights, J.C., Davis, E.A., ( ++ ), p 369
  49. Atalay, T., Çağdaş Fizik, 13, 20, 1982
- 

( + ) : Proceeding of the 13 th. Scottish Universities Summer School in Physics, "Electronic and Structural Properties of Amorphous Semiconductors", Edited by P.G Le Comber and J.Mort, Academic Press, 1973

( ++ ) : Proceeding of the 5 th. Intern. Conf. on Amorphous and Liquid Semiconductors, 1974

( +++) : Proceeding of the 7 th. Intern. Conf. on Amorphous and Liquid Semiconductors, Edinburg 1977

## ÖZGEÇMİŞ

Nisan.1947 yılında Devrek'te doğdu. İlkokulu doğum yeri olan köyünde bitirdi.Orta öğrenimini sırasıyla; Kastamonu-Göl İlköğretim Okulu , İstanbul İlköğretim Okulu ve İstanbul Yüksek Öğretmen Okulu hazırlık sınıfında tamamladı.

1966 yılında, Yüksek Öğretmen Okulu öğrencisi olarak, İstanbul Üniversitesi Fen Fakültesi Fizik - Kimya Bölümü'ne girdi. Lisans eğitimini ve Yüksek Öğretmen Okulu'nu 1970 haziran döneminde bitirdi.

Milli Eğitim Bakanlığı tarafından,1970 yılında Kastamonu-Göl İlköğretim Okulu, 1972 yılında Bursa Eğitim Enstitüsü fizik öğretmenliğine atandı. Bu okullardaki öğretmenlik görevinin yanı sıra;lise ve dengi okul öğretmenlerini yetiştirmek üzere açılan Modern Fizik kurslarında öğretim görevlisi olarak çalıştı.1974 döneminde kısa süreli yedek subay eğitimini tamamlayarak aynı kurumdaki öğretmenlik görevine devam etti.

Evi ve iki çocuk babası olan İsa Eşme, Temmuz.1977 yılında, halen çalıştığı kurum olan, Z.D. M.M Akademisine fizik asistanı olarak girdi.